# Ubbulbbu

# МЕХАНИКА

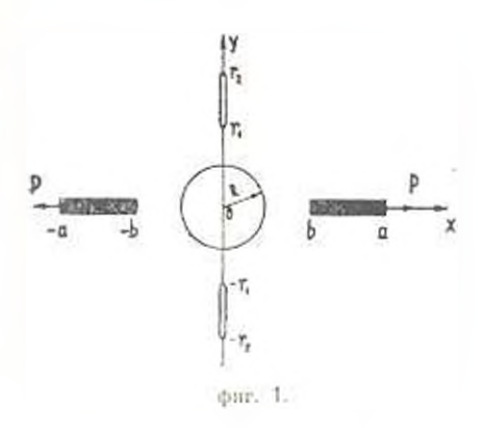
# MECHANICS



#### С. С. ШАГИНЯН

# ПЕРЕДАЧА НАГРУЗКИ ОТ ДВУХ СИММЕТРИЧНО РАСПОЛО-ЖЕННЫХ СТРИНГЕРОВ К БЕСКОНЕЧНОЙ ПЛАСТИНЕ, РАССЛАБЛЕННОЙ КРУГОВЫМ ОТВЕРСТИЕМ И ДВУМЯ СИММЕТРИЧНЫМИ РАДИАЛЬНЫМИ РАЗРЕЗАМИ

1. Пусть бесконечная пластина с круговым отверстием радиуса R, рассаябленная двумя радиальными симметричными ризрезами, не выходящими на свободную границу кругового отверстия, подкреплена симметрично расположенными и достаточно топкими упругими стрингерами из одинакового материала. Пусть далее, к концам стрингеров приложены равные по величине и противоположные по направлению силы P (фиг. 1). При нулевом напряжением состоящия на бесконечности требуется найти закон распределения контактных напряжений вдоль линии крепления стрингеров с пластиной и определить коэффициенты интенсивностей разрывающего папряжения в концевых точках симметрично расположенных разрезов.



Веледствие симметрии задачи рассмотрим только правую часть данной области. Очевидно, что функцию влияния этой задачи можно представить в следующем виде:

$$V(r) = V_{r}(r, 0) + V_{r}(r, 0), \quad r = R$$

где смещения  $V_r^+(r,0)$  обусловлены действием единичных сосредоточенных нагрузок q, приложенных в симметричных точках властниы с круговым отверстнем без разрезов, а упругие смещения  $V_r^{p}(r,0)$  обусловлены наличием симметрично расположенных разрезов в пластние, расслабленной круговым отверстием.

Эти перемещения даются формулами [1, 2]

$$V_{r}^{q}(r, 0) = \frac{xq}{2\pi^{q}(1+x)} \left[ \ln \frac{r+t}{|r-t|} + \frac{x^{2}+1}{2x} \ln \frac{rt+R^{2}}{rt-R^{2}} - \frac{R^{4}t}{r(r-t-R^{4})} + \frac{R^{4}r}{t(r^{2}t^{2}-R^{4})} - \frac{2R^{2}rt}{r^{2}t^{2}-R^{4}} - \frac{R^{2}(R^{2}-t^{2})(R^{2}-r^{2})(r^{2}t^{2}-R^{4})}{xrt(r^{2}t^{2}-R^{4})^{2}} + \frac{R^{2}}{xrt} \right],$$

$$V_{r}^{p}(r, 0) = \frac{1}{2\pi^{q}} \int_{0}^{t_{2}} G_{R}(r, s) \lambda_{t}(s) ds, \quad R \leq r < \infty$$

где

$$G_{R}(r, s) = -\frac{4}{\pi} \frac{s^{3}r}{r^{2}s^{2} + R^{4}} + \frac{2(x-1)}{\pi} \frac{r^{3}s}{r^{2}s^{2} + R^{4}} + \frac{2(x-1)R^{2}}{\pi} \frac{rs}{r^{2}s^{2} + R^{4}} + \frac{2(x-1)R^{2}}{\pi} \frac{rs}{r^{2}s^{2} + R^{4}} + \frac{4}{\pi} \frac{rs}{r^{2} + s^{2}} - \frac{1+x}{\pi} \operatorname{arctg}\left(\frac{2R^{2}rs}{r^{2}s^{2} - R^{4}}\right) - \frac{1+x}{\pi} \operatorname{arctg}\left(\frac{r^{2} - s^{2}}{2rs}\right) - \frac{4R^{2}}{\pi rs} + \frac{4s}{\pi r} - \frac{2(x-1)}{\pi} \frac{r}{s} - \frac{1+x}{s}, \quad R \leqslant r < \infty, \quad r_{1} < s < r_{2}$$

а функция ¼(s) дается формулой

$$Z_t(s) = \left[1 - \left(\frac{2s - r_2 - r_1}{r_2 - r_1}\right)^2\right]^{-1/2} \sum_{m=1}^{\infty} x_m T_m \left(\frac{2s - r_2 - r_1}{r_2 - r_1}\right), \quad r_1 < s < r_2$$

Коэффициенты  $\chi_n$  удовлетворяют бесконечным системам линейных уравнений

$$x_n + \sum_{m=1}^{\infty} a_{mn} x_m = e_n(t), \quad n = 1, 2,...$$

Вид ядра и спободного члена последней системы приведены в работе [2]. В этих выражениях и и и — упругне постоянные материала пластины. Решение указанной бескопечной системы представим в виде

$$x_n = \sum_{k=1}^{\infty} \tilde{z}_n^{(k)} e_k(t), \quad t > R$$

где последовательность чисел 👫 👢 🚛 является решением бесконечной системы

$$\xi_n^{(k)} + \sum_{m=1}^{\infty} a_{mn} \xi_m^{(k)} = \xi_{n1}, n, k = 1, 2, ...$$

rge

$$\hat{c}_{nk} = \frac{[1, n = k]}{[0, n \neq k]}$$

Если теперь вместо внешиях единичных сосредоточенных сил q взять распределенную касательную нагрузку интенсивности q(t), то в этом случас роль функции  $\chi_i(s)$  будет играть функция  $\chi_i(s)$ , которая будет даваться формулой

$$X^{\pm}(s) = d_{\perp} \sum_{k=1}^{\infty} \hat{\alpha}_{k}(s) \int_{-r_{\perp}}^{s} (t) q(t) dt$$

Входящая в это выражение функция  $h_k(s)$  имеет вид

$$h_k(s) = \sum_{m=1}^{\infty} \xi_m^{(k)} \left[ 1 - \left( \frac{2s - r_2 - r_1}{r_2 - r_1} \right)^2 \right]^{-1/2} T_m \left( \frac{2s - r_2 - r_1}{r_2 - r_1} \right), \quad k = 1, 2, \dots$$

а постоянкая d. — ширина упругих стрингеров.

На основе этих формул горизонтальные смещения точек положительной полуоси  $(r\geqslant R)$  абсцисс будут

$$V(r) = \frac{d}{2\pi n} \prod_{i=1}^{r} \left[ \ln \frac{r-t}{|r-t|} - \frac{x^2+1}{2x} \ln \frac{rt+R^2}{rt-R^2} - \frac{R^4t}{r(r^2t^2-R^4)} - \frac{R^4r}{t(r^2t^2-R^4)} - \frac{2R^2rt}{r^2t^2-R^4} - \frac{R^2(t^2-R^2)(r^2t^2-R^4)}{xrt(r^2t^2-R^4)^2} - \frac{R^2}{xrt} \left| q(t) dt - \frac{1}{2\pi} \int_{-R}^{r} G_R(r,s) Z^n(s) ds, \quad R = r = \infty$$

Подставия в эту формулу значение функции х (5), получим

$$V(r) = rac{\pi d_s}{2\pi \mu (1+z)} \int_{b}^{a} \left[ \ln rac{r+t}{|r-t|} + rac{\pi^2 + 1}{2\pi} \ln rac{rt + R^2}{rt - R^2} + 
ight.$$
 $+ R^2 \left( rac{r^2 - R^2}{r^2} + rac{t^2 - R^2}{t^2} 
ight) rac{rt}{r^2 t^2 - R^4} +$ 

$$= R^{2} \frac{(t^{2} - R^{2})(r^{8} - R^{4})(r^{2} - R^{4})}{rt(r^{2}t^{3} - R^{4})^{2}} = \frac{R^{3}}{rt} \left| q(t) dt + \frac{d^{4}}{2n} \sum_{k=1}^{n} \ln(r) \int_{t}^{a} e_{k}(t) q(t) dt \right|$$

тле обояначено

$$h_k(r) = \int G_R(r, s) h_k(s) ds, \quad k = 1, 2,...$$

Так как функция влияния этой задачи уже найдена, запишем, не остапавливаясь на подробностях, основное определяющее уравнение поставленной контактной задачи. Оно имеет вид

$$\int_{0}^{a} \left[ \frac{1}{t-r} + K_R(r, t) + \frac{-(r+1)}{s} \sum_{k=1}^{\infty} e_k(t) \frac{h_k(r)}{dr} \right] b'(t) dt = i\theta(r) \quad (1.1)$$

К этому уравнению должны быть добавлены граничные условия

$$\theta(b) = 0, \qquad \theta(a) = Pd. \tag{1.2}$$

ныражающие условие равновесия стрингеров.

Отметим, что первый интеграл в девой части (1.1) следует понимать в смысле главного значения по Коппи.

Контактное напряжение дается формулой

$$q(r) = b'(r), b < r < a$$

Постоянная величина г. является комбинацией упругих в геометрических характеристик пластины в стрингеров и имеет вид

$$=\frac{2\pi\mu\left(1+\kappa\right)}{\nu d_{s}h_{s}\mathcal{E}_{s}}$$

где параметры  $h_s$  и  $E_s$  — соответственно высота и модуль Юнга стрингеров.

Функция  $K_R(r, t)$ , входящая в состав ядра сингулярного интегродиференциального уравиения (11), выражается формулой

$$K_{R}(r, t) := \frac{1}{r+t} R^{2} \frac{x^{2}-1}{x} \frac{t}{r^{2}t^{2}-R^{4}} \frac{2R^{4}t}{r^{2}(r^{2}t^{2}-R^{4})}$$

$$-R^{2}t \left(\frac{r^{2}-R^{2}}{r^{2}} + \frac{t^{2}-R^{2}}{t^{2}}\right) \frac{r^{2}t^{2}+R^{4}}{(r^{2}t^{2}-R^{4})^{2}} + \frac{2R^{2}(t^{2}-R^{2})(r^{2}t^{2}+R^{4})}{2t(r^{2}t^{2}-R^{4})^{2}} + \frac{2R^{2}(t^{2}-R^{2})(R^{2}-r^{2})}{2t(r^{2}t^{2}-R^{4})^{2}}$$

$$-\frac{R^{2} (t^{2}-R^{2}) (r^{2}-R^{3}) (r^{2}+R^{4})}{v_{r}^{2} t (r^{2} t^{2}-R^{4})^{2}}$$

$$-\frac{4R^{2} t (t^{2}-R^{2}) (r^{2}-R^{2}) (r^{2} t^{2}+R^{4})}{v_{r} (r^{2} t^{2}-R^{4})^{3}} - \frac{R^{2}}{v_{r}^{2} t}, \quad \dot{o} \leqslant r, \ t \leqslant a$$

2. Решение сингулярного интегро-дифференциального уравнения (1.1) представим в виде разложения по многочленам Чебышена перного рода

$$\theta'(r) = \left[1 - \left(\frac{2r - a - b}{a - b}\right)^2\right]^{-1/2} \sum_{m=0}^{\infty} y_m T_m \left(\frac{2r - a - b}{a - b}\right), \quad b < r < a$$

где  $y_m/^*$  — неизвестные коэффициенты, подлежащие определению.

Известным способом [1—6], не останавливаясь здесь на подробностях, али определения коэффициентов разложения  $y_m \mid_{m=1}^\infty$  получим бесконечную систему личейных алгебранческих урапнений

$$y_n + \sum_{m=1}^{\infty} (A_{mn} + B_{mn} + C_{mn}) g_n = (a_n + b_n + A_{0n} + C_{0n}) \dots n = 1, 2, \dots$$

где яведсны обозначения

$$\begin{split} A_{mn} &= \frac{4}{\pi^2 (a-b)} \int\limits_b^t U_{n-1} \left( \frac{2r-a-b}{a-b} \right) \sqrt{1 - \left( \frac{2r-a-b}{a-b} \right)^2} \, dr \, \times \\ &\times \int\limits_b^a K_R \left( r, \, t \right) \left[ 1 - \left( \frac{2t-a-b}{a-b} \right)^2 \right]^{-1/2} \, T_m \left( \frac{2t-a-b}{a-b} \right) \, dt \\ &\qquad \qquad m = 0, \, 1, \, 2, \dots; \, n = 1, \, 2, \dots \\ B_{mn} &= \frac{2h}{\pi^2 m_b} \int\limits_b^a U_{n-1} \left( \frac{2r-a-b}{a-b} \right) \, U_{m-1} \left( \frac{2r-a-b}{a-b} \right) \left[ 1 - \left( \frac{2r-a-b}{a-b} \right)^2 \right] \, dr, \quad m, \, n = 1, \, 2, \dots \\ C_{mn} &= \frac{4 \left( z+1 \right)}{\pi^2 (a-b)} \sum\limits_{k=1}^\infty \int\limits_b^a \frac{dh_k^{\dagger} \left( r \right)}{dr} \, U_{n-1} \left( \frac{2r-a-b}{a-b} \right) \times \\ &\times \sqrt{1 - \left( \frac{2r-a-b}{a-b} \right)^2} \, dr \int\limits_b^a e_k \left( t \right) \left[ 1 - \left( \frac{2t-a-b}{a-b} \right)^2 \right]^{-1/2} \, \times \\ &\times T_m \left( \frac{2t-a-b}{a-b} \right) \, dt, \quad m = 0, \, 1, \, 2, \dots; \, n = 1, \, 2, \dots \end{split}$$

$$a_{n} = \frac{2\lambda}{\pi} \int_{b}^{a} U_{n-1} \left( \frac{2r - a - b}{a - b} \right) \sqrt{1 - \left( \frac{2r - a - b}{a - b} \right)^{2}} dr, \quad n = 1, 2, \dots$$

$$b_{n} = \frac{2\lambda}{\pi^{2}} \int_{b}^{a} \operatorname{arc} \cos \left( \frac{2r - a - b}{a - b} \right) U_{n-1} \left( \frac{2r - a - b}{a - b} \right) \times \sqrt{1 - \left( \frac{2r - a - b}{a - b} \right)^{2}} dr, \quad n = 1, 2, \dots$$

Здесь  $U_{n-1}(x) = \sin(n \arccos x) \sin \arccos x$  (n = 1, 2, ...) — много члены Чебышева второго рода.

Коэффициент у определяется из граничных условий (1.2) и имеет значение

$$\eta_0 = 2P/\epsilon d_*(a-b)$$

Без особого затруднения можно показать, что для любого эначения нараметра ѝ полученная бесконечная система квазивнолне регулярна, а для некоторого диапазона изменения значений этого нараметра она внолне ретулярна. Кроме того, можно показать, что свободный член этой системы убывает со скоростью не медленее, чем л<sup>-1</sup>.

Определим коэффициенты интенсивностей разрывающего напряженит от (г. л. 2) в концевых точках симметрично расположенных разрезов. Аналогично тому, как это сделано в работе [2], для коэффициентов интенсивностей разрывающего напряжения в этом случае будем иметь

$$N(r_{k}) = \lim_{t \to r_{1} \to 0} z_{0}(r_{1} - \pi/2) + \overline{r_{1} - r}$$

$$= - \sqrt{r_{n} - r_{1}} d_{n} \sum_{m=1}^{\infty} (-1)^{m} \sum_{k=1}^{\infty} z_{1}^{(k)} - (t) q(t) dt$$

$$N(r_{n}) = \lim_{r \to r_{1} \to 0} z_{n}(r_{1} - t/2) + \overline{r} =$$

$$= - \sqrt{r_{2} - r_{1}} d_{n} \sum_{m=1}^{\infty} \sum_{k=1}^{\infty} - \int_{V} e_{k}(t) q(t) dt$$

Автор благодарен С. М. Мхитаряну за постановку задачи и внимание к работе.

Институт механика АН Армянской ССР

Поступпла 28 VI 1976

#### Ս. Ս. ՇԱՀԻՆՑԱՆ

ՈՒԺԻ ՓՈԽԱՆՑՈՒՄԸ ԵՐԿՈՒ ՍԻՄԵՏՐԻԿ ԳԱՍԱՎՈՐՎԱԾ ՎԵՐԱԳԵՐԵԵՐԻՑ ԿԼՈՐ ԱՆՑՔՈՎ ԵՎ ԵՐԿՈՒ ՍԻՄԵՏՐԻԿ ՇԱՌԱՎՂԱՅԻՆ ՃԵՂՔԵՐՈՎ ԹՈՒԼԱՑՎԱԾ ԱՆՎԵՐՋ ՍԱԼԻՆ

### Kohnynist

Աշխատանքում դիտարկված է հարի կոնտակատյին խնդիր կլոր անցրով սալի համար, հրդ մերջինս Ռուլացված լիննյավ հրկա շառավդային ձեզրնրով, ուժեղացված է սիմեարիկ դասավորված առաձղական վերադիրներով։ Ին-իադրվում է, որ արտաքին ուժերը կենտրոնացված բեռի տեսքով կիրառված են վերադիրների ծայրերում առանցքային տարբեր ուղղություններով։

Դիտարկված իննդրի լուծումը որոշակի նդրային պայմանների դեպքում ընդված է սինդուլյար ինտնդրո-դիֆերենցիալ Հավասարման լուծմանը։ Ձեւ բիջևի օրքողոնալ բազմանդամների օղնուքիյամբ ստացված է այդ Հավասարման էֆեկտիվ լուծումը։

# LOAD TRANSFER FROM TWO SYMMETRICAL STIFFENERS TO AN INFINITE PLATE WITH A CIRCULAR HOLE WEAKENED BY TWO SYMMETRICAL RADIAL CUTS

#### S. S. SHAITINIAN

#### Summary

In the present paper the problem of load transfer from two symmetrical stiffeners to an infinite plate with a circular hole, weakened by two symmetrical radial cuts, not extending beyond the free circular boundary, is considered.

The problem is defined in the form of singular integro-differential equation under definite boundary conditions.

The solution is presented in the form of expansion by Chebishev polynomials of the first kind. As to the unknown expansion coefficients, a quasi-quite regular infinite system of linear algebraic equations is obtained.

#### ЛИТЕРАТУРА

- Шагинян С. С. Покоторые контактные задачи для бесконечной пластины с круговым отперстном, усиленной упругими накладками. Дока. АН Арм. ССР, 1974, т. 59, № 3.
- Мхитарян С. М., Шагинин С. С. О напряженном гостоянии бесконечной пластины с круговым отверстием, расслабленной двумя радиальными разрезами. Докл. АН Арм. ССР, 1976, т. 63, № 4.
- Шатриян С. С. Некоторые контактные задачи для плоскости и круговым отверстием, усиленной на своей границе упругими накладками. Изв АН Арм. ССР. Механика, 1974. г. 27, № 1.

- 4 Arutunian N. K., Mkhitarian S. M. Some contact problems for a semiplane with elastic stiffeneers. Frends in elasticity and thermoelasticity. Witold Novacki Anniversary volume. Wolters-Nordorff publ., 1971.
- 5 Арутинин Н. Х., Мхитерин С. М. Некоторые контактиме задачи для полупространства, усилениего упругими накладамами. ПММ, 1972. т. 36, № 5.
- Морарь Г. А., Ирпон Г. Я. К периодической контактной задаче для полунациюств с упругими накладками. ПММ. 1971, т. 35, № 1.

Մեխանիկա

XXX, Ag 2, 1977

Механика

#### А. П. КАЛАНДИЯ

# К ЗАДАЧЕ ОБ ИЗГИБЕ ПОЛУКРУГЛОЙ ПЛИТЫ

Классические методы потенциала и интегральных уравнений весьма удобны для исследования граничных задач теории упругости. Аппарат теории потенциала становится особение полезным и для практических целей, когда интегральные уравнения задачи (регулярные или сингулярные) удается построить непосредственно для искомых элементов упругих полен, имеющих, разумеется, вполне определенный физический смысл (компоненты смещения, вектора напряжения либо тензора напряжений на границе среды).

Идея конструирования таких уравнений в задачах о трещинах нормального разрыва, насколько нам известно, впервые была осуществлена в работе Бюкнера [1]. Исходя на элементарного решения уравнении упругости, соответствующего сосредоточенному» в точке разреза нормальному смещению, названный автор построил комплексные потенциалы в виде интегралов типа Коши, приводящих задачу к сингулярному интегральчому уравнению первого рода. Искомой функциен в интегральном уравнения Бюкнера служат неизвестные вдоль берегов разреза нормальные смещения. Впоследствии этот метод, которыи мы будем в дальнейшем называ в методом функции влияния, неоднократно применялся для определения интенсивности напряжений на концах трещии в работах самого Бюкнера и ряда других авторов (напр., 2]).

Метод функции влияния в плейном отношении содержится в опубликованной почти одновременно с [1] статье автора [4], посвященной определению поля напряжений в нагибаемой нормальными усилиями тонкой
иластинке в форме полукруга. К сожалению, подбор элементарных решсний, используемых в [4], пряд ли может считаться удачным, ибо, во-первых, не вполне исси смысл комплексного «элемента»  $\rho(x)$ , называемого
обобщенной нагрузкой, а во-вторых, быть может, именно поэтому интегральные уравнения задачи ([4], сгр. 165, уравнения (3.10)) мало удобны как
в смысле исследования, так и в смысле их фактического решения. Сравнительно низкая точность численных результатов [4] объясияется тем, что
используемая там схема решения сингулярных питегральных уравнений
применительно к уравнениям вида (3.10), вообще говоря, яекорректна 11.

Иными словами, в основе работ [1] и [4] заложена одна и та же идея, по техника се осуществления во второй из работ далеко не совершенна.

Содержание статьи [4] поспроизведено в книге овтора ([5], § 29), а также в английском переводе последней ([6], § 28). В формулах [4] для найденных приближенных значении погибающего момента и пригиба имеются опечатки, о чем сказано в [5], стр. 185 (спотва). Но там же (стр. 184, сноска) ошибочно утверждается, что ати приближения обладают приемлемой гочностью.

Ниже, на том же примере нагибаемого полукруга, дана реализация метода функции влияния, свободная от указанных недостатког.

# Изгиб полукруга при смешанных условиях

В рамках теории Кирхгофа-Лява рассматривается тонкая пластинка а форме полукруга, изгибаемая равномерно распределенными по ее срединной поверхности нормальными усилнями интенсивности q. Дуговая часть границы предполагается жестко закрепленной, а прямолинейная часть свободной C. Расположим срединную поверхность пластинки на плоскости переменного C = x + iy так, чтобы она занимала верхною половину единичного круга с центром в началс координат и введем обозначения: S = 0 бласть, занятая упругой средой, C = 0 верхняя полуокружность, C = 0 диаметр круга, C = 0 будет, как обычно, обозначать искомые прогибы точек срединной поверхности

Тогда мы будем иметь следующую задачу (напр., [5], стр. 20-21):

$$\varphi(t) + t\overline{\varphi'(t)} + \overline{\varphi(t)} = f_0(t)$$
 на ү $\frac{d}{dt}[-x\overline{\varphi}(t) + t\overline{\varphi(t)} + \overline{\varphi(t)}] = h_0(t)$  на  $t$ 

причем

$$h_0(t) = \frac{\partial w}{\partial t} + \frac{3}{1-t}$$

$$h_0(t) = \frac{1}{2(1-v)} \left[ G(w_0) + i \sqrt{H(w_0)} dt \right]$$

Здесь  $\phi$  и  $\phi$  — искомые функции от комплексного аргумента z, голоморфные в S', t — аффикс точки на  $\gamma^*+t$ , G и H — известные дифференциальные операции, связанные с задачей изгиба (напр., [5], стр. 14),  $w_0$  — какое-либо частное решение уравнения изгиба,  $\gamma$  — коэффициент Пуассона.

В качестве частного решения  $w_n$  будем брать функцию (D — цилиндрическая жесткость)

$$w_0(x, y) = \frac{q}{64D} (zz - 1)^2, \quad q = \text{const}, \quad (z - x - iy)$$
 (1.1)

дающую решение задачи об изгибе силошного круга, закрепленного по всему краю. В силу определения операций G и H, ядоль диаметра  $\ell$ 

<sup>2)</sup> Изгибу полукруга при различных краеных условиях посвящено вемало работ различных анторон. Рассматриваемый эдесь случан закрепления границы рассматривался в работах О. М. Сапонджява 110, 11, 12].

$$G = \frac{\partial^2}{\partial y^2} + v \frac{\partial^2}{\partial x^2} \qquad H = \frac{d\Delta}{dn} - (1 - v) \frac{d}{dx} \frac{\partial^n}{\partial x \partial y}$$

и потому в нашем случае

$$G(w_0) = 2i[(3i+1)i - 1 - 1]$$
  $H(w_0) = 0$  Ha  $l = \frac{q}{32D}$  (1.2)

На основании предыдущих формул, если принять также во винмание, что, согласно (1.1),  $f_n(t) \equiv 0$ , граничные условия вадачи примут вид

$$\varphi(t) + t \varphi(t) - \varphi(t) = 0 \quad \text{na} \quad \gamma \tag{1.3}$$

$$x\circ(t) + t\circ'(t) - \circ(t) = h(t) + c \quad \text{iii} \quad (1.4)$$

где с — произвольная вещественная постоянная,

$$h(t) = \frac{1}{1-v} \left[ -\frac{3v+1}{3} - t - (1+v)t \right]$$
 (1.5)

Приступан к решению задачи, введем в рассмотрение зависящие от точки t из t аналитические функции  $\phi(z,t)$ ,  $\psi(z,t)$ , регулярные в области S всюду, за исключением точки z=t, и допускающие в окрестности указанной точки представления

$$=(z, t) = \frac{p(t)}{z-t} + z_1(z, t) \tag{1.6}$$

$$\psi(z, t) = p(t) \left| \frac{z}{z-t} + \frac{z}{(z-t)^2} \right| + \psi_0(z, t)$$

тде p(t) — некоторая вещественная функция точки t на t, а  $\phi_{cc}$   $\phi_{cc}$  — голоморфные в круге S функции для любого t из отрезка t.

Потребуем от функций ч н ф, чтобы оки удовлетворили граничному условию (1, 3) на всен окружности у. Тогда для функций фо, фо будем иметь задачу

$$\varphi(z, t) = p(t) \ln(z - t) - \varphi_0(z, t)$$

$$(z, t) = \overline{p(t)} \ln(z - t) - \frac{p(t)}{z - t} + \varphi(z, t)$$

$$(1.7)$$

ве вволие удачных, как указано во введении. Представления (1.6) и (1.7) существено отличаются по смыслу друг от друга, хоти с формальной точки арения разница не столь иначительна; представления (1.6) можно получить из (1.7), если коэффициенты при логарифмах элменить, соответственно, на -p(t) и  $\times p(t)$  и, продифференцирован равенства по z, поменить местами переменные z и t (менять при этом аргумент функции p(t), разуместся, не следует).

<sup>1)</sup> Представления (1.6) предлагаются вычи ронее используемых (напр., [5], стр. 177; обозначения здесь несколько поменены)

$$\varphi_0(z,t) + \overline{\varphi_0(z,t)} + \overline{\psi_0(z,t)} = f_{\rm d}(z,t) \tag{1.8}$$

при

$$f_0(z, t) = -p(t) \left[ \frac{1}{z - t} - \frac{zz}{1 - zt} + \frac{(z(1 - z^2))}{(1 - zt)^2} \right]$$

$$\overline{f_0(z, t)} = -p(t) \left[ \frac{z}{1 - zt} - \frac{z}{z - t} + \frac{z^2 - 1}{z(z - t)^2} \right]$$

Задача (1.8) — первая основная задача для круга, решается, как известно, в замкнутом виде. Решение дается формулами ([7], § 80).

$$\begin{split} \varphi_0\left(z,\;t\right) &= \frac{1}{2\pi i} \int\limits_{\bar{\tau}} \frac{f_0 dz}{z-z} - \overline{a}_1 z \\ \dot{\varphi}_0\left(z,\;t\right) &= \frac{1}{2\pi i} \int\limits_{\bar{\tau}} \frac{\overline{f}_0 dz}{z-z} \, \frac{\varphi_0'\left(z,\;t\right)}{z} + \frac{a_1}{z} \\ a_1 &= \overline{a}_1 = \frac{1}{4\pi i} \int\limits_{\bar{\tau}} \frac{f_0 dz}{z^2} \end{split}$$

Интегралы типа Коши в правых частях леско вычисляются на основании интегральной формулы и теоремы Коши о голоморфиых функциях. В самом деле, при |z| < 1, —  $1 \le 1 \le 1$ 

$$\frac{1}{2\pi i} \int_{\gamma}^{\gamma} \frac{dz}{(z-t)(z-z)} = 0; \quad \frac{1}{2\pi i} \int_{\gamma}^{\gamma} \frac{z}{1-zt} \frac{dz}{z-z} = \frac{z}{1-z}$$

$$\frac{1}{2\pi i} \int_{\gamma}^{\gamma} \frac{z(1-z)}{(1-zt)^2} \frac{dz}{z-z} = \frac{z(1-z^2)}{(1-zt)}; \quad \frac{1}{2\pi i} \int_{\gamma}^{\gamma} \frac{z}{(z-t)^2} \frac{dz}{z-z} = 0$$

$$a_1 = \frac{z(t)}{1-zt} \int_{\gamma}^{\gamma} \frac{1}{(1-zt)^2} \frac{dz}{z-z} = \frac{1}{1-zt} \int_{\gamma}^{\gamma} \frac{dz}{z-z} = \frac{1}{2\pi i} \int_{\gamma}^{\gamma} \frac{dz}{z-z} = 0$$

Внося явные выражения для q.,  $\psi_n$  в (1.6), находим пару функций  $\phi(z,t)$ ,  $\psi(z,t)$ , определяющих функцию влияния нашей задачи,

$$\varphi(z, t) = p(t) \left[ \frac{1}{z - t} + M(z, t) \right]$$

$$\varphi(z, t) = -p(t) \left[ \frac{x}{z - t} - \frac{z}{(z - t)^2} + N(z, t) \right]$$

$$M(z, t) = \frac{xz}{1 - zt} + \frac{z(z^2 - 1)}{(1 - zt)^2} - \frac{x - 1}{2} z$$

$$N(z, t) = \frac{z}{1 - zt} - \frac{1}{z} \frac{d}{dz} M(z, t) - \frac{x - 1}{2z}$$

Положим теперы

$$\varphi(z) = \frac{1}{2\pi i} \int_{-1}^{\infty} \varphi(z, t) dt, \qquad \psi(z) = \frac{1}{2\pi i} \int_{1}^{\infty} \psi(z, t) dt \qquad (1.10)$$

Легко видеть, что функция q(z),  $\psi(z)$  кусочно-голоморфиы в круге S, голоморфиы в любой консчной области илоскости z, не содержащей гочек вещественной оси. Точнее,  $\psi$  и  $\psi$  слагаются из интегралов типа Коши по консчному и бесконечному отрезкам оси z, взаимно дополняющим друг друга до полной прямей. В дальнейшем нет нужды рассматривать эти функции вне области  $S^*$ , ранятой упругой средой. Как видно из построения, потенциалы (1.10) удовлетворяют при любом p(x) граничному условию (1.3) и, следовательно, удовлетворяют условию закрепления дуги  $\tau^*$  с точностью до аддитивной постоянной для прогибов  $\psi$  (x, y).

Выясним, прежде всего, смысл функции p(x), представляющей собой плотность интегральных представлений (1.10). С этой целью вычислим предсланые значения пыражения

$$\mathbb{P}(z, z) = \mathbb{P}(z) + z \mathbb{P}'(z) + \mathbb{P}(z)$$

слева, то есть из S , на I. Из (1, 10) и (1, 9), на основании извествых формул Сохоцкого-Племеля (напр., [5], стр. 16) следует

$$Jm 2^{-}(t, t) = -\frac{1-x}{2} \operatorname{p}(t) \quad \text{на} \quad I \tag{1.11}$$

С другой стороны, дифференцируя по у формулу

$$w(x, y) = w_0(x, y) - 2\operatorname{Re}[z \circ (z) + \lambda(z)], \quad \psi(z) = \lambda'(z)$$

дающую общее решение уравиения изгиба, паходим

$$\frac{\partial w}{\partial y} = 2iy(x^2 - y - 1) - 2 \operatorname{Re} \{i = \{z, z\}\}$$

Отсюда, ядоль дяаметра /

$$\frac{dw}{dn} = -\frac{\partial w}{\partial y} = 2\operatorname{Re}\left\{i\Omega^{+}\left(t_{i},t\right)\right\}$$

и сопоставление двух предыдущих равенств даст

$$\frac{dw}{dn} = (1+x)ip(t) \quad \text{na} \quad l \tag{1.12}$$

Следовательно, значения функции p(x) с точностью до постоянного множителя дают малые углы (точнее, тангенсы малых углов), составляемые изогнутой срединной поверхностью пластинки с плоскостью хоу вдоли диаметра l. Угол наклона вдоль l — неизвестная функция от точки x.

Установление механического смысла функции P(x) имеет определяющее значение для фактического решения задачи.

На основании тех же формул (1.9) и (1.10) составим теперь выражение

$$= x \varphi(z) + z \varphi'(z) + \overline{\varphi(z)}$$

и, использовав формулы Сохоцкого-Племеля, вычислим предельные страначения, когда точка z из  $S^+$  стремится к точке x, расположенной на t. Приравния эти предельные значения к правой части (1.4), получим соотношение для функции p(x)

$$\sum_{t=0}^{1} K(x, t) p(t) dt = h(x) + c \quad \text{Ha} \quad l$$

$$-K(x, t) = \frac{2x}{x - t} + k_0(x, t)$$

$$k_0(x, t) = zM(x, t) + N(x, t) - x \frac{d}{dx} M(x, t)$$
(1.13)

Функции М и Л определены вслед за формулами (1.9).

Уравнение (1.13) — сингулярное интегральное уравнение первого года, и есть основное соотношение нашей задачи. После элементарных преобразований выражения для  $k_o(x,t)$  опо может быть приведено к виду

$$\frac{1}{2\pi} \int_{-1}^{1} \frac{p(t) dt}{t - x} + \frac{1}{2\pi} \int_{-1}^{1} k(x, t) p(t) dt = f(x) + c$$
 (1.14)

rae

$$k(x, t) = -\frac{1}{2^{x}} \left[ \frac{(1 - x^{2})x + (x - 1)t}{1 - xt} - (x - 1)\frac{x - t - x(1 - x^{2})}{(1 - xt)^{2}} + \frac{2(x - t)(1 - x)}{(1 - xt)^{3}} - \frac{(x - 1)^{2}}{2}x \right]$$
(1.15)

$$f(x) = \frac{1}{6(3+y)} [3y+1] x^3 - 3(1+y) x$$
 (1.16)

Хорошо известно, что теория одномерных сингулярных интегральных уравнений давно приобрела (не без усилия советских математиков) законченный вид, основные се результаты в классическом рассмотрении вопроса изложены в монографиях [8, 9]. Определяющие положения этой теории, например, возможность приведения к уравнению Фредгольма, существование решения в данном классе функции и т. п., по отношению к уравнению (1.14) перестают, к сожалению, быть справедливыми из-за особого характера его ядра, общего для всех почти ядер, получаемых при методе функции влияния. Ядро уравнения (1.14) имеет, помимо сингулярности при x=1.

характерной для ядер типа Коши вообще и неподвижную сингулярность того же порядка на концах отрезка. Точнее, функция k(x,t), как видно на (1.15), регулярна по x и t в промежутке t и обращается в бесконечность при  $x=t=\pm 1$ . Напомиим, что в существующей теории сингулярных уравнений функция k(x,t), то есть регулярная часть ядра, предполагается непрерывной по обеим переменным на отрезке [-1,1].

Вопросами общей теории особых уравнений с ядрамя (1.15) здесь заниматься не будем. Основой для дальнейших рассмотрений послужит способ приближенного решения класса сингулярных уравнений, изложенный в [5]. § 13. Особый характер ядра (1.15) не может быть препятствием применению способа к уравнению (1.14), тем более, что класс функций, в котором следует искать решение p(x), полностью определен в соответствии с (1.12).

Согласно приему, указанному в [5], § 13. п. 3, будем разыскивать решение уравнения (1. 14), ограниченное на обоих концах отрезка, в виде натерполяционного многочлена Лагранжа  $L_n$ , построенного по чебышевскім узлам ( $x = \cos \theta$ )

$$p(x) \simeq L_n[p; x] = \frac{1}{n+1} \sum_{k=1}^{n} p(x_k) \frac{(-1)^k + \sin \theta_k \sin (n-1) \theta}{\cos \theta - \cos \theta_k}$$

$$x_m = \cos \theta_m, \quad \theta_m = \frac{m}{n+1}, \quad m = 1, 2, ..., n$$
(1.17)

Способ приводит решение уравнения (1.14) к системе липейных уравнений относительно значений искомого p(x) в заданных узлах

$$\sum_{n=1}^{\infty} z_{n}, p_{n} - c = f_{m}, \quad m = 1, 2, ..., n$$
 (1.18)

rae

$$z_{m} = \frac{\sin \theta}{n-1} \left[ \frac{z_{mv}}{\cos \theta} - \frac{1}{2} k(x_{m+1} t) \right]$$

$$f_{m} = f(x_{m}), \quad x_{m} = I_{M1} \quad \varepsilon_{m} = \frac{1}{2} - \frac{1}{2}$$

Функции k(x, t) и l(x) определяются формулами (1.15) и (1.16), а с — произвольная пока вещественная постоянная, фигурирующая в правый части (1.14).

Разумеется, при построении приближенного решения мы предполагаем, что уравнение допускает одно единственное решение данного класса функций. Поэтому постоянная с должна быть определена однозначно из условия ограниченности решения на отрезке [—1, 1]. Условие это в нашем случае принимает вид (см. [8], § 105)

$$\int_{-1}^{1} \frac{f(x) + c - R[p; x]}{\sqrt{1 - x^2}} dx = 0, \qquad R[p; x] = \frac{1}{2\pi} \int_{-1}^{1} k(x, t) p(t) dt$$

2 Известия АН Армянской ССР, Механика, № 2

Если записать предыдущее уравнение в дискретной форме, то получим еще одно линейное уравнение

$$\sum_{n=1}^{n} \alpha_{n+1, n} p_n - c = f_{n+1}$$
 (1.18')

при

$$\frac{1}{2n(n+1)} \sum_{i=1}^{m} k(x_{j}, t_{i}), \qquad 1 = \frac{1}{n} \sum_{j=1}^{m} (x_{j})$$

$$x_{m} = \cos \theta_{m}, \qquad 1 = \frac{2m}{2n} = (m-1, 2, ..., n)$$
(1.19)

которое и следует присоединить к системе (1.18). Совокупность уравнений (1.18) и (1.18') дает полную систему для определения всех неизвестных  $p_s$  и c.

Если решенть эту систему и функцию p(x) из (1.17), составленную по решению  $p_{\rm L}$ , подставить в (1.10), получим приближенное решение задачи  $\phi_{\rm L}(z)$ . Оно будет удовлетворять граничному условню на  $\gamma^+$  в точности, а на  $\ell$ — приближенно. Как показывают вычисления, приемлемые результаты достигаются даже при весьма небольших  $n_{\rm L}$ .

Вычислим, к примеру, изгибающий момент в середние  $\gamma$  — и прогиб а гочке z=0. Для вычисления момента  $G_{i}=-DG$  воспользуемся формулой ([5], стр. 15).

$$G_n(\pi e) = G_n(\pi e_0) + 2(1 - \pi) D \operatorname{Re} \left[ \frac{d}{d\pi} \left[ -\pi_n(\pi) + \pi_n(\pi) + \psi(\pi) \right] \right] = \operatorname{Ha} \gamma$$
(1.20)

Егли иместа Со внести сюда (1.1), а вместо Ф и ф—представления (1.10), то посла элементарных пычислений формула примет вил

$$G_n = -\frac{q}{8} + \frac{q}{4} \operatorname{Re} \left\{ \sigma^2 \frac{d}{d\sigma} \frac{1}{2\pi} \int_{-1}^{1} \left[ \frac{x}{\sigma - t} + \frac{\sigma}{1 - \sigma t} + \frac{1 - \sigma^2}{\sigma (\sigma - t)^2} + \frac{1 - x}{2\sigma} \right] p(t) dt \right\}$$

Отсюда, в середине дуги  $\gamma$  , то есть при  $\sigma=i$ , имеем

$$G_{n} = -\frac{q}{8} - \frac{1}{4} \frac{1}{2\pi} \int \left| \frac{(1+z)(1-t^{2})}{(1+t^{2})^{2}} - \frac{4(1-3t^{2})}{(1+t^{2})^{3}} - \frac{1-z}{2} \right| p(t)dt \quad (1.21)$$

Функция χ(ε), необходимая для определения прогибов &, находится из второй формулы (1.10) обычным интегрированием

$$X(z) = \sum_{z=1}^{n} P(z, t) p(t) dt + A z R S$$
 (1.22)

$$P(z, t) = (z - 1) \ln \frac{1 - zt}{z - t} + \frac{z - zt - t^2}{t(z - t)} - \frac{(1 - z)t^2 + 1}{t^2 (1 - zt)} \cdot \frac{t^2 - 1}{t^2 (1 - zt)^2}$$
(1.23)

A =произвольная вещественная постоянная. В равенств $\in (1.23)$  под  $\ln(1-zt)$  и  $\ln(z-t)$  при фиксированном  $\ell$  подразумеваются вполне определенные встви соответствующих многозначных функций.

Постоянная А должна быть определена на граничного услопия задачи!

$$w\left(x,y\right)=2\operatorname{Re}\left(\overline{z}\psi\left(z\right)\right)$$
 / (2) = 0 на т

איס א סדוי=ס איס א סדוי מידוי

$$A = -\operatorname{Re}\{\sigma_{\mathbb{T}}(s) + X^*(s)\}$$
 (при  $s = I$ )

Здесь 7. (г) обозначает правую часть (1.22) без А.

Если подставить сюда представления (1.10) и (1.22) для у и х°, то после влементарных преобразовании формула примет весьма простои вид

$$A = \frac{x - 3}{2} \frac{1}{2^{2}} \int_{1}^{1} p(t) dt$$

После определения А функция  $\chi(z)$  будет определена равенством (1.22) одновначно и формула

$$w(x, y) = \frac{\lambda}{2} (x^2 + y - 1)^2 + 2 \{\text{Re}\{z : (z) + \lambda(z)\}\}$$

даст значения прогибов и любой точке срединной поверхности. Для точек диаметра I

$$w(x, y) = \frac{L}{2} (x^2 - 1)^2 + 2 \operatorname{Re} \{ t \varphi^+(t) - \gamma^+(t) \}$$
 (t mat)

В частности, прогиб в точке х == q = 0 ранен

$$w(0, 0) = \frac{7}{2} - 2A + 2 \operatorname{Re} 7^*(0)$$

Вычисляя правую часть предыдущей формулы, найдем

$$\operatorname{tr}(0, 0) = \frac{\lambda}{2} + \frac{\lambda}{2\pi} \int_{-1}^{1} \{3 - x + 2(1 - x) \ln|t|\} p(t) dt \qquad (1.24)$$

<sup>(1.3)</sup> Напомним, что равенство (1.3) означает условия:  $\frac{dw}{dn} = \frac{dw}{ds} = 0$ .

Решая систему линейных уравнений для n=10, v=4. (значит,  $\kappa=5$ ) и применяя к прапым частям равенств (1.21), (1.24) квадратурную формулу типа Гаусса

$$\int_{1}^{1} \sqrt{1-x} F(x) dx = \frac{1}{n+1} \sum_{k=1}^{n} \sin^{2}\theta_{k} F(\cos\theta_{k}), \quad \theta_{k} = \frac{k\pi}{n+1}$$

находим

$$G_{n}|_{n=i} = -0.1250 \, q$$
,  $w(0, 0) = 0.0265 \, \frac{q}{D}$ 

Подробный анадиз решения позволяет полагать, что найденные приближения для G и W близки к их истинным значениям.

Математический институт им. А. М. Разм для АН Группиской ССР

Поступила 10 11 1976

#### և, Ն ԿԱՆԱՆԳԻԱ

### հԻՍԱՇՐՋԱՆԱԶԵՎ ՍԱԼԻ ԾՌՄԱՆ БՆԳՐԻ ՎԵՐԱՔԵՐՅԱԼ

### Ասկուփում

Խառը հզբային պայմանների դեպքում բարակ սալերի ծոման օրինակի վրա արվում է որոշ դասի երկչափանի խնդիրների լուծման ժեքիոդի իրագործումը։ Մեխողը Հիմնվում է Կոլոսովի—Մուսիսելիջվիլու պոտննցիայների հատուկ ձևի ներկայացումների և սինդուլյար ինտեցրալ հավասարումների նկատմամը հայանի մոտավոր հղանակների հիտագա կիրառման վրա։

# ON THE INFLUENCE FUNCTION METHOD IN THE THEORY OF ELASTICITY

#### A. I. KALANDIYA

# Summary

By the influence function we call a special method of reducing a boundary value problem to the operator equation, the solution of which has quite a definite physical sense. The method is especially useful in applications, if the solutions of integral equation serves as the unknown element of the field, which can be regarded as one of the houndary conditions for the elliptic equation under consideration.

In two-dimensional problems of the theory of elasticity this method was used in simultaneously published works [1, 4], in which plane problems on the gap of normal crack and bending of thin plates are regarded respectively within the frames of Kirhgofi-Love theory.

This work is devoted to the revision of the solution given in [4] and contains the realization of the method, which ensures the effective and correct scheme of calculation.

#### JIKTEPATYPA

- Bueckner H. F. Some Stress Singularities and their Computation by menus of Integral Equations, in "Boundary Problems in Differential Equations", Univ. Wisconsin Press, Modison, 1960, pp. 215-230.
- Buckner H. F., Glaever I. The Stress Consentration of a Notched Rober Subjected to Contribugal Forses, ZAMM, 1966, 46 (5), 265 273.
- 3. Buckner H. F. On a Class of Singular Integral Equations. Journ. of Math. Anal. and Appl., 1 60, 14(3), 392-426.
- 4. Каландия А. И. Об одном способе решения задач теории упругости для полукруга. Проблемы механики силошной среды (К семидесятилетию акад. П. И. Мускелишвили). М., Изл. АН СССР, 1961, стр. 161—169.
- 5. паланаця А. И. Математические методы днумирион упругости. М., «Наука», 1973.
- b. Kalandiya A. I. Mathematical Methods of Two-Dimensional Elasticity, Moscow, "Mir Publishers", 1975.
- 7. Муслелиционля 11. И. Некоторые основные задачи математической гоория упругосли, изд. 5-ос. М. Наука», 1906.
- Мускельвикали Н. И. Сингулярные интегральные уравнения, изл. 3-ос. М., «Наукт., 1968.
- 9. Векуа Н. П. Системы сингулярных интегральных уравнений, изд. 2-ос. «Наука», 1970.
- Сапонажин О. М. Применение методя дополнительных воздействий к решению задачи об изгибе илит, изоской задачи и задачи о кручении призматических стериней. ПММ, 1949, т. 13, вып. 5.
- Сапонджян О. М. Изгиб полукруглой плиты. Св. трудов Ереванского политехнического института, 1950, № 4.
- 12 Сапон М. Погаб тонких упругих или: Греван, изд-во «Айастан», 1975.

Մեխանիկա

XXX, No 2, 1977

Механияв

#### Г. А. МОВСИСЯН, Г. Э. МИКАЕЛЯН

# НССЛЕДОВАНИЕ УСТОЙЧИВОСТИ ОРТОТРОПНОЙ ЦИЛИНД-РИЧЕСКОЙ ОБОЛОЧКИ С УПРУГИМ НАПОЛНИТЕЛЕМ ПРИ ЧИСТОМ ИЗГИБЕ

В работах [1, 2, 5] доказывается, что в задачах устойчивости цилиндрической оболочки с упругим наполнителем, жесткостные характеристики которого на несколько порядков уступают соответствующим параметрам оболочки, влиянием напряжений на поверхности контакта между оболочкой и наполнителем можно пренебречь.

В настоящей работе с учетом указанного обстоятельства исследуется устойчивость при чистом изгибе ортотропной цилиндрической оболочки с упругим наполнителем, модуль упругасти которого много меньше модулей упругасти оболочки.

1. Пусть ортотронная цилиндрическая оболочка с изотронным наполнителем подвергается действию изгибающих моментов M, приложенных в диаметральной плоскости (фиг. 1).

Дифференциальные уравнения устойчиности оболочки с наполнителем имеют вид

$$\left(C_{13} \frac{\partial^{2}}{\partial x^{2}} + C_{66} \frac{\partial^{2}}{\partial \beta^{2}}\right) u + \left(C_{12} + C_{66}\right) \frac{\partial v}{\partial x} - \frac{C_{13}}{R} \frac{\partial w}{\partial x} - \mathcal{X} = 0$$

$$\left(C_{13} + C_{66}\right) \frac{\partial u}{\partial x} - \left(C_{23} \frac{\partial^{2}}{\partial x^{2}} - C_{23}\right) + \frac{C_{66}}{R} \frac{\partial v}{\partial x} - \mathcal{Y} = 0$$

$$\frac{C_{13}}{R} \frac{\partial u}{\partial x} + \frac{C_{23}}{R} \frac{\partial v}{\partial x} + \left|D_{11} \frac{\partial^{4}}{\partial x} - 2\left(D_{12} + 2D_{64}\right)\right| \frac{\partial^{4}}{\partial x} - C_{23} + \frac{\partial^{2}}{R} \left|w\right| - C_{24} = 0 \quad (1.1)$$

где u, v, w — перемещения поэмущенного состояния, X, Y, Z — изменения насрузки, связанные с воздействием упругого наподнителя — процессе потери устойчивости, T, T, S — докритические усилия в срединной поверхности оболочки,

$$C_{jk} = B_{jk}h, D_{jk} = C_{ik} \frac{k}{12}$$

$$B_{13} = \frac{E_{1}}{1 - v_{1}v_{2}}, B_{22} - \frac{E_{1}}{1 - v_{1}v_{2}}$$

$$B_{13} = \frac{E_{1}}{1 - v_{1}v_{2}}, B_{22} - \frac{E_{2}}{1 - v_{1}v_{2}}$$

$$B_{13} = \frac{E_{1}}{1 - v_{1}v_{2}}, B_{24} - \frac{E_{2}}{1 - v_{1}v_{2}}$$

$$B_{14} = \frac{E_{1}}{1 - v_{1}v_{2}}, B_{25} - v_{1}B_{1}$$

$$(1.2)$$

 $E_{ii}$ ,  $E_{ii}$ ,  $v_{ii}$ ,  $v_{ij}$  — модули упругости и коаффициенты. Пуассона материала оболочки по главным направлениям упругости  $\alpha$  и  $\beta$ ,  $G_{ii}$  — модуль сдвига.

2. Учитывая, что в процессе выпучивания на оболочку действует радиальная нагрузка от наполнителя Z, в уравнениях устойчивости (1.1) для компонентов нагрузки X. У будем иметь

$$X = 0, \quad Y = 0$$
 (1.3)

Для определения радиальной нагрузки Z будем исходить из следующих соображений.

Исследование устойчивости ортотролной цилиндрической оболочки с упругим наполнителем при осевом сжатии показывает, что радиальное вытдействие наполнителя приближению можно представить в виде

$$Z = -k_0 w \tag{1.4}$$

где коэффициент k, определяется на решения задачи. Аяме для полого наотропного цилиндра и имеет вид

$$k_{0} = \frac{2(1+\nu_{0})\left[1-\left(\frac{R_{0}}{R}\right)^{2}\right]}{1-\nu_{0}+(1+\nu_{0})\left(\frac{R_{0}}{R}\right)^{2}}\frac{G_{0}}{R}$$
(1.5)

Здесь G и  $v_n$  — модуль единга и коэффициент Пуассона материала наполнителя, R — раднус внутренней цилиндрической пояерхности наполнителя, R — раднус средниной пояерхности оболочки (фиг. 1).

На фиг. 2 приведены результаты указанного приближенного и полученного на основании [4, 5] точного решения задачи устойчивости при осевом сжатии, когда  $\frac{1}{R}=2$ ,  $\frac{1}{R}=0.5$ ,  $\frac{1}{R}=0.2$ ,  $\frac{1}{R}=0.2$ 

 $p_{\rm up} = \frac{P(1-v_{\rm l}v_{\rm u})}{E.h}$  приближенное решение дает близкие к точному ре-

зультаты

В снязи с этим ниже при решении задачи устойчивости цилиндрической оболочки с упругим наполнителем при чистом изгибе изгибающие моменты заменяются статически эквивалентной осевой нагрузкой и считается возможным представить выражение Z в пиде (1.4).

2. Рассмогрим устойчивость цилиндрической ортотропной оболочки с упругим наполнителем при чистом изгибе.

Считая, что для потери устойчивости внешняя нагрузка полностью воспринимается оболочкой, для внутренних сил оболочки  $T_*$ ,  $T_*$ , S будем иметь [3]

$$T_{a} = -\frac{M}{\pi R^{2}} \cos \frac{3}{R}$$
,  $T_{a} = 0$ ,  $S = 0$  (2.1)

Принимая, что торцевые сечения оболочки оперты шарнирно, представим решение дифференциальных уравнений устойчивости (1.1) в виде рядов

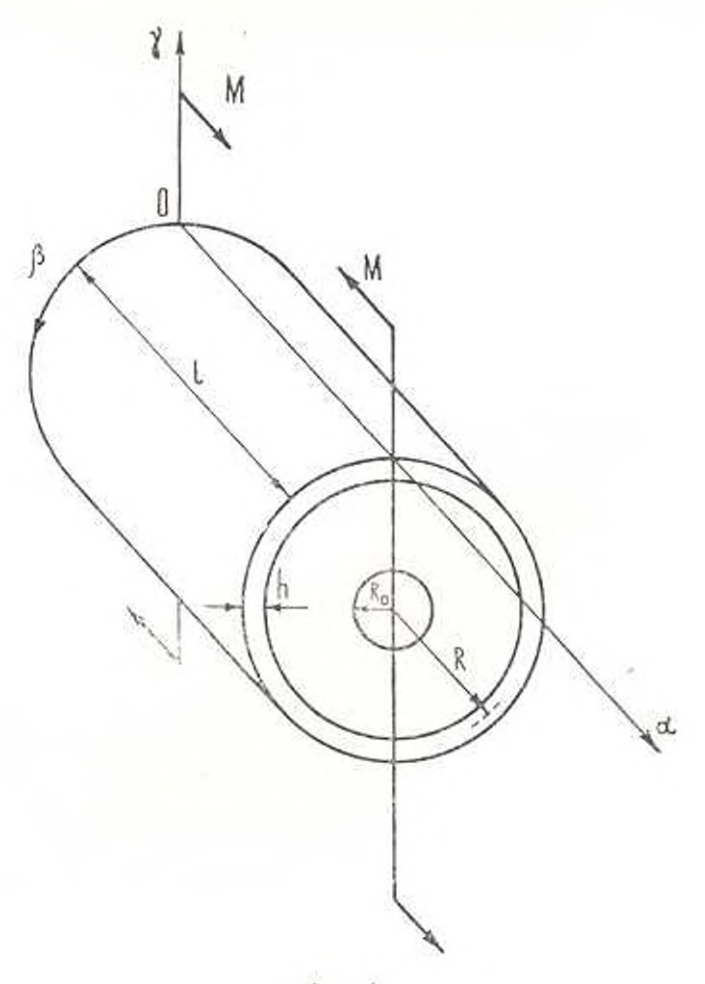
$$u = \cos t_m \alpha \sum_{n=1}^{\infty} U_n \sin \alpha_n \beta$$

$$v = \sin k_m \alpha \sum_{n=1}^{\infty} V_n \cos \alpha_n \beta$$

$$w = \sin k_m \alpha \sum_{n=1}^{\infty} W_n \sin \alpha_n \beta$$
(2.2)

где

$$\lambda_m = \frac{\pi m}{l}, \qquad \mu_n = \frac{n}{R} \tag{2.3}$$



Фиг, 1,

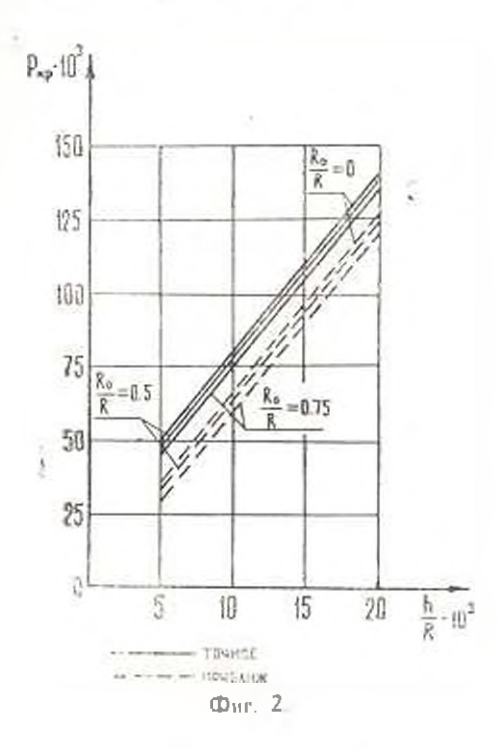
Подставляя (1.3), (2.1) и (2.2) в уравнения устойчивости (1.1), получим  $-\left(\left.C_{11}r_m+C_{46}\left|r_n^2\right.\right)U_n-\left(C_{12}+C_{...}\right)\right.$ 

$$-(C_{12} - C_{66}) \lambda_{m} \mu_{n} U_{n} - (C_{24} + C_{66})^{2}) V_{n} - \frac{C_{14}}{R} \mu_{n} W_{n} = 0$$

$$-\frac{C_{24}}{R} \mu_{n} V_{n} + \left[ D_{11} \lambda_{n}^{4} + 2 (D_{12} + 2D_{11})^{2} \mu_{n} \right]$$

$$-\frac{C_{22}}{R} - k_{0} \left[ W_{n} - \frac{M}{2R} \mu_{n} (W_{n-1} + W_{n+1}) \right] = 0$$

$$(2.4)$$



Искаючив из системы (2.4)  $U_n$  и  $V_n$ , получим следующую систему алгебраических уравнений относительно  $W_{n-1}$ ,  $W_n$ 

$$\left| -\frac{C_{12}}{R} \frac{\Delta_{1}}{\Delta} i_{m} - \frac{C_{22}}{R} \frac{\Delta_{2}}{\Delta} \mu_{n} - \left| D_{11} i_{m}^{2} + 2 \left( D_{12} + 2D_{66} \right) \lambda_{n}^{2} \mu_{n}^{2} - \frac{C_{12}}{R} - i_{n}^{2} \right| \right| W_{n} - \frac{M}{2\pi R^{2}} P_{n}^{2} \left( W_{n-1} + W_{n-1} \right) = 0$$
 (2.5)

TAC

$$\Delta_{1} = \frac{1}{K} \left( C_{12} v_{n}^{2} - \frac{1}{K} v_{n}^{2} \left( C_{12} + C_{64} \right) v_{m} - \frac{1}{K} v_{n}^{2} \left( C_{12} + C_{64} \right) v_{m} \right)$$

$$\Delta = \left( C_{11} v_{n}^{2} - \frac{1}{K} v_{n}^{2} + C_{16} v_{m}^{2} - C_{16} v_{m}^{2} \right) - \left( C_{12} + C_{66} \right) v_{m} v_{n}$$

$$(2.6)$$

Вводя в (2.5) безразмерный параметр нагрузки

$$\overline{M} = \frac{M}{\pi R^0} \frac{1}{B_{11}h} \tag{2.7}$$

будем иметь

$$W_{n-1} + \Delta(m, n) W_n + W_{n+1} = 0$$
 (2.8)

FAC

$$\Delta (m_1 | n) = \frac{2}{M i_{ra}^{3} R^{-}} \left\{ \frac{C_{12} i_{m} \Delta_1 + C_{22} i_{n}^{3} \Delta_2}{\Delta} \frac{R}{B_{11} h} - \left[ D_{11} i_{m}^{3} - 2 (D_{12} - 2D_{60}) + D_{22} i_{n}^{3} + \frac{C_{22}}{R^{2}} - k_0 \left[ \frac{R_0^{2}}{B_{11} h} \right] \right]$$
(2.9)

Подставляя (2.6) в (2.9), с учетом (1.2), (1.5) в (2.3) для  $\Delta$  (m, n) получим

$$\frac{2}{n^{26}M} \left\{ \frac{6 + k (\sqrt{5} - 1)^{2}}{\frac{3}{6}(k - 0) + k\theta (\theta - 2\sqrt{6})} \right\}^{2} = \frac{1}{12} \left[ \left( \pi m n - \frac{h}{l} \right)^{2} (\theta + 2\sqrt{6} + 4k (1 - 3\sqrt{2})) + \delta \left( n^{2} \frac{h}{R} \right)^{2} \right] - \delta + z \right\} (2.10)$$

где

$$\theta = \left(\frac{\pi m}{n} \frac{R}{l}\right)^{2}$$

$$E_{1} = E, \quad v_{1} = v, \quad \frac{E_{2}}{E_{1}} = \frac{v_{0}}{v_{1}} = \delta, \quad \frac{G_{12}}{E_{1}} = k$$

$$z = -\frac{2\left(1 + v_{0}\right)\left[1 - \left(\frac{R_{0}}{R}\right)^{2}\right]}{1 - v_{0} + \left(1 + v_{0}\right)\left(\frac{R_{0}}{R}\right)^{2}} \frac{G_{0}}{E} \frac{R}{h} \left(1 - \delta v^{2}\right) \tag{2.11}$$

Критическое значение изгибающих моментов находим из условия равенства нулю определителя бесконечной системы алгебраических уравиений (2.8).

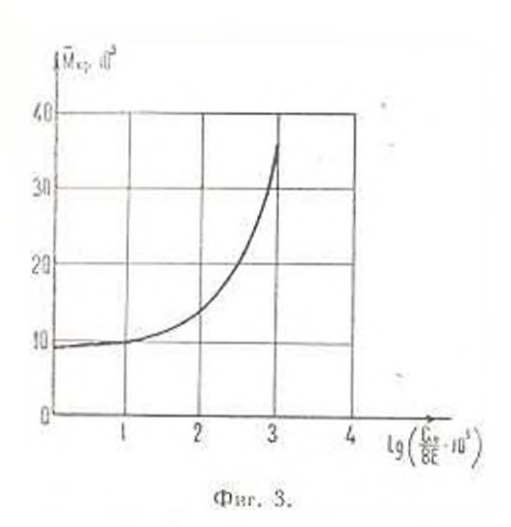
3. Приведем результаты численного решения при

$$\frac{h}{R} = \frac{1}{100}$$
 = 1.44,  $k = 0.4$ ,  $v = 0.2$ ,  $v_0 = 0.5$  is  $n = 3$ 

В табл. 1 приведены критические значения безразмерного параметра  $M_{\rm Fp}$ , а также соответствующие числа поли  $m_{\rm kh}$  в зависимости от отношения  $\frac{G_0}{F}$ .

 $oxed{\mathsf{Ha}}$  фиг.  $oxed{\mathsf{3}}$  принеден график зависимости между  $oxed{M}_{\mathsf{KP}}$  и  $\mathsf{Ig}\Big(rac{G_0}{8oldsymbol{\mathcal{E}}}\cdot 10^5\Big)$   $\cdot$ 

Как видно из графика, с усилением наполнителя критическое значение нагибающего момента, а также число воли вдоль образующей оболочки увеличивается.



Заметим, что значении  $M_{\rm sp}$ , вычисленные при различных значениях  $\frac{1}{2}$  (2; 3; 4; 5), почти не изменяются.

	Таблица			
$\frac{G_8}{E}$	Мир	Ptsp		
0	0.00941	13		
0.00008	0.00947	13		
0.0008	9.01007	13		
0.008	0 01476	16		
0.08	0.03704	25		

		1 00 maga 2		
G <sub>e</sub>	$\overline{p}_{np}$	Min		
0.00001333	0.00641	0,01006		
0.00006667	0.00657	0.01014		
0,00016667	0.00681	0.01027		

В табл. 2 приводятся значения  $M_{*p}$  при чистом изгибе, а также значения безразмерного параметра  $\frac{P}{P_{*p}}$  при осеном равномерном сжатии оболочки при  $\frac{h}{R}=\frac{1}{100}$ . 4—1.667, k=0.4,  $\frac{R}{R}=0.3$ ,  $\nu=0.2$ , —0.5.

С учетом (2.1) из таба. 2 следует, что критические максимальные осевые усилия при чистом изгибе несколько больше критических осевых усилий при равномерном сжатии. Следует отметить, что такой же результат для оболочки без наполнителя приводится в [3].

Ереванский политехнический институт им. К. Маркса

Поступила 1 VI 1976

Գ. Ա. ՄՈՎՈՒՍՑԱՆ, Հ. 🧶 ՄԻՔԱՅՆԼՅԱՆ

# 

# Ամփոփում

Ընդունվում է, որ βազանքի և առաձգական լցոնի միջև զուու<mark>քյուն ունի</mark> հորմու տեղավոխմանը Համեմասական շառավղային վոխազգեցու<mark>թյուն և</mark> որոշվում է ծողը մոմենաի կրիտիկական արժերը։

# ON STABILITY OF ORTHOTROPIC CYLINDRICAL SHELL WITH ELASTIC FILLER UNDER PURE BENDING

#### G. A. MOVSISIAN, G. Z. MIKAELIAN

# Summary

The radial interaction alone parallel to normal displacement is assumed to exist between shell and filler.

The critical values of bending moments are found from the condition where the determinant of an infinite system of algebraic equations is equal to zero.

#### ЛИТЕРАТУРА

- Варвак А. П. Вдияние упругого заполнитедя на устойчивость цилинарической ободочки (осесияметричная задача). Тр. VI Всес. конф. по теории оболочек и пластинок. Баку, 1966.
- Власов В. В. Исследование устойчивости цилиндрических оболочек при осевом сжатин. Прикл. механ., 1971, 18, № 7.
- 3. Вольмир А. С. Устойчипость деформируемых систем. М. «Наука», 1967
- Selde Paul. The Stability under Axial Compression and Lateral Pressure of Circular cylindrical Shells with a Soft Elastic Core. "J. Agreepa e Sci.", 1962, 29, No. 7.
- 5. Yuo J. Buckling of Axially Compressed Long Cylindrical Shells with Elastic Core. "Trans. ASME", 1962, E29, № 2.

VI | XXX, № 2, 1977

Механика

#### Р. М. КИРАКОСЯН

ОБ УСТОЙЧИВОСТИ НЕУПРУГОЙ ПРЯМОУГОЛЬНОЙ ПЛАСТИНКИ, ШАРНИРНО ОПЕРТОЙ ПО ДВУМ ПРОТИВОПО-ЛОЖНЫМ СТОРОНАМ, С УЧЕТОМ ПОПЕРЕЧНЫХ СДВИГОВ

Устойчивости пластинох за пределами упругости материала в различных постановках посвящено много исследований ([1]—[5] и др.).

В настоящей статье на основе системы дифференциальных уравнений устойчивости пеупругих пластинок [9], учитывающих влияние деформаций поперечных сдвигов [6], рассматривается задача устойчивости прямоугольной пластинки, шарнирно опертой по двум противоположным сторонам. Рассматриваются различные варианты краевых услояий на ненагруженных сторонах пластинки. Аналогичная задача для упругих пластинок рассметрена в работе [10].

1. Пусть в прямоугольной пластинке постоянной толщины h, отнесянной к системе декартовых координат x, y, z, равномерным сжатием вдоль оси ох реализовано оезмоментное состояние за пределами упругости митериала

$$\begin{aligned}
\bar{z}_y &= -p, \quad z_y &= z_{xy} &= 0, \quad z_t &= p \\
z_x &= -z_y, \quad z_y &= \frac{e_t}{2}, \quad z_{xy} &= 0
\end{aligned} \tag{1.1}$$

Здесь 5, не и е., е., - компоненты напряжения и деформации, и е. - интенсивности касательных напряжений и деформаций сдвига.

Система дифференциальных уравнений устойчивости рассматриваемой неупругой пластияки при учете влияния поперечных сдвигов [6], в рамках деформационной теории пластичности [1] и применимости гипотезы непрерывного нагружения выпучиваемой пластияки [7], примет следующий вид:

$$\frac{\rho h}{f_2} \frac{\partial^2 w}{\partial x^2} - \frac{\partial \varphi}{\partial x} \frac{\partial \varphi}{\partial y} = 0$$

$$= \frac{\partial^3 w}{\partial x^3} - \frac{\partial^3 w}{\partial x \partial y^2} - \frac{12}{h^3} + \left(\frac{4a_{11}}{a_{22}} \frac{\partial}{\partial x^2} - \frac{\partial}{\partial y^2}\right) + \frac{12}{h^3} + \frac{36}{h^3} + \frac{\partial^2 \psi}{\partial x \partial y}$$

$$= \frac{\partial^3 w}{\partial y^3} - \frac{\partial^3 w}{\partial x^2 \partial y} - \frac{12}{h^3} + \left(\frac{\partial^2 \psi}{\partial x^2} - \frac{\partial^2 \psi}{\partial y^2}\right) + \frac{12}{h^3} + \frac{36}{h^3} + \frac{\partial^2 \psi}{\partial x \partial y} - \frac{\partial^2 \psi}{\partial x \partial y} = 0$$

$$= \frac{\partial^3 w}{\partial y^3} - \frac{\partial^3 w}{\partial x^2 \partial y} - \frac{12}{h^3} + \left(\frac{\partial^2 \psi}{\partial x^2} - \frac{\partial^2 \psi}{\partial y^2}\right) + \frac{12}{h^3} + \frac{\partial^2 \psi}{\partial x^2 \partial y} = 0$$

$$= \frac{\partial^3 w}{\partial y^3} - \frac{\partial^3 w}{\partial x^2 \partial y} - \frac{12}{h^3} + \left(\frac{\partial^2 \psi}{\partial x^2} - \frac{\partial^2 \psi}{\partial y^2}\right) + \frac{12}{h^3} + \frac{\partial^2 \psi}{\partial x^2 \partial y} = 0$$

$$= \frac{\partial^3 w}{\partial y^3} - \frac{\partial^3 w}{\partial x^2 \partial y} - \frac{12}{h^3} + \frac{\partial^2 \psi}{\partial x^2 \partial y} - \frac{\partial^2 \psi}{\partial x^2 \partial y} - \frac{\partial^2 \psi}{\partial x^2 \partial y} + \frac{\partial^2 \psi}{\partial x^2 \partial y} - \frac{$$

$$a_{11} = \frac{4}{9e_i} \left| 3p + \frac{9}{4} e_i^2 \frac{d}{de_i} \left( \frac{\sigma_i}{e_i} \right) \right|$$

$$a_{22} = \frac{4p}{3e_i}, \quad a_{12} = \frac{a_{22}}{2}, \quad a_{33} = \frac{a_{22}}{4}$$
(1.3)

 $\mathbf{z}$  — прогиб пластинки,  $\mathbf{q}$  и  $\mathbf{\psi}$  — функции, характеризующие распределение деформаций поперечных савигов в срединной плоскости пластинки.  $\mathbf{J}_1$  и  $\mathbf{J}_2$  — постоянные, определяемые по выбранному закону изменения этих деформаций по толщине пластинки [6].

Пусть пластинка шарнирно оперта по двум противоположным сторо чам x=0, x=a.

Граничные услояня этих сторон имеют вид

при

$$x = 0, \quad x = a$$
  
 $w = 0, \quad 4 = 0$  (1.4)

$$M_{x} = -\frac{h^{2}}{12}\left(a_{11}\frac{\partial^{2}w}{\partial x^{2}} + \frac{a_{22}}{2}\frac{\partial^{2}w}{\partial y^{2}}\right) + 4\frac{\int_{a_{12}}}{a_{22}}\left(a_{12}\frac{\partial^{2}w}{\partial x} + \frac{a_{22}}{2}\frac{\partial^{2}v}{\partial y}\right) = 0$$

Решение системы (1.2), удовлетворяющее граничным условиям (1.4), ищем в виде [10]

$$w = W(y) \sin \frac{m\pi x}{a}$$

$$\varphi = F(y) \cos \frac{m\pi x}{a}$$

$$\varphi = \Psi(y) \sin \frac{m\pi x}{a}$$
(1.5)

Обычным методом, ясключая из системы (1.2) функции F и  $\Psi$ , предем к следующему уравнению для прогибов:

$$a_{-} \frac{f}{f_{2}} \frac{dW}{dy^{6}} + \left[ -a_{22} + \tau_{1}^{2} \frac{f}{f_{2}} \left( a_{22} - 4a_{11} + \frac{48p}{h^{3}} \frac{f}{f_{2}} \right) \right] \frac{dW}{dy^{4}}$$

$$= \tau_{1}^{2} \left[ 2a_{30} - \frac{60p}{h^{2}} \frac{f_{1}}{f_{2}} + \tau_{2}^{2} \frac{f_{1}}{f_{2}} \right] 5a_{11} - 2a_{22} + \frac{96p}{h^{2}} \frac{f_{1}}{f_{2}} \left( 1 - 2\frac{a_{11}}{a_{22}} \right) \right] \frac{d^{2}W}{dy^{2}} + \left[ 1 + \frac{f_{2}}{f_{2}} \right] \left( \frac{12p}{h^{2}} - a_{11} + \frac{48p}{h^{2}} \frac{f_{1}}{f_{2}} \right) W = 0 \quad (1.6)$$

В случае, когда края пластинки y=0, y=b совершенно свободны, кригическое значение напряжения  $p_0$  определится из условия равенства нулю последнего члена уравнения  $(1.6)^{-1}$ , то есть

Это бледу т из решения устойчивости шариирно опертой бесконечной полосы [9].

$$\rho_0 = \frac{a_{11} \eta^2 h^2}{12 \left( 1 \div 4k \eta^2 \frac{a_{11}}{a_{22}} \right)} \tag{1.7}$$

Естественно, в остальных всех случаях граничных условий на краях y = 0, y = b можно положить

$$p = 2p_0, \quad 2 > 1$$
 (1.8)

Имея в виду (1.8) и то обстоятельство, что в (1.6) И участвует лишь в четных производных, характеристическое уравнение представим в виде

$$Z^3 + a_1 Z^2 - a Z - a_2 = 0 ag{1.9}$$

rae

$$Z = h^{2_{\text{vg}}2} \tag{1.10}$$

$$a_{1} = 10 + 9\left(1 - 4\gamma + \frac{2\alpha_{1}^{2}\gamma}{5 + 2\beta_{1}}\right)$$

$$a_{2} = \beta\left[20 - 25\frac{\alpha_{1}^{3}\gamma}{5 + 2^{2}\gamma} + 3\left|5\gamma - 2 + \frac{4\gamma_{1}}{5}\right|\right]$$

$$a_{3} = \gamma\beta^{3}(\alpha - 1)(\beta + 10)$$

$$\beta = \gamma^{2}h^{2}, \qquad \frac{a_{11}}{a_{2}}$$

$$(1.11)$$

Пользуясь выраженнями (1.1), леско получить интервал изменения

$$\frac{1}{4} < \gamma < 1 \tag{1.12}$$

**Нетрудно заметить.** что при отыскании инжнего критического напряжения, при котором обычно m=1,

$$0 < 3 < 1$$
 (1.13)

Из условня положительности свободного члена в следует, что уравнение (1.9) имеет по крайней мере один отрицательный действительный дорень Z, <0. Согласно обозначению (1.10), этому корию соответствуют фундаментальные решения уравнения (1.6) типа

$$\sin \omega_1 y + \cos \omega_1 y, \quad \omega_1 = h \sqrt{-z_1} \tag{1.14}$$

Вычисления показывают, что минимумы безразмерной функции

$$\Phi(Z) = Z^3 + a_1 Z^2 + a_2 Z + a_3 \tag{1.15}$$

во всех возможных интервалах параметров

$$1 < \alpha \le 10, \quad 0 < \beta < 1, \quad 1/4, \quad \gamma \le 1$$
 (1.16)

отрицательны

$$-187.94 \le \Phi_{-1} \le -33.25$$
 (1.17)

и достигаются при положительных  $z=z_0(z_1,z_2,z_3)$ 

$$Z_0 = \frac{-a_1 - \sqrt{a_1^2 - 3a_2}}{3} > 0 \qquad (5.50 < z_0 < 7.66) \tag{1.18}$$

113 этого следует, что остальные два кория уравнения (1.9), вообще, независимо от степени развития пластического деформирования, являются различными положительными числами.

Фундаментальные решения дифференциального ураниения (1.6), соответствующие положительным кориям Z<sub>1</sub> и Z<sub>1</sub> с учетом (1.10) будут

sh 
$$\omega_2 y$$
, ch  $\omega_2 y$ , sh  $\omega_3 y$ , ch  $\omega_3 y$ 

$$\omega_3 = \frac{1}{h} \sqrt{Z_3}, \qquad \omega_3 = \frac{1}{h} \sqrt{Z_3}$$
(1.19)

Решая уравнение (1.9), для 🐠 получим

$$w_{1} = \frac{1}{h} \left[ 2 \sqrt{-\frac{\xi}{3}} \cos\left(\frac{h}{3} - \frac{\pi}{3}\right) + \frac{a_{1}}{3} \right]^{1/2}$$

$$w_{2} = \frac{1}{h} \left[ 2 \sqrt{-\frac{\xi}{3}} \cos\frac{h}{3} - \frac{a_{1}}{3} \right]^{1/2}$$

$$w_{3} = \frac{1}{h} \left[ -2 \sqrt{-\frac{\xi}{3}} \cos\left(\frac{h}{3} + \frac{\pi}{3}\right) - \frac{a_{1}}{3} \right]^{1/2}$$
(1.20)

$$1 = -rac{a_1^2}{3} + a_2$$
,  $\cos \delta = -rac{q}{2\sqrt{-(\xi/3)^3}}$ ,  $q = 2\left(rac{a_1}{3}
ight)^3 - rac{a_1a_2}{3} + a_3$ 

Общее решение однородного дифференциального уравнения, на основе вышесделанного анализа, представим и виде

$$W(y) = C_1 \sin \omega_1 y + C_2 \cos \omega_1 y + C_2 \sin \omega_2 y + C_3 \sin \omega_1 y + C_4 \sin \omega_2 y + C_4 \sin \omega_2 y$$
(1.21)

где  $C_1$  — произвольные постоянные.

С учетом (121) из (1.8) получим исоднородные дифференциальные ураниения отнесительно Г и Ч. Не вдаваясь в подробности, приводим общие решения этих урашиений 1

$$F(y) = C_1 A_1 \sin w_1 y - C_2 A_1 \cos w_1 y - C_3 A_2 \sin w_2 y - C_4 A_3 \sin w_2 y + C_5 A_3 \sin w_3 y + C_6 A_4 \cos w_3 y - C_4 B_4 \sin w_4 y + C_3 B_2 \sin w_4 y + C_4 B_4 \sin w_4 y + C_4 B_5 \sin w_4 y + C_5 B_4 \sin w_4 y + C_6 B_5 \sin w_4 y + C_6 B_5 \sin w_4 y$$

$$(1.22)$$

Возникающие дополнительные постоянные равны пулю, в чем легко убедиться подстановкой этуменных решений в систему (1.6).

гле приняты обозначения:

$$A_{1} = -\frac{1}{12 J_{1}(\omega_{1}^{2} + \omega_{4}^{2})} \left[ \beta^{3/2} \left( \frac{36p}{h^{2}} k - a_{11} \right) - \eta a_{22} \omega_{1}^{2} h^{3} \right]$$

$$A_{2} = \frac{1}{12 J_{1}(\omega_{2}^{2} - \omega_{4}^{2})} \left[ \beta^{3/2} \left( \frac{36p}{h^{2}} k - a_{11} \right) - \eta a_{22} \omega_{2}^{2} h^{3} \right]$$

$$A_{3} = \frac{1}{12 J_{1}(\omega_{3}^{2} - \omega_{4}^{2})} \left[ \beta^{3/2} \left( \frac{36p}{h^{2}} k - a_{11} \right) - \eta a_{22} \omega_{3}^{2} h^{3} \right]$$

$$B_{1} = -\frac{\eta}{\omega_{1}} \left( A_{1} - \frac{ph\eta}{J_{2}} \right), \qquad B_{2} = \frac{\eta}{\omega_{2}} \left( A_{2} - \frac{ph\eta}{J_{2}} \right)$$

$$B_{3} = \frac{\eta}{\omega_{3}} \left( A_{3} - \frac{ph\eta}{J_{2}} \right), \qquad \omega_{4}^{2} = -3\eta^{2} - 4\eta^{2}\gamma + \frac{1}{k}$$

С учетом (1.5), (1.21) и (1.22) из соответствующих ямражений для изгибающих и крутящих моментов находим

$$M_y = (C_1 M_1 \sin \omega_1 y + C_1 M_1 \cos \omega_1 y + C_2 M_2 \sin \omega_2 y + C_4 M_2 \sin \omega_2 y + C_5 M_3 \sin \omega_3 y + C_6 M_3 \cos \omega_1 y + C_6 M_3 \sin \omega_3 y + C_6 M_4 \sin \omega_1 y + C_5 M_6 \cos \omega_2 y + C_6 M_5 \sin \omega_1 y + C_5 M_6 \cos \omega_2 y + C_6 M_5 \sin \omega_1 y + C_6 M_6 \cos \gamma_1 x, \quad N_2 = J_2 N_6$$

где

$$M_{1} = \frac{a_{e3}h^{3}}{24} (2\omega_{1}^{2} + \cdots - \frac{3}{2} a_{e2}f_{1} \frac{n}{p} (2B_{1}\omega_{1} + \tau_{i}A_{1})$$

$$M_{2} = -\frac{a_{e3}h^{3}}{24} (2\omega_{2}^{2} - \tau_{1}^{2}) + \frac{3}{2} a_{e2}f_{1} \frac{n}{p} (2B_{3}\omega_{1} - \tau_{i}A_{3}) \qquad (1.24)$$

$$H_{1} = -\pi\omega_{1}h^{3} + 18f_{1} \frac{e_{2}}{p} (A_{1}\omega_{1} - \tau_{i}B_{1})$$

$$H_{2} = -\tau_{i}\omega_{2}h^{3} + 18f_{1} \frac{n}{p} (A_{2}\omega_{2} - \tau_{i}B_{2})$$

$$H_{3} = -\tau_{i}\omega_{3}h^{3} + 18f_{1} \frac{e_{i}}{p} (A_{3}\omega_{3} - \tau_{i}B_{3})$$

Имея выражения фундаментальных решений, можно для каждого конкретного случая крепления ненагруженных краев пластинки записать матрицу, собственные числа которой являются критическими значениями сжимающего напряжения.

 В качестие примеров рассмотрим следующие три варианта граничных условий:

3 Известия АН Армянской ССР, Механика, № 2

а) край 
$$y=0$$
 шарнирно оперт ( $w=M_{\pi}=z=0$ )  
а край  $y=b-$  свободен ( $M_{\pi}=z=H=0$ ) (2.1)

б) край y=0 шарнирно оперт, а край y=b жестко заделан

$$(u - z = 0, -\frac{\sigma u}{\sigma u} + \frac{3e_i}{\rho} \frac{h}{2} = 0)$$
 (2.2)

Записывая соответствующие граничные условия для каждого варианта, получим однородную систему шести ураннений относительно шести постоянных интегрирования С. Критические значения напряжения получатоя как собственные числа определители этой системы

В случае в) определитель имеет вид

$$\begin{vmatrix} 0 & 1 & 0 & 1 & 0 & 1 \\ 0 & M_1 & 0 & M_2 & 0 & M_3 \\ 0 & A_1 & 0 & A_2 & 0 & A_4 \\ M_1 \sin \omega_1 b & M_1 \cos \omega_1 b & M_2 \sin \omega_1 b & M_2 \sin \omega_2 b & M_3 \sin \omega_3 b \\ B_1 \cos \omega_1 b & -B_1 \sin \omega_1 b & B_2 \sin \omega_1 b & B_3 \sin \omega_1 b & B_3 \sin \omega_1 b \\ H_1 \cos \omega_2 b & -A_1 \sin \omega_1 b & H_2 \sin \omega_2 b & H_3 \sin \omega_2 b & H_4 \sin \omega_3 b \\ \end{vmatrix} = 0 \quad (2.4)$$

Если везде жесткости поперечных деформации слингов считать бесконечно большими, то получится решение задачи по классической постановке.

В инжеприведенной таблице представлены значения критического напряжения по классической  $(p_{**})$  и уточненной  $(p_{**})$  теориям.

Расчеты проводились для лучая линейного упрочиения материала, когда

$$\frac{J_1}{J_2} = \frac{h^2}{10}, \quad \left[ f(z) = \frac{1}{2} \left( \frac{h^2}{4} - z^2 \right) \right]$$

$$\frac{h}{a} = \frac{1}{5}, \quad i. = \frac{1}{6}, \quad G = 7 \cdot 10^3 \text{ ke/cm}, \quad z_1 = 2 \cdot 10^3 \text{ ke/cm}.$$
(2.5)

Таблица 1

случай а)		случий б)			случая н)			
Р <sub>ка</sub> в 10 ч. см³	$P_{17}$	$\rho_{xy}/\rho_{yy}$	<i>p</i> ,,	$P_{n_1}$	Pan Pyr	$P_{111}$	Per	p., p.,
192.88	123.43	1 56	440.93	264 17	1.67	259.82	134.09	1 91

Как пидно из третьих столонов таблицы, при рассмотренных граничных условиях пластинки учет влияния поперечных сдвигом уменьшает нижние критические нагрузки примерно в полтора- два рязм.

Пиститут мезаники АН Армянский ССР

#### O U HARRIANDSHIE

ծրկու ՀԱՆԴԻՊԱԿԱՑ ԵԶԲԵՐՈՎ ՀՈԳԱԿԱՊՈՐԵՆ ՀԵՆՎԱԾ ՈԶ ԱՌԱԶԳԱԿԱՆ ՈՒՂՂԱՆԿՑԱՆ ՍԱԼԻ ԿԱՅՈՒՆՈՒԹՅԱՆ ԾԱՍԻՆ՝ ԼԱՅՆԱԿԱՆ ՍԱՀՔԵՐԻ ՀԱՇՎԱՌԾԱՄՔ

### Undernid

Ու առածգական սալերի կալունությունը ուսումնասիրելու մամար ստացված դիֆերենդիալ մավասարումների սիստեմի Դիման վրա [9], որը շայվի է առնում լայնական սանթի դեֆորմացիաների ազգեցությունը, դիշտարկվում է երկու մանդիպակաց նգրերով մոցակապորեն մենված ուղղանակուն սայի կայունություն ինդիրը.

<del>Դիտարկվում</del> են տալի չբնոնված կողերի եղրային պայմանների մի թա-<mark>Ֆի տարրերակա</mark>ններ։

ON STABILITY OF NON-ELASTIC RECTANGULAR PLATES HINGE-SUPPORTED ON TWO OPPOSITE SIDES WITH DUE REGARD TO THE EFFECT OF TRANSVERSAL DISPLACEMENTS

#### R. M. KIRAKOSIAN

# Summary

In terms of a system of differential equations of stability of nonelastic plates [9], regarding the effect of transversal deformation displacements the problem of stability of non-elastic rectangular plates hinge-supported on their two opposite sides is considered.

Various cases of boundary conditions on non-loaded sides of the plates are dealt with.

#### ЛИТЕРАТУРА

- 1. Ильющин А. А. Пластичность, М.—Л., Гостехиздат 1946
- 2. Качанов Л. М. Основи теории и частичности. М. Филматгил, 1969.
- 3. Хори М. Устойчивость упруго-пластический конструкций. Механика, № 1. 1965
- 4. Вольмир Л. С. Устойчиность деформируемых систем. М. Филматтия, 1967.
- 5. Амбарцумин С. А. Об устойчивости неупругих иласенном с учетом деформации по перечима сдвогов ПММ .1963, т. XXVII. и. 4
- 6. Амбарцумян С. А. Теория анизотропных пластив М., Физматтиз, 1967.
- Shanley F. R. Inclustic column theory. Journ of the Aeronautical Sciences, 1947,
   XIV. No. S.
- 8. Работнов Ю. И., Шестериков С. А. Устайчивость стержней и пластинок в условиях полаучести ПММ, 1957, т. XXI, в. 3
- Киракосин Р. М. Об устойчивости пластинов за пределами упругости с учетом поперечим сдангов. Иля. АН АрмССР, Механияв, 1974, т. XXVII. № 4.
- Мелконян А. П., Хочогрин. А. А. Об устойнивости примоугольных грансперсальныявотронных или типок. Прикл. механ. АН УССР, 1966, г. П. в. 2.

#### Г. Б. ВЕРМИШЯН, Б. А. МЕАТОНЯН

# КРУЧЕНИЕ ВЯЗКО-УПРУГОГО ПРИЗМАТИЧЕСКОГО ОРТОТРОПНОГО СТЕРЖНЯ ПРИ ДЕЙСТВИИ ВИБРАЦИОННОЙ НАГРУЗКИ

Исследовано кручение ортотропного вязко-упругого призматического стержия некругового сечения при действии вибрационной нагрузки. Прилагаемая нагрузка меняется по гармоническому закону с постоянной амплитудой.

Эта задача для изотронного однородного и составного стержия рассмагриналась в работах [1, 2].

Показано, что составляющие комплексного модуля существенно зависят от частоты колебания и температуры, при этом за счет работы диссипативных сил происходит выделение тепла. Для определения температуры получаются ислинейные дифференциальные уравнения параболического типа, содержащие некоторые функции, которые находят экспериментальных путем.

В предельном стационарном случае вопрос сволится к решению дифференциального уравнения эллинтического типа.

Принято, что на боковои поверхности стержия температура неизменна и равна температуре окружающей среды. Кроме того, предполагается, что температура вдоль оси стержия не изменяется.

1. Рассмотрим кручение ортотропного призматического стержня из яязко-упругого материала, на одном основании которого действуют усилия, меняющиеся по гармоническому закону, статически эквивалентные некоторому крутящему моменту.

Пусть компоненты деформации в поперечном сечении стержия изменяются следующим образом:

$$\frac{1}{1 - x^2} \left( \partial z \, \partial x - y \right) \cos \omega t, \qquad = x^2 \left( \partial z \, \partial y + x \right) \cos \omega t \tag{1.1}$$

Тогда компоненты напряжения будут равны

$$\cos(\omega t - \varphi_1), \quad \tau_{yz} = \cos(-t - \varphi_2) \tag{1.2}$$

Здесь ж — угол закручивания,  $\phi(x, y)$  — некоторая функция, подлежащая определению,  $\phi_1$  и  $\phi_2$  — сдвиг фаз между деформацией и напряжением и друх перпендикулярных направлениях, которые примем за оси координат. В дальнейшем индекс 1 соответствует направлению оси ох. а индекс 2—оси оу. Остальные компоненты деформации и напряжения отсутствуют.

Связь между компонентами напряжения и деформации для орт-тропного вязко-упругого тела возьмем в виде

$$\tau_{xx} = \int_{-\pi}^{t} K_{1}(T, t-z) \gamma_{xx}(z) dz, \quad \tau_{yz} = \int_{-\pi}^{t} K_{2}(T, t-z) \gamma_{xx}(z) dz \quad (1.3)$$

Подставляя значения  $\gamma_{xz}$ , из (1.1) в (1.3) и внодя переменную ниеем

$$z_{xz} = x^{\circ} \left( \frac{\partial \varphi}{\partial x} - y \right) \left\{ \left[ \operatorname{Re} \int_{0}^{\infty} K_{1}(T, \zeta) e^{i\omega \zeta} d\zeta \right] \cos \omega t + \left[ \operatorname{Im} \int_{0}^{\infty} K_{1}(T, \zeta) e^{i\omega \zeta} d\zeta \right] \sin \omega t \right\}$$

$$z_{xz} = x^{\circ} \left( \frac{\partial \varphi}{\partial y} + x \right) \left\{ \left[ \operatorname{Re} \int_{0}^{\infty} K_{2}(T, \zeta) e^{i\omega \zeta} d\zeta \right] \cos \omega t + \left[ \operatorname{Im} \int_{0}^{\infty} K_{2}(T, \zeta) e^{i\omega \zeta} d\zeta \right] \sin \omega t \right\}$$
(1.4)

Введем комплексные модули [3] в двух перпендикулярных направлениях

$$E_{i}(T, \omega) = \int_{0}^{\infty} K_{i}(T, 1) e^{-it} d1 = E_{i}(T, \omega) - iE_{j}(T, \omega) =$$

$$= E_{j}(T, \omega) \cos \varphi, \quad iE_{j}(T, \omega) \sin \varphi, \quad (j = 1, 2)$$

$$(1.5)$$

На (14) и (1.5) получаем

$$= \left[ \frac{\partial x}{\partial x} - y \right] \left[ E_1(T, \omega) \cos \omega t + E_1(T, \omega) \sin \omega t \right]$$

$$= \left[ \left[ \frac{\partial x}{\partial y} - x \right] \left[ E_2(T, \omega) \cos \omega t + E_2(T, \omega) \sin \omega t \right]$$
(1.6)

Устанавливается спязь между амплитудами напряжения и деформации

$$z_{xx}^{0} = z \left( \partial \varphi (\partial x - y) E_{1}(T, \omega), \quad z_{xx}^{0} = z^{2} \left( \partial \varphi / \partial y + x \right) E_{1}(T, \omega) \quad (1.7)$$

В случае относительно небольшого температурного интервала для  $E_I(T, w)$  и  $E_I(T, w)$  можно воспользоваться динейной апроксимацией. При этом  $E_I(T, w)$  можно считать постоянным

$$E'(T, \sigma) = A_{ij} E'(T, \sigma) = B_{ij} + C_{ij}T \quad (j = 1, 2)$$
 (1.8)

Так как обычно  $E_{j}(T, w) \ll E_{j}(T, w)$ , то величиной  $E_{j}(T, w)$  по сравнению с  $E_{j}(T, w)$  можно пренебречь. Из уравнений равновесия и совместности получаем, что искомая функция  $\mathbb{P}(x, y)$  в области S поперечного сечения стержня удовлетворяет уравнению

$$E_1 \frac{\partial}{\partial x^2} + E_2 \frac{\partial}{\partial y^2} = 0 \tag{1.9}$$

а на границе L области S удовлетворяет условию

$$\left(\frac{\partial x}{\partial y} - x\right) E_2 \cos(n, y) + \left(\frac{\partial x}{\partial x} - y\right) E_1 \cos(n, x) = 0$$
 (1.10)

Путем аффинного преобразования области S на S'

$$x - x_1, \quad y = \sqrt{\delta} y_1; \quad \delta = E_{ij} E_1$$
 (1.11)

ураннение (1.9) и граничное условие (1.10) преобразуются соответственил к пиду

$$\frac{\partial^2 \phi^*}{\partial x_1^2} + \frac{\partial^2 \phi^*}{\partial y_1^2} = 0 \text{ na } S^* \qquad (1.12)$$

$$\frac{dz}{dn_1} = \int_{-\pi}^{\pi} [y_1 \cos(n_1, x_1) - x_1 \cos(n_1, y_1)]$$
 Ha  $L$ 

где L' — граница области S',  $n_1$  — внешняя нормаль к L'. Как получено в работе [1], функции  $\varphi^*(x_1, y_1)$  дается по формуле

$$\varphi^* = \text{Re} f(\zeta), \quad f(\zeta) = \frac{1/\zeta}{2\pi} \int_{|\zeta|=1}^{\infty} \frac{-(z)}{|\zeta|} dz, \quad z = e^{i\beta}$$
 (1.13)

на круг  $|\zeta| \le 1$  плоскости  $\zeta = 1$ 

Вычислим момент, действующий на основание стержия

$$M = \iint_{S} (x\tau_{yz} - y\tau_{xz}) \, dxdy =$$

$$= \iint_{S} \left[ x\tau_{yz}^{0} \cos(\omega t - \varphi_{z}) - y\tau_{xz}^{0} \cos(\omega t - \varphi_{1}) \, dxdy \right] =$$

$$= x^{\circ} \iint_{S} \left[ x \left( \frac{\partial \varphi}{\partial y} + x \right) \cos(\omega t - \varphi_{2}) - y \left( \frac{\partial \varphi}{\partial x} - y \right) \cos(\omega t - \varphi_{1}) \, dxdy \right] =$$

$$= x^{\circ} \left\{ \iint_{S} \left[ x \left( \frac{\partial \varphi}{\partial y} + x \right) E_{1}(T, \omega) \cos \varphi_{2} - y \left( \frac{\partial \varphi}{\partial x} - y \right) E_{1}(T, \omega) \cos \varphi_{2} \right] \right\} dxdy =$$

$$= y \left( \frac{\partial \varphi}{\partial x} - y \right) E_{1}(T, \omega) \cos \varphi_{2} \left[ dxdy \right] \cos \omega t +$$

$$+x^{\diamond} \left\{ \iint_{S} \left[ x \left( \frac{\partial \varphi}{\partial y} + x \right) E_{2}(T, \omega) \sin \varphi_{1} - y \left( \frac{\partial \varphi}{\partial x} - y \right) E_{1}(T, \omega) \sin \varphi_{1} \right] dx dy \right\} \sin \omega t =$$

$$=x^{\diamond} \left[ \iint_{S} \left[ x \left( \frac{\partial \varphi}{\partial y} + x \right) E_{2}(T, \omega) - y \left( \frac{\partial \varphi}{\partial x} - y \right) E_{1}(T, \omega) \right] dx dy \right] \cos \omega t +$$

$$+x \left[ \iint_{S} \left[ x \left( \frac{\partial \varphi}{\partial y} - x \right) E_{2}(T, \omega) - y \left( \frac{\partial \varphi}{\partial x} - y \right) E_{1}(T, \omega) \right] dx dy \right] \sin \omega t = M_{0} \cos (\omega t - \varphi_{0})$$

$$-y \left( \frac{\partial \varphi}{\partial x} - y \right) E_{1}(T, \omega) \left[ dx dy \right] \sin \omega t - M_{0} \cos (\omega t - \varphi_{0})$$

$$= -y \left( \frac{\partial \varphi}{\partial x} - y \right) E_{1}(T, \omega) \left[ dx dy \right] \sin \omega t - M_{0} \cos (\omega t - \varphi_{0})$$

$$= -y \left( \frac{\partial \varphi}{\partial x} - y \right) E_{1}(T, \omega) \left[ dx dy \right] \sin \omega t - M_{0} \cos (\omega t - \varphi_{0})$$

$$= -y \left( \frac{\partial \varphi}{\partial x} - y \right) E_{1}(T, \omega) \left[ dx dy \right] \sin \omega t - M_{0} \cos (\omega t - \varphi_{0})$$

$$= -y \left( \frac{\partial \varphi}{\partial x} - y \right) E_{1}(T, \omega) \left[ dx dy \right] \sin \omega t - M_{0} \cos (\omega t - \varphi_{0})$$

$$= -y \left( \frac{\partial \varphi}{\partial x} - y \right) E_{1}(T, \omega) \left[ dx dy \right] \sin \omega t - M_{0} \cos (\omega t - \varphi_{0})$$

$$= -y \left( \frac{\partial \varphi}{\partial x} - y \right) E_{1}(T, \omega) \left[ dx dy \right] \sin \omega t - M_{0} \cos (\omega t - \varphi_{0})$$

$$= -y \left( \frac{\partial \varphi}{\partial x} - y \right) E_{1}(T, \omega) \left[ dx dy \right] \sin \omega t - M_{0} \cos (\omega t - \varphi_{0})$$

$$= -y \left( \frac{\partial \varphi}{\partial x} - y \right) E_{1}(T, \omega) \left[ dx dy \right] \sin \omega t - M_{0} \cos (\omega t - \varphi_{0})$$

$$= -y \left( \frac{\partial \varphi}{\partial x} - y \right) E_{1}(T, \omega) \left[ dx dy \right] \sin \omega t - M_{0} \cos (\omega t - \varphi_{0})$$

где  $M_{
m o}$  — амплитуда момента  $M_{
m o}$  — соответствующий сдвиг фаз. На основании этого получаем

$$M_{0} = x^{\circ} \left\{ \left| \iint_{S} \left( x \left( \frac{\partial \varphi}{\partial y} + x \right) E_{2}(T, \omega) - y \left( \frac{\partial \varphi}{\partial x} - y \right) E_{1}(T, \omega) \right) dx dy \right|^{2} + \left| \iint_{S} \left( x \left( \frac{\partial \varphi}{\partial y} + x \right) E_{2}(T, \omega) - y \left( \frac{\partial \varphi}{\partial x} - y \right) E_{1}(T, \omega) \right) dx dy \right|^{2} \right\}^{1/2}$$
(1.15)

11з (1.15) получаем

$$x^{-2} = M_0^2/Q \tag{1.16}$$

rae

$$Q = \left\{ \iint_{S} \left[ x \left( \frac{\partial \varphi}{\partial y} + x \right) E_{2}(T, w) - y \left( \frac{\partial \varphi}{\partial x} - y \right) E_{1}(T, w) \right] dx dy \right\}^{2} + \left\{ \iint_{S} \left[ x \left( \frac{\partial \varphi}{\partial y} + x \right) E_{2}(T, w) - y \left( \frac{\partial \varphi}{\partial x} - y \right) E_{1}(T, w) \right] dx dy \right\}^{2}$$
(1.17)

Учитыная (1.11) и переходя к наоскости 🗀 : — іт, получаем

$$\begin{aligned}
& = \left\{ \delta \iint_{\mathbb{R}^{2} \times \mathbb{R}^{2}} \left[ V_{\lambda}^{2} \left[ \omega_{1}(\zeta) \right]^{2} \left[ \omega_{1}^{2}(\zeta) \right]^{2} - \operatorname{Im}\left(\omega_{1}(\zeta) \overline{\omega_{2}(\zeta)} f'(\zeta)\right) \right] E_{1}\left(T, \omega\right) d\xi d\tau_{1} \right] + \\
& + \left\{ \iint_{\mathbb{R}^{2} \times \mathbb{R}^{2} \times \mathbb{R}^{2}} \left[ V_{\lambda}^{2} \left[ \omega_{1}(\zeta) \right]^{2} \left[ \left( \operatorname{Re} \omega_{1}(\zeta) \right)^{2} \frac{E_{1}\left(T, \omega\right)}{E_{2}\left(T, \omega\right)} - \left( \operatorname{Im} \omega_{1}(\zeta) \right)^{2} \frac{E_{1}\left(T, \omega\right)}{E_{1}\left(T, \omega\right)} \right] - \\
& - \frac{1}{2} \left( \frac{E_{2}\left(T, \omega\right)}{E_{2}\left(T, \omega\right)} + \frac{E_{1}\left(T, \omega\right)}{E_{1}\left(T, \omega\right)} \right) \operatorname{Im}\left(\omega_{1}(\zeta) \overline{\omega_{1}(\zeta)} f'(\zeta)\right) \left[ E_{2}\left(T, \omega\right) d\xi d\tau_{1} \right] (1.18)
\end{aligned}$$

где  $\omega_1$  (1) — отображающая функция области S' на единичный круг  $\mathbb{Q}[S]$  (1) определяется по формуле (1.13).

Работа, совершаемая при вязко-упругой деформации, будет равна [1]

$$W = \pi x^{o_2} \left[ \left( \frac{\partial \varphi}{\partial x} - y \right)^2 \tilde{E_1} (T, \omega) + \left( \frac{\partial \varphi}{\partial y} + x \right)^2 \tilde{E_2} (T, \omega) \right]$$
 (1.19)

откуда на основании (1.11) и (1.16) после перехода к плоскости z=z+r, будем иметь

$$W = \frac{\pi M_0^2 E_1(T_{\bullet, m})}{Q|_{m_1(\xi_1)}^4} \left[ [\text{Re } \Phi(\xi)]^2 \frac{E_1(T_{\bullet, m})}{E_1(T_{\bullet, m})} + [\text{Im } \Phi(\xi)]^2 \frac{E_2(T_{\bullet, m})}{E_2(T_{\bullet, m})} \right]$$
(1.20)

nge

$$\Phi\left(\zeta\right) = f'\left(\zeta\right) \overline{\omega_{1}'(\zeta)} - i V \overline{\delta_{2}} \overline{\omega_{1}(\zeta)} \left| \omega_{1}'(\zeta) \right|^{2}$$

$$(1.21)$$

Интенсивность выделения тепла совершаемой работы за один цика при деформации вязко-упругого тела будет

$$q = \frac{2\omega_0 k M_0^2 E_1(T, \omega)}{2Q(\omega_1(\zeta))^4} \left\{ [\text{Re } \Phi(\zeta)]^2 \frac{E_1(T, \omega)}{E_1(T, \omega)} + [\text{Im } \Phi(\zeta)]^2 \frac{E_2(T, \omega)}{E_2(T, \omega)} \right\}$$
(1.22)

Здесь k — величина, обратная механическому эквиваленту тепла,  $\lambda$  — коэффициент, равный доле механической работы, переходищей в тепло. Для установления максимального нагрева будем полагать этот коэффициент постоянным и равным единице. Функция  $\Phi(\xi)$  дается по формуле (1.21).

Для стационарного случая уравнение теплопроводности в области S принимает следующий вид:

$$\frac{\partial^2 T}{\partial x^2} + \frac{a}{a_1} \frac{\partial^4 T}{\partial y^2} + \frac{q(x, y, T)}{a_1 c_1} = 0 \tag{1.23}$$

где  $a_1$  и  $a_2$  — коэффициенты температуропроводности в лиух перпендикулярных направлениях, которые можно считать независящими от изменения температуры, с — теплоемкость, q — интенсивность выделения тепла.

Граничные условия для температуры 7 (х, у) таковы:

$$T = T_0 \quad \text{iii} \quad I. \tag{1.24}$$

го есть температура на боковой поверхности стержня равна гемпература окружающей среды.

Принята, что

$$a_n/a_1 = E_2/E_1 \tag{1.25}$$

то ссть отношение коэффициентов температуропроводности в двух направлениях рапно отношению модулей накопления в соответствующих направлениях

Если учесть это предположение, принять во вниманию формулы (1.11). (1.22) и перейти к плоскости  $\zeta = \xi + i\eta$ , уравнение теплопроводности (1.23) примет следующий вид:

$$\frac{\partial T}{\partial z} + \frac{\partial^{2} T}{\partial z^{2}} - \frac{\partial E_{1} \left( T^{\alpha}, \omega \right)}{Q} \left[ \left[ \operatorname{Re} \Phi \left( \zeta \right) \right]^{2} \frac{E_{1} \left( T^{\alpha}, \omega \right)}{E^{2} \left( T^{\alpha}, \omega \right)} \right]$$

$$+ \left[ \operatorname{Im} \Phi \left( \zeta \right) \right]^{2} \frac{E_{2} \left( T^{\alpha}, \omega \right)}{E_{2} \left( T^{\alpha}, \omega \right)} = 0$$

$$(1.26)$$

при граничном условии

$$T^* = T_0$$
 на окружности  $|\xi| = 1$  (1.28)

Используя (1.8) и вводя повую переменную

$$u(\xi, x) = T^*(\xi, x) - T_0$$
 (1.29)

вз (1.26) получаем

$$\frac{\partial^2 u}{\partial \xi^2} - \frac{\partial^2 u}{\partial \eta^2} + f_0(\xi, \eta) u = -F_0(\xi, \eta) \tag{1.30}$$

при граничном условии

$$u = 0$$
 на окружности  $|\cdot| = 1$  (1.31)

Злесь

$$f_{\nu}(\varsigma, -) = \frac{nA}{Q(m_1(\varsigma))^2} \left\{ |\text{Re} \, \Phi(\varsigma)|^2 \, \frac{C_1}{A_1} - [\text{Im} \, \Phi(\varsigma)]^2 \, \frac{C_2}{A_2} \right\}$$
(1.32)

$$F_0(\xi, \eta) = \frac{||A_1||}{|Q||\omega_1(\xi)|^2} \left\{ ||\text{Re}\,\Phi(\xi)||^2 \frac{B_1 - C_1 T_n}{A_1} - ||\text{Im}\,\Phi(\xi)||^2 \frac{B_2 - C_2 T_n}{A_2} \right\}$$

Уравнение (1.30) при граничном условии (1.31) встречалось при решенич вадачи для изотропного вязко-упругого стержия [1] с той разницей, что функции  $f_a(z, \eta)$  и  $F_a(z, \eta)$  в данном случае имеют более сложный вид.

Ищем решение уравнения (1.30) при граничном условии (1.31) в виде

$$u(\xi, \eta) = \iint_{\mathbb{R}^{d-1}} G(\xi, \eta; x, y) \, \eta_0(x, y) \, dxdy \tag{1.33}$$

гле  $G(\xi,\eta;x,y)$  — функция Грина уравнения Лапласа для круга  $|\xi| < 1$ , а  $\mu_*(x,y)$  — произвольная неизвестная функция, непрерывная и имеющая непрерывные произволные в круге.

После подстановки (1.33) в (1.30) для нахождения р<sub>о</sub>(х, у) получаемнитегральное уравиение Фредгольма второго рода

$$\mu_0(x, y) = F_0(x, y) + 1 \int K_0(x, y; x, y) \, \mu_0(x, y) \, dx dy \qquad (1.34)$$

FAC

$$K_0(x, y; s, \eta) = f_0(x, y) G(x, y; s, \eta)$$
 (1.35)

Легко показать, что интеграл

$$\iint_{|z| \le 1} \iint_{|z| \le 1} |K_{\theta}(x_{\theta}, y; \xi, \gamma_{\theta})|^{2} d\xi d\gamma_{\theta} dx dy < C < 4$$
 (1.36)

Для этого оценим данный интеграл

$$\iint_{|z|=1}^{\infty} \iint_{|z|=1}^{\infty} |K_{0}(x, y; z, \eta)| dz dz dx dy =$$

$$= \iint_{|z|=1}^{\infty} |f_{0}(x, y)| dx dy \iint_{|z|=1}^{\infty} |G(x, y; z, \eta)|^{2} dz dy =$$

$$\leq N^{2} \iint_{|z|=1}^{\infty} dy \iint_{|z|=1}^{\infty} |G(x, y; z, \eta)|^{2} dz dy =$$

$$\frac{N^{2}}{16\pi^{2}} \iint_{0}^{2\pi i} \rho d\rho d\vartheta \iint_{0}^{2\pi i} \left[ \ln \frac{1-2 p_{0} \cos (\vartheta - \vartheta_{0})}{p_{0} \cos (\vartheta - \vartheta_{0})} + p_{0} d\varphi_{0} d\vartheta_{0} \right] (1.37)$$

Оценим внутренний интеграл

$$\int_{1/0}^{2\pi} |\ln|1 - 2\phi_0 \cos(\theta - \theta_0) + \rho^2 c_0^2| - \ln|\rho^2 - 2\phi_0 \cos(\theta - \theta_0) - 1|^2 d\phi_0 d\theta_0$$

$$= \sum_{n=1}^{2\pi} \frac{\rho^2}{n(n+1)(n+2)} + 4\pi \sum_{n=1}^{2\pi} \frac{\rho^{2n+2}}{n(n+1)(n+2)} - 3 = (1.38)$$

Подставляя (1.37) в (1.36), получаем

$$\iint_{|\xi| \le 1} \iint_{|\xi| \le 1} |K_0(x, y; \xi, \eta)|^2 d\xi d\eta dx dy < \frac{N^2}{8} \left(\frac{\pi^4}{45} + \frac{17}{24}\right)$$
(1.39)

где N — верхняя грань функций  $f_0(x, y)$ .

2. Для решення интегрального уравнения (1.34) его ядро заменим вырожденным. Разложим ядро в двойной ряд Фурье по ортонормированным системам функций

$$\{\varphi_k(x, y), \Psi_k(x, \eta)\}\ (k, m = 1, 2,...)$$
 (2.1)

в виде

$$K_0(x, y; z, \eta) = \sum_{k_i = m-1} A_{k_i = 0}(x, y) \varphi_m(z, \eta)$$
 (2.2)

Для коэффициентов А. получаем следующее выражения:

$$A_{km} = \iint \iint \int K_0(x, y; \hat{\tau}, \gamma) \, \hat{\tau}_k(x, y) \, dxdy \, \left[ \Phi_m(\hat{\tau}, \gamma) \, d\hat{\tau}d\tau \right]$$
 (2.3)

После несложных преобразований интегральное уравнение принимает вид

$$\mu_0(x, y) = \sum_{k, m=1}^{\infty} A_{km} \varphi_k(x, y) \prod_{k=1}^{\infty} \varphi_m(x, y) = F_0(x, y) \text{ (2.4)}$$

Как известно [4], решение интегрального уравнения с вырожденным ядром можно свести к решению линейной системы алгебранческих уравнении.

После некоторых пычислений получаем [1]

$$\rho_0(x, y) = F_n(x, y) + \sum_{k=1}^N \left[ \sum_{m=1}^N X_m A_{km} \right] \varphi_m(x, y)$$
(2.5)

где постоянные  $X_{\kappa_0}$  определяются на линейных систем алгебранческих уравнений

$$X_m - \sum_{k=0}^{N} A_{mk} X_k = F_m \quad (m = 1, 2,...)$$
 (2.6)

ГДе

$$F_m = \int_{|x|=1}^{\infty} (x, y) \, \varphi_m(x, y) \, dxdy \qquad (2.7)$$

Подставляя полученное значение для  $\mu_{\theta}(x, y)$  из (2.5) п (1.33) и учитывая (1.29), находим решение задачи в следующей форме:

$$T^*(\xi_0, \tau_{i0}) = T_0 \qquad \bigcap_{i=1}^N Y_i \bigcap_{i=1}^N G(\xi_0, \tau_{i0}; \xi, \tau_i) \, d\xi d\tau_i + \sum_{k=1}^N Y_k \bigcap_{i=1}^N G(\xi_0, \tau_{i0}; \xi, \tau_i) \, \varphi_k(\xi, \tau_i) \, d\xi d\tau_i$$

$$(2.8)$$

$$Y_k = \sum_{m=1}^{N} X_m A_{km} \tag{2.9}$$

3. В качестве примера рассмотрим стержень, область S поперечного сечения которого ограничена эпитрохоидным овалом, параметрическое ураинение которого имеет вид

$$x = R\left(\cos \theta - \frac{\pi}{3}\cos 3\theta\right), \quad y = 1 - R\left(\sin \theta + \frac{\pi}{3}\sin 3\theta\right) \quad (3.1)$$

$$R > 0; \quad \theta < z < 1$$

После аффиниого преобразования (1.11) области S на  $S^*$  (3.1) преобразуется к виду

$$x_1 = R\left(\cos \theta + \frac{\pi}{3}\cos 3\theta\right), \quad y_1 = R\left(\sin \theta + \frac{\pi}{3}\sin 3\theta\right)$$
 (3.2)

Отображающая функции области S плоскости  $z_1 = x_1 + iy_1$ , ограниченной овалом (3.2), на единичный круг плоскости  $z_1 = z_1 + iy_1$  имеет вид

$$z_1 = w_1(\zeta) = R\left(\zeta + \frac{z}{3}\zeta^2\right)$$
 (3.3)

Тогда  $f_0$  ( $\varepsilon$ ,  $\tau$ ) и  $F_0$  ( $\varepsilon$ ,  $\tau$ ) в полярной системе координат даются в виде

$$F(x, y) = \frac{yA_{+}R^{4}}{2Q} \left[ \frac{4\alpha^{2} (g_{1} - g_{2}) (2\pi\rho^{4} + \gamma^{2} + \alpha^{2}\rho^{6} \cos 2\theta)}{1 + 2\pi\rho^{2} \cos 2\theta + \alpha^{2}\rho^{4}} + \Psi_{0}(\rho) + \frac{4}{2} (\rho) \cos 2\theta + \Psi_{1}(\rho) \cos 4\theta + \Psi_{2}(\rho) \cos 6\theta + \Psi_{3}(\rho) \cos 8\theta \right] + \frac{\mu A_{2}R^{4}}{2Q} \left[ \frac{4\pi^{2} (r_{1} - r_{2}) (2\pi\rho^{4} + \rho^{2} - \alpha^{2}\rho^{6} \cos 2\theta)}{1 - 2\pi\rho^{2} \cos 2\theta + \alpha^{2}\rho^{4}} + \frac{\mu A_{2}R^{4}}{2Q} + \frac{4\pi^{2} (r_{1} - r_{2}) (2\pi\rho^{4} + \rho^{2} - \alpha^{2}\rho^{6} \cos 2\theta)}{1 - 2\pi\rho^{2} \cos 2\theta + \alpha^{2}\rho^{4}} + \frac{\mu A_{2}R^{4}}{2Q} \right] + \frac{4\pi^{2} (r_{1} - r_{2}) (2\pi\rho^{4} + \rho^{2} - \alpha^{2}\rho^{6} \cos 2\theta)}{1 - 2\pi\rho^{2} \cos 2\theta + \alpha^{2}\rho^{4}}$$

$$+ \frac{\mu A_{2}R^{4}}{2Q} \left[ \frac{4\pi^{2} (r_{1} - r_{2}) (2\pi\rho^{4} + \rho^{2} - \alpha^{2}\rho^{6} \cos 2\theta)}{1 - 2\pi\rho^{2} \cos 2\theta + \alpha^{2}\rho^{4}} \right]$$

$$+ \frac{\mu A_{2}R^{4}}{2Q} \left[ \frac{4\pi^{2} (r_{1} - r_{2}) (2\pi\rho^{4} + \rho^{2} - \alpha^{2}\rho^{6} \cos 2\theta)}{1 - 2\pi\rho^{2} \cos 2\theta + \alpha^{2}\rho^{4}} \right]$$

$$+ \frac{\mu A_{2}R^{4}}{2Q} \left[ \frac{4\pi^{2} (r_{1} - r_{2}) (2\pi\rho^{4} + \rho^{2} - \alpha^{2}\rho^{6} \cos 2\theta)}{1 - 2\pi\rho^{2} \cos 2\theta + \alpha^{2}\rho^{4}} \right]$$

$$+ \frac{\mu A_{2}R^{4}}{2Q} \left[ \frac{4\pi^{2} (r_{1} - r_{2}) (2\pi\rho^{4} + \rho^{2} - \alpha^{2}\rho^{6} \cos 2\theta)}{1 - 2\pi\rho^{2} \cos 2\theta + \alpha^{2}\rho^{4}} \right]$$

$$+ \frac{\mu A_{2}R^{4}}{2Q} \left[ \frac{4\pi^{2} (r_{1} - r_{2}) (2\pi\rho^{4} + \rho^{2} - \alpha^{2}\rho^{6} \cos 2\theta)}{1 - 2\pi\rho^{6} \cos 2\theta} \right]$$

$$+ \frac{\mu A_{2}R^{4}}{2Q} \left[ \frac{4\pi^{2} (r_{1} - r_{2}) \cos 4\theta - \frac{4\pi^{2} (r_{1} - r_{2}) \cos 6\theta}{1 - 2\pi\rho^{6} \cos 2\theta} \right]$$

$$+ \frac{\mu A_{2}R^{4}}{2Q} \left[ \frac{4\pi^{2} (r_{1} - r_{2}) \cos 4\theta - \frac{4\pi^{2} (r_{1} - r_{2}) \cos 6\theta}{1 - 2\pi\rho^{6} \cos 2\theta} \right]$$

где

$$\begin{split} \Psi_{0}(\mathbf{p}) &= C_{1}A_{1}, \quad g_{1} = (B_{1} + C_{1}T_{3}) A_{1}, \quad g_{2} = (B_{2} - C_{2}T_{3}) A_{2} \quad (3.5) \\ \Psi_{0}(\mathbf{p}) &= (g_{1} + g_{2}) \left[ \left( 1 + \frac{4x^{2}}{9} \right) x^{2} - \frac{4x^{2}}{3} x^{2} + \frac{16x^{2}}{9} x^{3} + \frac{x^{4}}{9} x^{10} \right] - \\ &= x \left( g_{1} - g_{2} \right) \left( \frac{4}{3} x^{2} - y^{2} \right) \\ \Psi_{2}(\mathbf{p}) &= - \left( g_{1} + g_{2} \right) \left( 3y^{2} - 6y^{4} + x^{2}y^{6} - 2x^{2}y^{8} \right) \frac{4x^{2}}{9} + \\ &= \left( g_{1} - g_{2} \right) \left( y^{2} - \frac{16x^{2}}{9} x^{4} + \frac{5x^{2}}{3} x^{4} \right) \\ \Psi_{4}(\mathbf{p}) &= \frac{\pi p^{4}}{9} \left[ 2x \left( g_{1} + g_{2} \right) \left( 3p^{2} - 2 \right) + \left( g_{1} - g_{2} \right) \left( 15 - 4x^{2} + 7x^{2}y^{4} \right) \right] \end{split}$$

$$\Psi_{s}(\rho) = \frac{\pi^{2}\rho}{2} (g_{1} - g_{2}) (7 + x^{2}\rho^{4}); \qquad \Psi_{s}(\rho) = \frac{\pi^{4}}{2} (g_{1})$$
(3.6)

 $\lambda_1(\rho)$  получается из  $\Psi_1(\rho)$  при замене g и g соответственно на  $\lambda_1$  и  $\lambda_2$ .

Ортонормированную систему функций (2.1) возьмем и виде

$$\frac{2(k+1)}{\pi} \gamma^{k} \cos k \vartheta, \qquad \frac{2(m-1)}{\pi} \gamma^{m} \cos m \vartheta_{0} \qquad (3.7)$$

$$(k, m = 1, 2,...)$$

Согласно формуле (2.3) для коэффициентов Фурье получается вы-

$$A = \frac{pR^{4}\sqrt{m+1}}{2-Q(\sqrt{k+1})} \left| \frac{1}{9} (i_{1} - i_{2}) \right| \frac{9 + 4i^{2}}{(2k+4)(2k+6)} - \frac{12i^{2}}{(2k+6)(2k+8)} + \frac{16i^{2}}{(2k+8)(2k+10)} - \frac{2^{4}}{(2k+12)(2k+14)} \right|$$

$$= \frac{3}{3} (i_{1} - i_{2}) \left| \frac{4}{(2k+4)(2k+6)} - \frac{3}{(2k+6)(2k+8)} \right|$$

$$= \frac{6}{(2k+2)(2k+4)} - \frac{6i^{2}}{(2k-6)(2k+8)} \left| \frac{4i^{6}}{(p+8)(p+6)(p+8)} \right|$$

$$= \frac{6}{(2k+2)(2k+4)} - \frac{6i^{2}}{(2k-6)(2k+8)} \left| \frac{4i^{6}}{(p+8)(p+10)(p+12)} \right|$$

$$= \frac{1}{9} (i_{1} - i_{2}) \left| \frac{3p}{(p+4)(p+6)} - \frac{16i^{2}}{(p+6)(p+8)} \right|$$

$$= \frac{15i^{2}}{(p+8)(p+10)} \left| \frac{3i^{2}}{(p+6)(p+8)} - \frac{2i^{2}}{(p+6)(p+8)(p+10)} \right|$$

$$= \frac{7}{(p+10)(p+12)} \left| \frac{15}{(p+6)(p+8)} - \frac{4i^{2}}{(p+8)(p+10)} \right|$$

$$= \frac{7}{(p+12)(p+14)} \left| \frac{3i^{6}}{(p+6)(p+10)(p+12)} - \frac{7}{(p+10)(p+12)} \right| \frac{7}{(p+8)(p+10)}$$

$$= \frac{3}{(p+12)(p+14)} \left| \frac{3i^{6}}{(p+6)(p+10)(p+12)} - \frac{3i^{6}}{(p+6)(p+10)(p+12)} \right| \frac{7}{(p+10)(p+12)} \right|$$

$$= \frac{3}{(p+12)(p+14)} \left| \frac{3i^{6}}{(p+6)(p+10)(p+12)} - \frac{3i^{6}}{(p+6)(p+10)(p+12)} \right| \frac{7}{(p+12)(p+14)} \right| \frac{3i^{6}}{(p+6)(p+10)(p+12)} - \frac{3i^{6}}{(p+6)(p+10)(p+12)} \right|$$

$$= \frac{3}{(p+12)(p+14)} \left| \frac{3i^{6}}{(p+6)(p+12)(p+12)(p+12)} - \frac{3i^{6}}{(p+6)(p+12)(p+12)(p+12)} \right| \frac{3i^{6}}{(p+6)(p+12)(p+12)} - \frac{3i^{6}}{(p+6)(p+12)(p+12)(p+12)} \right|$$

$$= \frac{16i^{2}}{(2k+12)(2k+14)} - \frac{3i^{6}}{(2k+6)(2k+14)($$

TAC

для краткости обозначено  $\rho = k + m$ .

После некоторых вычислений находим из (2.8) решение в следующей форме:

$$T^*(p, 0) = T_0 + \Phi_a(p, 0) + \frac{\sqrt{2}(1-p^2)}{4V^2} \sum_{s=1}^{N} \frac{Y_s}{V + 1} p^s \cos k\theta$$
 (3.10)

rac

$$Y_{k} = \sum_{i=1}^{N} A_{i} X_{in}$$

$$\Phi_{6}(\gamma, i) = \frac{nA_{2}R^{4}}{2Q} \left\{ \frac{4\tau^{2}}{9} \left( 1 - x_{i} \right) \left[ \frac{\tau(1-\gamma)}{36} - \frac{1}{36} \sum_{k=1}^{2^{2k}\gamma^{2k}} \frac{\cos 2kn}{k+1} \left[ \frac{1-\rho^{2k-2}}{3k+1} - \frac{\sigma^{2}(1-\rho^{2k-6})}{3k+9} \right] \right] +$$

$$= \left( (1+\gamma) \left[ \left( \frac{1}{4} + \frac{2\sigma^{2}}{27} + \frac{\sigma^{2}}{324} \right) - \left( 1 + \frac{4\sigma^{2}}{9} \right) \frac{\sigma^{2}}{4} + \frac{4\sigma^{2}\rho^{6}}{27} - \frac{\sigma^{2}}{9} - \frac{\sigma^{2}\rho^{6}}{36} \right] -$$

$$- \frac{\sigma^{2}\rho^{4}}{324} + \frac{4\sigma^{2}}{3} \cos 2il \left[ \frac{1}{180} - \frac{1}{12} - \frac{\rho}{3} - \frac{\sigma^{2}}{4} + \frac{\sigma^{2}\rho^{6}}{45} - \frac{\sigma^{2}\rho^{6}}{36} \right] -$$

$$- \frac{\sigma^{2}\rho^{4}}{9} \cos 4il \right] + \frac{AR^{2}(x_{1}-x_{1})}{18Q} \left[ 3\pi \left[ \frac{1-\rho^{2}}{12} - \frac{1-\rho^{2}}{4} \right] + \right] +$$

$$+ \frac{\sigma}{4} \cos 2il \left[ (1-\gamma) \left( \frac{3\sigma^{2}}{2} - 2\pi^{2} + \frac{3\sigma^{2}\rho^{6}}{2} \right) + \right] +$$

$$+ \frac{\sigma}{4} \cos 2il \left[ (1-\gamma) \left( \frac{3\sigma^{2}}{2} - 2\pi^{2} + \frac{3\sigma^{2}\rho^{6}}{2} \right) + \right] +$$

$$- \frac{3\sigma^{2}}{2} \left( 1 - \rho^{2} \right) - 4\sigma^{2} \left( 1 - \rho^{2} \right) + \frac{2\sigma^{2}}{3} \left( 1 - \rho^{2} \right) + \frac{2\sigma^{2}\rho^{6}}{3} \right] +$$

$$+ \frac{15}{2} \left( 1 - \rho^{2} \right) - \frac{\pi}{2} \left( 1 - \rho^{2} \right) + \frac{\pi^{2}\rho^{6}}{6} \left( 1 - \rho^{2} \right) + \frac{\pi^{2}\rho^{6}}{12} \cos 6il \left[ (1-\rho^{2}) - \frac{\sigma^{2}\rho^{6}}{12} \right] +$$

$$+ \frac{\sigma^{2}\rho^{6}}{18} + \frac{7}{2} \left( 1 - \rho^{2} \right) + \frac{\pi^{2}\rho^{6}}{6} \left( 1 - \rho^{2} \right) - \frac{1}{18} \left( 1 - \rho^{2} \right) \right] +$$

$$+ \frac{\sigma^{3}\rho^{6}}{18} \left[ \cos 8il \left[ \frac{1}{2} \left( 1 - \rho^{2} \right) + \frac{\pi^{2}\rho^{6}}{18} \left( 1 - \rho^{2} \right) - \frac{1}{18} \left( 1 - \rho^{2} \right) \right] \right]$$

$$+ \frac{\sigma^{3}\rho^{6}}{18} \left[ \cos 8il \left[ \frac{1}{2} \left( 1 - \rho^{2} \right) + \frac{\pi^{2}\rho^{6}}{18} \left( 1 - \rho^{2} \right) - \frac{1}{18} \left( 1 - \rho^{2} \right) \right] \right]$$

$$+ \frac{\sigma^{3}\rho^{6}}{18} \left[ \cos 8il \left[ \frac{1}{2} \left( 1 - \rho^{2} \right) + \frac{\pi^{2}\rho^{6}}{18} \left( 1 - \rho^{2} \right) - \frac{1}{18} \left( 1 - \rho^{2} \right) \right] \right]$$

$$+ \frac{\sigma^{3}\rho^{6}}{18} \left[ \cos 8il \left[ \frac{1}{2} \left( 1 - \rho^{2} \right) + \frac{\pi^{2}\rho^{6}}{18} \left( 1 - \rho^{2} \right) - \frac{1}{18} \left( 1 - \rho^{2} \right) \right] \right]$$

$$+ \frac{\sigma^{3}\rho^{6}}{18} \left[ \frac{1}{2} \left( 1 - \rho^{2} \right) + \frac{\pi^{2}\rho^{6}}{18} \left( 1 - \rho^{2} \right) - \frac{1}{18} \left( 1 - \rho^{2} \right) \right]$$

$$+ \frac{\sigma^{3}\rho^{6}}{18} \left[ \frac{1}{2} \left( 1 - \rho^{2} \right) + \frac{\sigma^{2}\rho^{6}}{18} \left( 1 - \rho^{2} \right) \right]$$

$$+ \frac{\sigma^{3}\rho^{6}}{18} \left[ \frac{1}{2} \left( 1 - \rho^{2} \right) + \frac{\sigma^{2}\rho^{6}}{18} \left( 1 - \rho^{2} \right) \right]$$

$$+ \frac{\sigma^{3}\rho^{6}}{18} \left[ \frac{1}{2} \left( 1 - \rho^{2} \right) +$$

Постоянные  $X_m$  определяются из уравнения (2.6), где  $F_m$  даются в видс

$$F_{\pm} = \frac{1 - 6\pi \alpha \mu A_{x} R^{4}}{2Q} \left[ \frac{1}{2} (x_{1} + x_{2}) \left( 1 - \frac{4x^{2}}{15} \right) - \frac{1}{6} \left( \frac{1}{18} - \frac{x^{2}}{3} + \frac{x^{2}}{4} \right) \right]$$

$$F_{8} = \frac{1}{2Q} \frac{10\pi\alpha^{2}\mu A_{2}R^{4}}{90} \left[ \frac{\alpha(\iota_{1} - \lambda_{2})}{90} + (\iota_{1} - \iota_{2}) \left( \frac{3}{2} + \frac{\alpha^{2}}{6} - \frac{2\alpha^{5}}{11} + \frac{2\alpha^{10}}{13} \right) \right]$$

$$F_{6} = \frac{1}{2Q} \frac{14\pi\alpha^{4}\mu A_{2}R^{4}}{2Q} (\iota_{1} - \lambda_{2}) \left( \frac{1}{18} - \frac{\alpha^{2}}{162} - \frac{\alpha^{11}}{8} + \frac{\alpha^{13}}{9} \right)$$

$$F_{8} = \frac{1}{2Q} \frac{18\pi\alpha^{4}\mu A_{2}R^{4}}{2Q} (\iota_{1} - \iota_{2}) \left( \frac{1}{162} - \frac{2\alpha^{14}}{21} + \frac{2\alpha^{16}}{23} \right)$$
(3.13)

$$F_{-} = -\frac{2|A_{-}R^{\epsilon_{0} + \alpha + 2}}{Q} \sqrt{2\pi (m+1)} \left(\epsilon_{1} - \epsilon_{2}\right) \left(\frac{1}{5m+2} - \frac{\pi^{2}}{5m+6}\right) (3.14)$$

$$(m \neq 2, 4, 6, 8)$$

Подставляя из (3.10) в (1.18), получаем урапнение для нахождения нараметра Q.

Температуру на оси стержия, то ести при  $\rho = 0$ , обозначим через  $T_1$ . Тогда из (3.10) и (3.12) получаем

$$T_1 = T_0 + \frac{\mu A_2 R^4}{2Q} \left[ (g_1 + g_2) \left( \frac{1}{4} - \frac{2\tau^2}{27} + \frac{\tau^4}{324} \right) + (g_1 - g_2) \frac{\tau (2\tau^2 - 9)}{162} \right]$$
(3.15)

Подставлял (3.15) в (1.18), после вычисления получаем уравнение для вахождения Q в виде

$$Q = 4\pi^2 \delta R^8 A^2 (l^2 - 3^2), \quad \mathbf{x}^2 = M + \pi^2 \delta R A_1 (l^2 - 3^2)$$
 (3.16)

где

$$I = \frac{1}{4} + \frac{x^7}{9} + \frac{x^4}{108}$$
(3.17)

$$\beta = \frac{1}{2} \left[ (g_1 + g_2) + (\iota_1 + \iota_2) T_1 \right] + \frac{\alpha}{12} \left[ (g_1 - g_2) + (\iota_1 - \iota_2) T_1 \right]$$
(3.18)

 $\beta$  выражается через испансствую ведичину  $T_0$ . Для нахождения  $\beta$  на (3.15) и (3.18) получаем следующее уравнение:

$$3^3 - b_1^{(3)} + l^2 \beta - b_2 = 0 ag{3.19}$$

File

$$b_{1} = \frac{l}{2} \left[ (g_{1} - g_{2}) + (\iota_{1} - \iota_{2}) T_{0} \right] - \frac{1}{12} \left[ (g_{1} - g_{2}) + (\iota_{1} - \iota_{2}) T_{0} \right]$$

$$b_{2} = b_{1} l^{2} - \frac{\iota_{1} A_{2}}{8\pi \dot{c} A_{1}^{2} R^{4}} \left[ \frac{l}{2} (\iota_{1} + \iota_{2}) + \frac{\alpha}{12} (\iota_{1} - \iota_{2}) \right] \left[ (g_{1} - g_{2}) \left[ \frac{1}{4} + \frac{2\alpha^{2}}{27} - \frac{\alpha^{4}}{324} + \frac{\alpha + 2\pi - 9}{162} (g_{1} - g_{2}) \right] (3.20)$$

Решая уравнение (3.19) и подставляя значение  $\beta$  в (3.16), получаем Q. Используя (3.18), находим  $T_{\rm p}$ , то есть температуру на оси стержия. Из (3.15), (3.16) в (3.18) можно получить

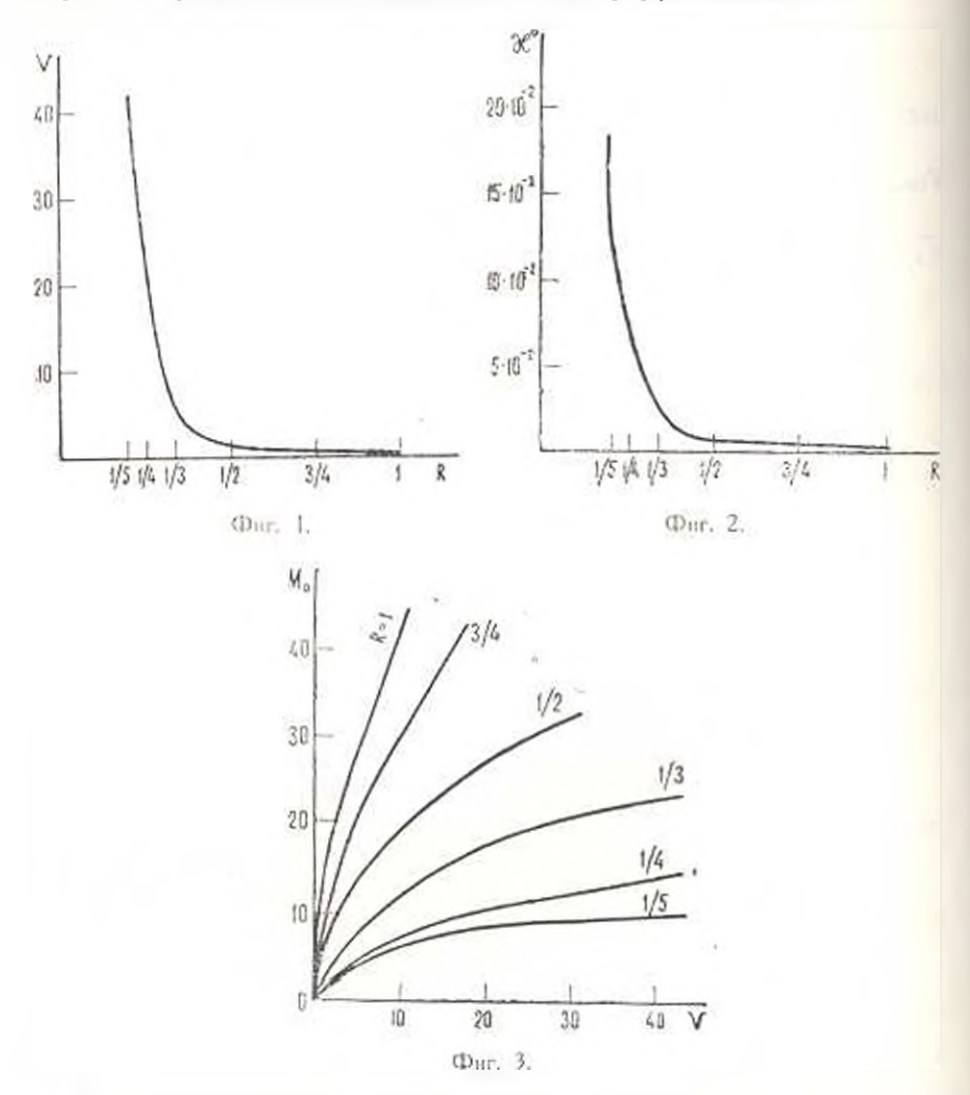
$$M_0 = H \left[ v \left[ l^2 + (b_1 + b_2 v)^2 \right] \right] \tag{3.21}$$

$$H = \left[ \frac{16\pi^{4} a_{1}c_{1}A_{1}R^{4}}{\hbar\omega k^{2}a_{2}A_{2}} \right]^{\frac{1}{2}}, \quad z_{1} = \frac{l}{2}(l_{1} + l_{2}) + \frac{z}{12}(l_{3} - l_{2})$$

$$= (g_{1} + g_{2})\left(\frac{1}{4} + \frac{2z^{2}}{27} + \frac{z^{4}}{324}\right) + (g_{1} - g_{2})\frac{z(2z^{2} - 9)}{162}$$
(3.22)

Здесь v=T ,— $T_{\circ}$  — перепад температуры,  $M_{\circ}$ —амилитуда момента  $M_{\circ}$ 

Заметим, что в полученном решении, если принять  $|E_1| = |E_2|$ , получается решение для изотропного вязко-упругого стержия.



На основании формул (3.15)—(3.18) и (3.21) построен график. На фиг. 1 показано соотношение между перепадом температур v и величиной R, входящей в уравнение овала, на фиг. 2— связь между углом закручивания v и пеличиной R, на фиг. 3— соотношение между амплитудой момента и перепадом температур.

Ниже даны значения  $T_+$  и  $\kappa^0$  в зависимости от R. При этом использозаны данные, соответствующие одному из видов полиэтилена [5]

$$A_1 = 2A_1$$
,  $B_2 = 2B_1$ ,  $C_2 = 2C_1$ ,  $A_2 = 3.4 \cdot 10^4$  ke/cm<sup>2</sup>,  $B_2 = 3.87 \cdot 10^2$  ke/cm<sup>2</sup>.  $C_2 = 3.87$  ke cm<sup>2</sup> tpa<sub>A</sub>,  $k = 0.000234$  kkaa kem, a  $c_1 = 0.28$  kkaa muac tpa<sub>A</sub>.

$$m = 100 \text{ ig}, T_0 = 20^\circ, M_0 = 10 \left[ \frac{\pi}{\epsilon M^*} \right] c_M, x = 0.25, y = 2$$

$$R = 1$$
 3/4 1/2 1/3 1/4 1/5  
 $T_1 = 20.0782$  20.2471 21.2512 26.3342 40.0192 68.8750  
 $T_2 = 2.6 \cdot 10^{-4}$  8.22 \cdot 10^{-4} 4.16 \cdot 10^{-3} 2.106 \cdot 10^{-2} 6.656 \cdot 10^{-2} 16.25 \cdot 10^{-3}

Из полученных результатов можно сделать следующие выводы.

Если полученное решение для ортотропного стержня сравнить с решением для изотропного стержия, можно заметить, что в решение для ортотропного стержня входит слагаемое, появляющееся за счет анизотропии. Если  $|E_1| = |E_2|$ , то температура в стержне больше, чем при

Ергванский политехнический виститут им. К. Маркса

Поступида 22 IV 1970

B. F. COPPEGBRO, P. U. HOLSONSHILL

# ՄԱԾՈՒՑԻԿ ԱՌԱԶԳԱԿԱՆ ՕՐԹՈՏՐՈՊ ՊՐԻԶՄԱՏԻԿ ՁՈՂԻ ՈԼՈՐՈՒՄԸ ՎԵՐՐԱՑԵՈՆ ՈՒԺԵ ԱԶԳԵՑՈՒԹՅԱՆ ՏԱԿ

### U. of the order of

Դի<mark>տարկվա</mark>ծ է մածուցիկ-առաձդական օրքոտրոպ ու կլոր կարվածրով պրիզմ<mark>ատիկ ձոզի ոլորու</mark>մը վիբրացիոն ուժի աղդեցության տակ։ Աղդող բե որ փոխվում է հասատառն ամպլիտուղալով, քարմոնիկ օրենրով։

Կոմպլնըս մոդուլի բաղադրի երբ էապես կախված են տասանման հա <mark>Հախականություն</mark>ից և ջնրմաստիճանից, որի հետևանքով դիսսիպատիվ ուժեր<mark>ի աշխատանքի</mark> շնորհիվ տեղի է ունենում ջերմության անջատում։

Դիտարկված է ջերմաստիճանի բաշխումը սահմանային ստադիոնար դեպրում։

Ընդունված է, որ ձողի կողմնույին մակնրևույիի վրա ջնրմաստիճանը անփոփոխ է և հավասար է միջավայրի ջնրմաստիճանին։ Բացի այդ, ընդունված է, որ ձողի առանցրի նրկայնթով ջերմաստիճանը չի փոխվում։

# ON TWISTING OF AN ORTHOTPOPIC VISCOUS-ELASTIC PRISMATIC ROD UNDER VIBRATIONAL LOAD

### G. B. VERMISHIAN, B. A. MELTONIAN

# Summary

The twisting of an orthotropic viscous-elastic prismatic rod of non-circular cross-section under vibrational load has been studied. The applied load changes according to the harmonic law with a constant amplitude. The components of the complex modulus essentially depend on the frequency of vibration and temperature, with heat being evolved due to dissipative forces. The distribution of temperature in boundary stationary case has been considered. The temperature on the boundary surface of the rod has been taken invariable and equal to the ambient temperature. Besides, the temperature along the rod's axis is assumed to be invariable.

### JHTEPATYPA

- 1. Вермиция Г. В., Голья Л. 1. Кручение вялке упругося призматического стержия при денетани выбрационной нагружии Ила. АН СССР, М.Г., 1972, № 5.
- Г. Б. Крумение визко-упружен с зависта призматического стержия под хенствием вибрационной озгрузки Изв. АН АрмССР. Механика, 1974. т. XXVII. № 1
- Гилин Л. Л. О день вин виорационной изгрузки на полимерные материалы. Изв. АН СССР, Механька 1965. № 6.
- 4 Михлин С. Г. Ачелин по динейным нитегральным уравнениям. М., Филматена, 1959.
- Голиц Л. Лириев Н. П. Изгиб балок из полимерного материала под действим вибрационной мегрузки. Ним. ж. МТТ, 1968, № 4.

**Մեխանիկա** 

XXX, As 2, 1977

Механика

### A. M. CHMOHЯFI

# ИССЛЕДОВАНИЕ ТРЕТЬЕЙ СТАДИИ ВЫСОКОТЕМПЕРАТУР-НОЙ ПОЛЗУЧЕСТИ ХРОМО-НИКЕЛЕВОЙ СТАЛИ ПРИ МНОГО-СТУПЕНЧАТЫХ ИЗМЕНЕНИЯХ ТЕМПЕРАТУРЫ

Детали машии и энергетических установок, эксплуатируемых в условиях высоких температур, обычно находятся в нестационарном тепловом поле. Вследствие этого попрос прогнозирования ползучести при нестационарных температурных режимах на основе аппроксимаций ползучести при строго постоянных температурах имеет актуальность.

В ряде экспериментальных исследований [1-4 и др.] показано, что факт циклических теплосмен приводит к ускоренной полэучести. Однако, п работе [5] показано, что для слабо упрочияющихся материалов уравнение теории течения дает вполне удовлетворительное предсказание ползучес и ири нестационарных температурных режимах и, следовательно, теплосмены не приводят к ускорению полеучести. Аналогичное утверждение делдется и в работе [6], где показано, что скорость установиншейся ползучести че зависит от истории изменения напряжения и температуры. В работе [7] было показано, что в случае очень медлениых изменений температуры гонкостенных образцов колебания температуры не вызывают ускоренной ползучести, иследствие чего делается вывод, что причиной ускоренной ползучести при теплосменах является возникновение температурных напряжений. Итак, вероятно, можно считать, что в первых двух стадиях ползучести температурные колебания при незначительных возникающих гемпературных напряжениях не должны приводеть к ускоренным деформациям ползучести.

Настоящая работа посвящена исследованию полаучести стали X18H10T при многоступенчатых изменениях температуры в третьей стадин, то есть в условнях, когда ускоренная полаучесть имеет место и без колебаний температуры.

# 1. О методике экспериментальных исследований

Испытания проводились на цилиндрических образцах с днаметром 8 мм из стали X18Н10Т. Образцы вытачивались при яспрерывной подаче масла на обрабстываемую поверхность, что препятствовало возникновению местных температурных градиентов и остаточных напряжений. Эксперименты были проведены при температурах в диапазоне 680—720 С, при этом явление окалинообразования не учитывалось, так как, согласно [8], окалинообразование образцов из стали X18Н10Т с диаметром 8 мм может привести лишь к 0.06% уменьшения первоначальной площади поперечного сечения образцов.

Температура измерялась в непосредственной близости от поверхности образца и регулировалась путем периодического включения и выключения нагревательных устройств и печи, при этом имели место колебания от  $\pm 2$  С с пернодом около 2 мин. «Ступенчатое» изменение температуры одуществлялось с максимальной скоростью  $\sim 4$  мин. Как известио [9], температурное поле T(r,t) в длинном цилиндре с радпусом R при начальной постоянной температуре  $T_0$  и при заданной скорости к изменения температуры поверхности определяется по формуле

$$T(r, t) = T_0 - k \left( t + \frac{R - r^2}{4r} \right) = \frac{2k}{n} \sum_{n=1}^{\infty} e^{-\frac{r^2}{2R} \left( \frac{r}{R} z_n \right)}$$
(1.1)

где х- коэффициент тепловой диффузии,  $J_i$  и  $J_i$ —функции Бесселя первого рода нулевого и первого порядков. — положительные кории грансценденного уравнения I — 0. При установившемся тепловом потоке имеет место

$$T(r, t) = T_0 + k \left(t + \frac{r^2}{4r^2}\right)$$
 (1.2)

Принимая, что в процессе изменения температуры действует упругый закон, получим следующее выражение для температурных папряжений

$$z_{T} = \frac{1}{8\pi} \left( R^{2} - 2r^{2} \right) \tag{1.3}$$

что для стали X18Н10Т при дакных E (700°) = 1.5·10° кг см. R = 4 см, r (700° C) = 18.6·10  $\frac{1}{r_0 a_A}$  r 4  $\frac{r_0 a_A}{mun}$  r = 0.654  $\frac{r_0 r_0^2}{c_B r_0^2}$  дле r =  $r_0 r$  = 92 кг/см°, r =  $r_0 r$  = 0) = 92 кг/см°. Это пременьые значения температурных напряжений, которые могли возникнуть в образце лишь в течение 5 10 мин при изменении температуры и на порядок меньше прилагаемых к образцу растягивающих напряжений. Отметим, что при мгновенном изменении температуры поверхности на 20° С температурные напряжения могли достигнуть значения r = 20° С r = 560 кг/см°.

Таким образом, при увеличении скорости изменения температуры в температурные напряжения, пропорционально зависящие от k, могут оказаться существенными и, кроме того, согласно принципу Онзагера [11], скорость изменения температуры влияет на реологические свойства материалов.

Поскольку, как показано в [10], основной причиной разброса экспериментальных данных является неточность гемпературы проведения эксперимента, температура у каждого испытуемого образца контролировалась с помощью одного и того же милливольтметра с учетом поправок на термонары.

# 2. О теоретических предпосылках

Как показано в работе [12], деформации ползучести  $\varepsilon_c(t)$  стали X18H1OT при постоянных напряжении и температуре аппроксимируются уравнением

$$z_e(t) = \beta(1 - e^{-\gamma t}) + zt + z_{tt}(t)$$
 (2.1)

тде первый член (β — ползучесть) представляет собой затухающие деформации ползучести, частично обратимые при разгрузке, α! — деформации ползучести с постоянной скоростью. -и (!) — деформации ползучести разгрузке скоростью, являющиеся причиной возникновения третьей стадии ползучести. В работе [13] показано, что и случае уменьшения гемпературы β-ползучесть не является обратимой и было предложено ураквение, учитывающее «замораживание» этой доли ползучести при уменьшении температуры, вырождающееся при отсутствии уменьшения температуры в обычное наследственное уравнение с экспоненциальным ядром. В условиях проведенных в настоящей работе экспериментов β-ползучесть бы да незначительной и завершалась уже в начальной стадии эксперимента, что облегчало ее учет. Скорость устанозившейся ползучести во второй стадии, аналогично [6], принята зависящей лишь от действующего напряжения об), независимо от истории нагружения. Деформации с возрастающей скоростью ви (!), как показано в [12, 14], аппроксимируются пыражением скоростью ви (!), как показано в [12, 14], аппроксимируются пыражением

$$z_{\text{III}}(t) = F(s, T) t^3$$
  
 $F(s, 700 \text{ C}) = kz^{13.3}$  (2.2)

Исследования деформации -- пп (1) при 700°С и при одноступенчатых возрастаниях и убываниях во времени напряжений [14], а также при перавномерно-циклических приложениях напряжения, чередующихся с полнои разгрузкой [12], и при неравномерно-циклических ступенчато-изменяющихся напряжениях [15] показали, что пыражение (2.2) для случая переменных напряжении может быть обобщено в виде

$$\varepsilon_{\text{III}}(t) = 3k \int_{0}^{t} \varepsilon(\tau) \left[ \int_{0}^{t} \sigma'(\tau) d\tau \right]^{2} d\tau \qquad (2.3)$$

тде  $\lambda = 10$ , v = 165. Легко видеть, что при  $\lambda - v = 4.4(3)$  выражение (2.3) является обобщением (2.2) согласно гипотезе урапнения состояния [16]. Существенным здесь является вытехающий из (2.3) и экспериментально подтвержденный в [12] факт о том, что при действии искоторого постоянного напряжения, чередующегося с полной разгрузкой (отдыхом), деформации  $\frac{1}{2}$  (п (до  $\frac{1}{2} - \frac{1}{2} - \frac{1}{2} - \frac{1}{2}$ ) определялись лишь продолжительностью нахождения образца под нагрузкой независимо от наличия, продолжительности отдыхов и равкомерности циклов. Следует отметить, однако, что отсюда нельзя делать вывод о независимости долгопечности стали от наличия отдыхов, поскольку, как показано и [17], нагружение, чередующееся с разгрузкой для той же стали лишь при несколько более низких температурах

сокращает срок службы, то есть, вообще говоря, достигнутые деформации ползучести не определяют однозначно вопрос о разрушении.

Для обобщения (2.2) на случай переменных температур, в случае подобия кривых ползучести  $s_{\rm HI}(t)$ , естественным представляется операции, использованные в (2.3), применить не только к  $s_{\rm HI}(t)$  но и вообще к функции  $F(\sigma,T)$ ; при этом получим

$$s_{\rm BH}(t) = 3 \int_{0}^{t} F^{\frac{1}{1+2\epsilon}} \left[ z(z), T(z) \right] \left\{ \int_{0}^{t} F^{\frac{1}{1+2\epsilon}} \left[ z(\xi), T(\xi) \right] d\xi \right\}^{2} dz \qquad (2.4)$$

# 3. Обсуждение экспериментальных данных

Эксперименты были проведены при напряжении 9.3 кг/мм при 700 С и 720 С, при напряжении 11.15 кг/мм при 680°С и 700 С, при напряжении 9.3 кг/мм и согласно двум различным программам исравномерно-циклических ступенчатых изменений температуры от 700°С до 720 С и обратно, а также при напряжении 11.15 кг/мм согласно двум программам жеравномерно-циклических изменений температуры от 680°С до 700°С и обратно. Продолжительность цикла изменялась и процессе опыта в пределах от 24 до 96 мас. На основе 4—17 испытаний для каждой пары постоянных  $\sigma$  и T получены пижеследующие значения  $F(\sigma,T)$ :

$$F(9.3 \text{ KIMM}^{-}, 700 \text{ C}) = \exp(-23.553) \text{ uac}^{-1}$$

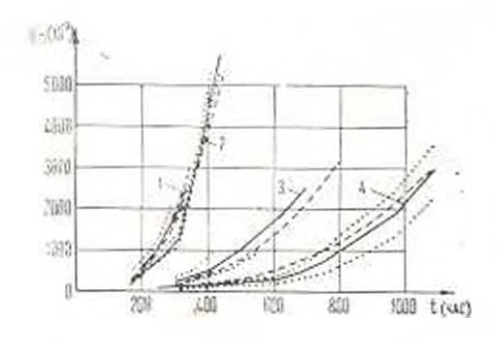
$$F(9.3 \text{ KIMM}^{-}, 720 \text{ C}) = \exp(-21.258) \text{ uac}^{-1}$$

$$F(11.15 \text{ KIMM}^{-}, 680 \text{ C}) = \exp(-24.465) \text{ uac}^{-3}$$

$$F(11.15 \text{ KIMM}^{-}, 700 \text{ C}) = \exp(-21.132) \text{ uac}^{-1}$$

$$(3.1)$$

На фиг. 1 принедены усредненные экспериментальные кривые (сплошные линии) и теоретические кривые (штриховые линии), подсчитанные поформуле (2.2) при значениях (3.1); пунктирными линиями ограничены областа нахождения соответствующего математического ожидания с определенной вероятностью (0.9 для кривых 1 и 3, 0.683 для кривых 2 и 4).



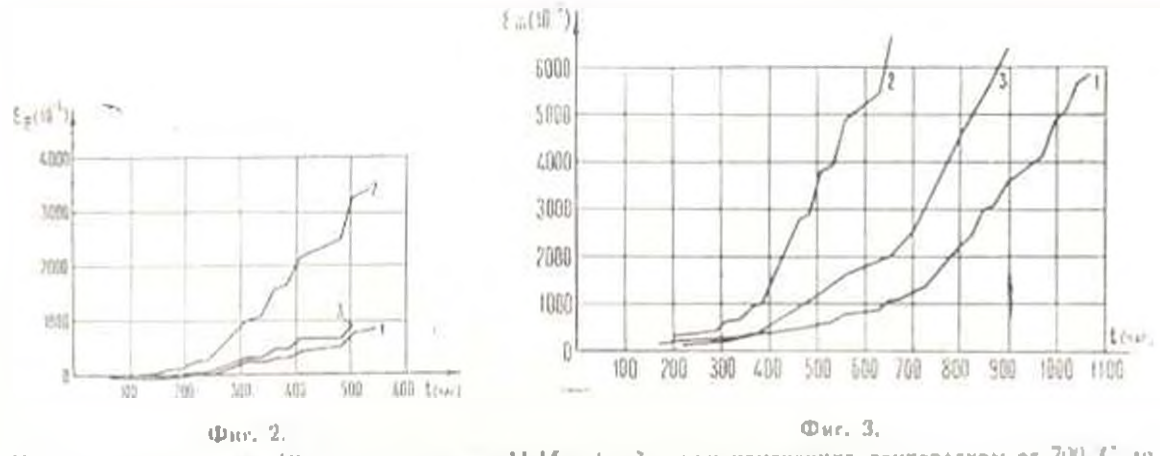
Фиг. 1. Крима — сучеста 1) при з 14.15 кг мыс. Т 705 °C

2) npz = 9.3 kt sest, T=720 °C

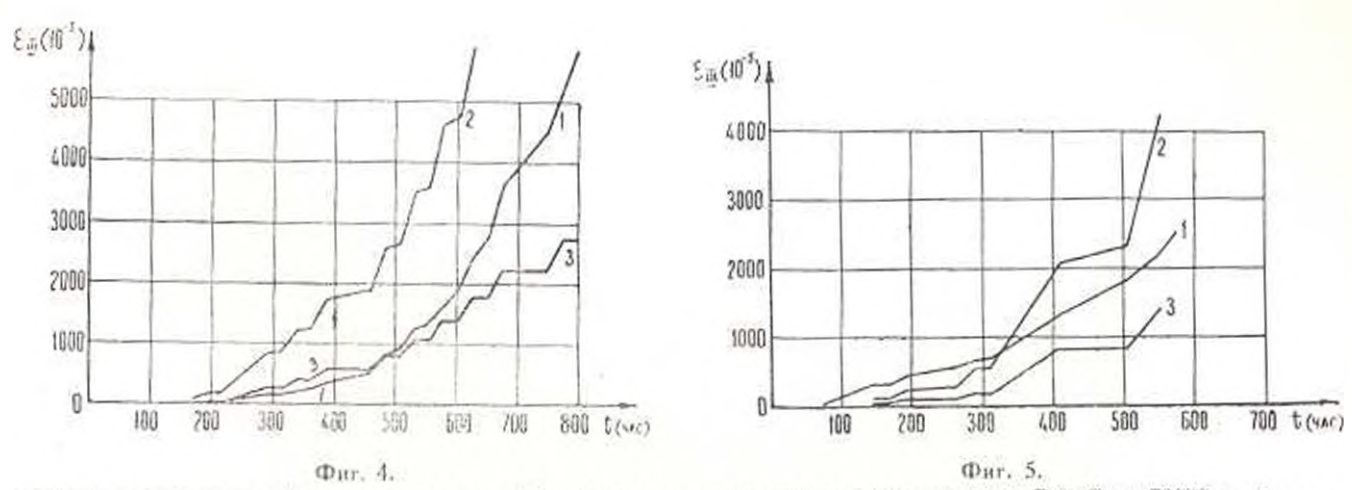
3) при == 9.3 кв. м.н. Т 700 °С

4) npe = 11.15 m/m = T 680 C

На фиг. 2-5 приясдены экспериментальные кривые (1) деформаций  $\varepsilon_{\rm III}(t)$  при многоступенчатых изменениях температуры, а также теоретические кривые (2), построенные согласно (2.4). Легко видеть, что во всех



Кривые получести  $_{\rm HI}$  (t) при попряжении 11.15  $\kappa i/\omega \omega^2$  и при изменениих температуры от 700 С до 680 С и обратно.



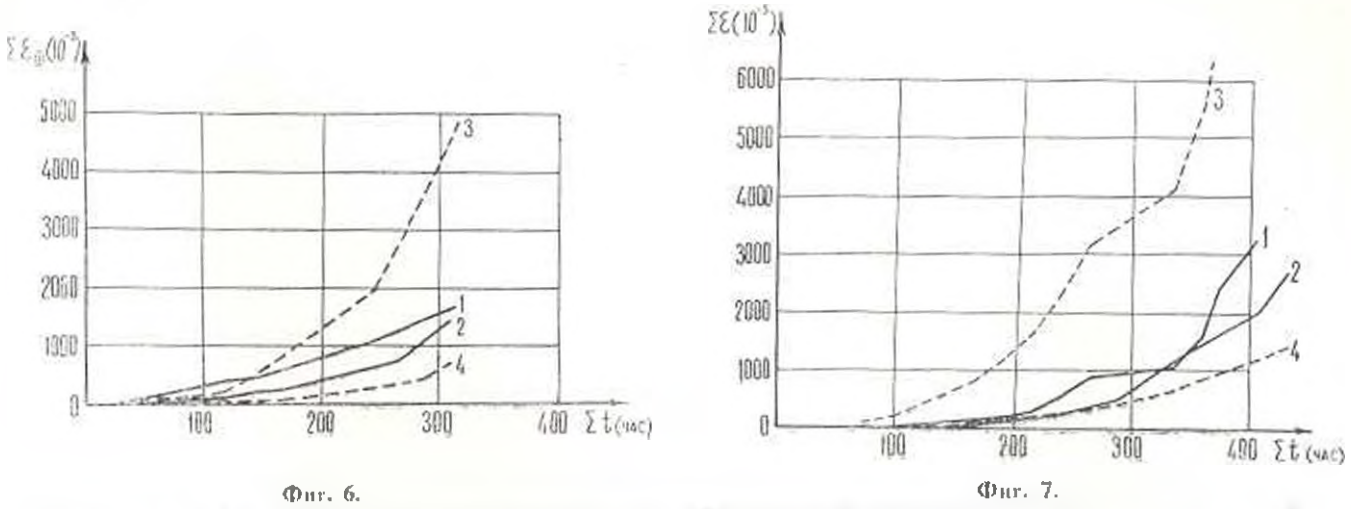
Крилью полнучести  $\varepsilon_{111}(t)$  при напряжении 9.3  $\kappa i/\kappa \kappa^2$  и при изменениях температуры от 700 °C до 720°C и обратио.

рассмотренных случаях уравнение (2.4) предсказывает более интенсивную ползучесть, чем наблюдается в действительности, и, следовательно, в известной мере, межно гарантировать, что время достижения некоторой деформации ползучести будет не меньше предсказанной уравнением (2.4). Пересечение усредненной кривой (1) с осью 1, имеющее место на фиг. 2, взначает тот факт, что в данном случае колебания температуры привели к екоростям ползучести даже меньшим установившихся. Линиями (3) на фиг. 2—5 показаны теоретические кривые эпі (1), построенные при пренебрежении ползучестью на ступенях меньшей температуры и при пренефрежении влияннем ее на последующие деформации эпі, что, как показано [12], соответствует замене ползучести на ступенях меньшей температуры полной разгрузкой.

Легко видеть, что при пренебрежении ползучестью на ступенях меньшей температуры приходим к более точному описанию экспериментальных данных. Отсюда естественным было бы предположить, что при многоступенчатых изменениях температуры следует определять общую продолжительность нахождения образца на ступенях более высокой температуры ( $\Sigma t_{2i-41}$ ) и затем соответствующую деформацию ползучести брать из кривон и ( $\Sigma t_{2i-41}$ ) при этой постоянной температуре Однако, как будет показано ниже, такое предположение неверию.

На фиг. 6 и 7 приведены экспериментальные и построенные согласно (2.4) теоретические крипые в координатных осях  $-\frac{1}{12}$  (доля деформации ин, накопленияя при 720 С и при  $\sigma=9.3$  кг/мм ) — . (общая продолжительность нахождения образца при 720 С и  $\sigma=9.3$  кг/мм, а также в координатных осях  $-\frac{1}{2}i=-l_{20}$  то есть в соответствующих координатах при 700°С и  $\sigma=9.3$  кг/мм для двух программ многоступенчатого изменения температуры. На сравнения хривых можно заключить, что доли деформации, нахапливаемые в образце на ступенях T=700°С, отнюдь не являются пренебрежамо малыми в сравнении с деформациями, накапливаемыми при 720 С, несмотря на то, что в условиях постоянных температур (фиг. 1) деформации гли при 720 С существенно велики в сравнении с деформациями полаучести  $\frac{1}{2}$  при 700°С. При этом (фиг. 6, 7) деформации ползучести при 700°С п чли в два раза преносходят подсчитанные по формуле (2.4), а при 720°С, наоборот, эначительно мельше теоретических.

Таким образом, в условиях постоянных напряжений деформации ползучести в третьей стадии при низких температурах упрочияют материах
сточки арения сопротивляемости ползучести при более высоких темпераразупрочняют материал с точки зрения сопротивляемости ползучести пок
более низких температурах. Необходимо отметить, что этот выпод касается лишь деформаций с возрастающей скоростью, соответствующих третьей
стадии ползучести, а для ползучести в первых двух стадиях, как показано,
чапример, [13], имеет место противоположный эффект, а именно,
уменьщении температуры деформации ползучести почти останаяливаются
и затем, ускорыясь, протекают со скоростью, меньшей соотпетствующей
скорости на второй стадии ползучести, что, в известной мере, аналогичн



Сравнение доден деформаций т<sub>ПР</sub> наконленных при диннай гемпоратуре и условиях ос ступсичатых измонении. 1 и 2 - акспериментильные, 3 и 4 — теорезические кривые соответствении при 720 °С и при 700 °С.

жикубационном периоду, наблюдавшемуся при частичных разгрузках [18, 19].

Рассмотрим эти эффекты, исходя из физических представлении. Как указано в работе [16, стр. 224], скорость ползучести может быть определени как функция текущих напряжения и температуры, а также некоторых величии, определяющих структуру материала в текущии момент, и числе которых, несомнению, являются плотность линенных дислокации и плотность препятствующих их движению закреплений в пиде границ зереш пересечения дислокации или точечных дефектов (янедренные или инородные атомы на поперхности движения дислокаций и т. д.).

В первой стадии ползучести накопление препятствии, сопропождающее деформации ползучести, оказывается более эффективным, чем размиожение самих дислокаций иричем этот процесс тем интенсивнее, чем инше температура. Вследствие атого при понижении температуры и процессе опыта от вначения T— то  $T_+(T_+>T_+)$  структура материала, образованшаяся во время ползучести при  $T_+$  оказывается более жесткой, чем та, котора и могла образоваться по премя ползучести при  $T_+$  чем и определяется замелление ползучести и первой стадии при уменьшении температуры.

В третьей стадии ползучести и местах скопления дислокаций концентрируются вакансии [21], ослабляющие границы зерен и способствующие трещинообразованию. Этот процесс диффундирования препятствий, способствующий более интенсивному движению и размножению дислокации, естественно, протекает тем интенсивнее, чем выше температура. Таким образом, ползучесть и третьей стадии при высокой температуре должна раздирочнять материал с точки зрения сопротивляемости ползучести больше, чем при относичельно инэкой, что и было здесь получено экспериментально. Отметим, что эта интерпретация вполне увязывается с экспериментальным результатом о повышении долговечности кристалла с увеличением размера зерка [17] и с тезисом Бейли, указывающим, что длительное разрушение, сопровождающееся продолжительной третьей стадией ползучести, происходит между зернами кристалла [22, стр. 265].

### 4 Основные выволы

- 1. В третвей стадии высокотемпературной ползучести хромо-никелевой стали теплосмены, сопровождающиеся возникиовением незначительных температурных напряжений, в процессе испытания не прияодят к дополнительному росту скорости ползучести.
- 2. Основное операторное уравнение полаучести, хорошо описывающее деформации полаучести при переменных напряжениях, предсказывает более интенсивный роз полаучести в третьей стадии, чем это имеет место и действительности
- 3. Деформации полаучести и третьей стадин при относительно инаких температурах являются более благоприятными с точки арения последую-

<sup>\*)</sup> Как или стро [20] хинениес дисхонации способил не прациченно размиользанси с помощью, напрамер, негочиная Франки-Рида

щей сопротивляемости материала ползучести, чем аналогичные деформации при относительно высоких температурах.

Институт механики АН Армянской ССР

Поступила 3 VI 1976

#### IL Մ. ՍԻՄՈՆՅԱՆ

## Undernid

Գիտարկվում ( XI8HIOT պողպատի սողջը ջերմաստինանային փոփոխունլունների և անփոփոխ լարումների ազդեցության դեպքում։

Յույց է արված, որ հրրորդ փուլում համեմատարար ցածր չերմաստիչաններում առաջացած սողբի դեփորմացիաները ավելի են բարձրացնում նյունի դիմադրողականունյունը քան Ոհ համեմատաբար բարձր չերմաստիճաններում առաջացած սողջի դեփորմացիաները, որը հակասակն է ռողջի առաջին երկու փուլերում տեղի ունեցած երևույքներին։ Տրված է համեմատությունը հեղինակի կողմից անդյալում առաջարկված օպերատորային հավասարման կիրառման եղանակի օգնունյումը ստացված արդյունըների հետ։

# AN INVESTIGATION ON THIRD STAGE OF HIGH-TEMPERATURE CREEP OF CHROME-NICKEL STEEL IN CONDITIONS OF STEP CHANGES IN TEMPERATURES

### A. M. SIMONIAN

# Summary

The creep of steel X18H10T on constant strain of tension and repeated variable temperature in conditions of accelerated creep is investigated. The operating equation to describe creep at variable temperatures is considered.

### ЛИТЕРАТУРА

- Комп Р. Г. Хейт В. Б. Влияние циклических перегрузок на скорости полаучести в премя до разрушения инконеля при 925° и 980° Жаропрочные сплавы при изменяющихся температурах и напряжениях М.—А., Госопергоиздат, 1960.
- Генов А. Б. Поведение жаропрочных материалов при циклических температурах и напряжениях Сф. Жаропрочные сплавы при изменяющихся температурах и напряжениях Л. - А., Госопергоиздат, 1960.
- Смит Г Гаустов Е. Опыты по изучению ваняния переменных попряжении и температур на дантельную прочность сталей. Жаропрочные силавы при изменяющихся температурах и напряжениях. АІ—А. Госинергонздат, 1960.

- 4. Гварниери Г. Характеристики длительной прочности листовых материалов при циклических нагрузках и температурах. Жаропрочные сплавы при изменяющихся температурах и напряжениях, М.—А., Госэнергонадат, 1960.
- Соения О. В. О полручести слабо упрочняющихся материалов при нестационарных температурно-силопых режимах. Проблемы прочности, 1972. № 1.
- Герберт Д. С., Армстронт Д. И. Испытание на полоучесть сплавов инмоник при изменяющихся напряжении и температуре. Жаропрочные сплавы при изменяющихся температурах и напряжениях. М.—А., Госэнергонядат, 1960.
- 7. Brophy G. R., Furman D. E. The Cyclic Temperature Acceleration of Strain in-Heat-Resisting Alloys, Trans. ASM, 1942, v. 30.
- 8. Никитин В. И., Комиссорово И. Н., Панкротьева И. В. Экспериментальная проверка параметрического метода расчета жаростонкости материалов при переменноп температуре. Физико-химическая механика материалов, 1973, т. 9. № 5.
- 9. Кирслоу Г., Етер А. Теплопроводность твердых тел. М., «Наука», 1964.
- 10. Mathonet J., Caubo M. The temperature, a scattering parameter of the creeprupture test-results. "Mct. Repts. C.R.M. Benolux", 1973. № 34.
- Lemattre Jean, Hulley Jean Clande, Polscella Humbert, Influence du parametre vitesse de temperature sur le comportement des solides olasto-visko-plastiques. "C. r. Acad. sci.", 1968, v. 267, № 15.
- Симонян Л. М. Исследование высокотемпературной ползучести хромо-инвелевой стали в условиях ступсичатых изменений напряжения. Изв. АН АрмССР, Мехацика, 1974, XXVII, № 4.
- Симонян А. М. Исследование ползучести стали X18H10T при переменных температурах. Изместия АН АрмССР, Механика, 1972. т. XXV. № 2
- Симонян А. М. Исследование поляучести стали X18H10T при больших деформациях. Проблемы прочности, 1973. 6.
- Симонян А. М. Исследование высокотемпературной ползучести хромо-микелевой сталя при циклических изменениях напряжения. Изв. АН Арм. ССР. Механика. 1970 т. XXIX. № 3.
- 16. Работнов Ю. Н. Ползучесть элементов кинструкций. М., «Наука», 1966.
- Куров В. Д. Мельников Г. П. Соколов Л. А. Влинине структуры материала на длительную прочность. Научные труды ин-та механики МГУ, 1973. № 23.
- Davies P. W., Nelmes G. Williams K R., Wilshire B. Stress-change experiments during high temperature creep of copper, iron and zinc. "Metal. Sci. J., 1973, 7, May.
- 19. Vidal G. Sur le flunge periodique des alliayes resistants a chaud. Revue de Metallurgic, 1956, v. 53, No 7.
- 20. Коттреля А. Х. Строение металлов и сильнов. М., Металлурги дат. 1961.
- Трумин И. И., Миркин И. А. Исследование разрушения стали при полаучести. Металловедение и обработка металлов, 1958. № 11
- Одинг И. А., Иванова В. С., Бурзукский В. В., Геминов В. Н. Теория пилаучеста и даительной прочности металлов. М., Металлургиздат, 1959.

Մեխանիկա

XXX, X 2 1977

Mexagura

### К С. КАРАПЕТЯР, Р. А. КОТИКЯН, Р. М. АГАДЖАНЯН

# РАСТЯНУТОГО БЕТОНА ПОСЛЕ ЕГО РАЗГРУЗКИ

Исследования, посвященные изучению обратимости упруго-меновенных деформаций и деформации ползучести после разгрузки длительно загруженного бетома, пока весьма малочисленны. При этом существующие исследования, и основном, относится к изучению обратимости деформаций бетона после предписствующего длительного сжатия.

В настоящей работе приводятся результаты большой серии опытов по исследованию обратимости упруго-миновенных деформации и деформации ползучести длительно растянутого бетона в зависимости от возраста ( $\tau$ ) и уровия напряжения ( $\sigma(R_n)$ ) в момент длительного загружения. На длительное растяжение опытные образцы загружались как постоянными, так и ступенчать-позрастающими растягивающими напряжениями.

Испытанню подвергались большие восьмерки сечением 10×10 см, высотой 60 см, изготовленные из тяжелого бетона. Для приготовления бетона применялись: базальтовый щебень, кварцевый песок и портланд-цемент Араратского завода (г. Еренан) марки 500. Состав бетона (по массе) 1:2, 13:2.91, В Ц = 0.635.

Для постановки намеченных программой опытов из пяти замесов бетона было изготовлено 150 восьмерок и необходимое количество кубиков с ребром 10 см. Образуы бетонировались в пертикальных формах с продолжительностью вибрации 30 сек. После расформовки образуов, которая осуществляла. — сз 2 сут, все они находились в помещении лаборатории, где проводились длительные опыты, в процессе которых температура воздухи составляла  $T = 21 \pm 5$  C. а относительная влажность  $P = 70 \pm 10\%$ .

Аля исследования полоучести бетона при постоянных и ступенчатевозрастающих растягивающих напряжениях образцы были загружены на длительное растяжение в возрасте 7, 28, 91 и 286 сут. Образцы, загруженные в каждом возрасте, принадлежали одному замесу бетона. После наблюдений за длительными деформациями все образцы были разгружены и целись наблюдения за восстановлением упруго-миновенных деформаций и деформаций полоучести. Обратимые деформации полоучести образцов, загруженных в возрасте 7 сут, не измерялись.

Результаты исследования ползучести бетона по данным этих опытов рассмотрены в работе [4], где была подробно описана и методика этих опытов.

Как известно, в процессе длительного сжатия или растяжения под действием внешней нагрузки физико-механические свойства бетона изменяютя [2—3, 5—6] Обратимость упруго-меновенных деформации и деформаций полаучести тесно связана с изменением физико-механических свойств бетопа, вызванным не только его твердением, но и длительным загружением.

Влияние длительного растяжения на прочность и модуль деформации бетона изучалось в работах [2, 5—6]. Опыты показали, что длительное растяжение может привести как к увеличению, так и к снижению прочности и модуля леформаций бетона при растяжении.

В наших опытах после разгрузки образцов и измерения обратимых упруго-міновенных деформации и деформации ползучести исе образцы оыли испытаны на растижение до разрушения с целью изучения плиниия длительного растижения на прочность и модуль деформаций бетона. Образимость деформаций бетона тесно спязана с закономерностями влиниия длительного запружения на его физико-механические свойства. Учитывая ато,
мы сперва рассмотрим результаты опытов о влиянии длительного растижешия на прочность и модуль деформации бетона.

Экспериментальные данные подвергались статической обработие по методике [8]. Показатели точности в большинстве случаен не превышала 7%. Кривые планых деформаций образцов при испытанни до разрушения аппроксимировались корреляционным уравнением

$$z = \frac{az/R_{\theta}}{1 - bz/R_{\phi}}$$
(1.1)

Опытные постоянные a и b определялись путем приведения уравнения (1.1) к динейному, учитывая, что между обратными значениями e и п  $R_o$  существует динейная зависимость. При этом было установлено, что корреляция между обратными значениями e и e R, является существенно динейной.

Модули полных деформаций по касательной определялись по формуле-

$$E = \frac{K_{\rm p}}{a} \left[ 1 - b \, \frac{z}{R} \, \right]^2 \tag{1.2}$$

Прочностные показатели исследованного бетона по данным испытаний всех образцов приведены в таба. 1, откуда ясно видны и уровни напряжений образцов, загруженных как постоянными, так и ступенчато возрастающими растягивающими напряжениями. Отметим, что в возрасте 7 и 28 сут ступенчатое повышение нагрузки производилось равными ступенями черса каждые 15 сут, а в возрасте 286 сут — через 45 сут. Что касается образцов, эагруженных в возрасте 91 сут ступенчато-возрастающими нагрузками 0.2—0.4: 0.2—0.5—0.8 и 0.2—0.3—0.6—0.8, то и этих случаях каждан поеледующая ступень нагрузки прикладывалась через 30 сут после приложения предылущей до атого ступеня.

По данным табл. 1 загружение образцов в вопрасте 7 сут длительной растятивающей постоянной нагрузкой не сказалось отрицательно на причности бетона на растяжение. Наоборот, прочиссти образцов, загруженных уровнями напряжений 0.2 и 0.4, возросли соответствению на 18 и 10%. Что-касается образцов, загруженных уровнями напряжении 0.6 и 0.8, то в этих случаях длительное растяжение практически не сказалось на прочности бе-

тона. При загружении бетона в возрасте 7 сут ступенчато-растягивающими напряжениями по режимам 0.2—0.4—0.6 и 0.2—0.4—0.6—0.8 положительный эффект длительного растяжения больше, чем при загружении уровнями напряжений 0.6 и 0.8. Все это весьма закономерно и объясняется тем, что при загружении бетона в молодом возрасте (7 сут) благодаря дальнейшему интенсивному росту его прочности во времени, уровень напряжения быстро падает. При этом во всех случаях до загружения последней ступени ступенчато-возрастающей нагрузки уровень напряжения в режимных образцах будет меньше, чем в образцах, загруженных сразу максимальными уровнями напряжений.

Тоолица /

	Влия	отонакотиль	растямения на прочи	юсть бетон	4	
Bowpaer for Tona (:) n nor- mont anntenn- hurg barbymo- nyn b cym	Время пахеж- ления образ- цов под дли- техьной па-	Возраст бе- тана к момен- ту непытання до разруше- иня в сут	Уровень напря- жения то дан- ветовой конста- на йодинич на йодинич на курти	Ron nec'emi	Соотношение прочностей прочностей прочностей подраждов: negraphy. 1 .00 .1 .01 .1 .02 .1 .01 .1 .02 .1 .01 .1 .02 .1 .01 .1 .02 .1 .01 .1 .02 .1 .01 .1 .02 .1 .01 .1 .02 .1 .01 .1 .02 .1 .02 .1 .03	
7	258	255	0 0.2 0.4 0.6 0.8 0.2-0.4 0.2-0.4-0.6 0.2-0.4-0.6	12.7 15.0 14.0 12.8 12.9 13.2 14.4 15.5		
28	5%	764	0.2 0.4 0.6 0.2 - 0.4 0.2 - 0.4	15.8 14.6 12.0 13.5 14.1 12.8	1.00 0.92 0.7u 0.85 0.90 0.81	
91	523	S24	0 0.2 0.4 0.6 0.8 0.9 0.2-0.4 0.2-0.5-0.8 0.2-0.6-0.8 0.2-0.6-0.8	15.4 14.3 15.4 14.5 15.1 15.7 16.0 15.6 13.9	1.00 0.93 1.00 0.94 1.00 1.02 1.04 1.01 0.90 1.19	
286	321	822	0 0.2 0.4 0.6 0.8 0.2 0.4 0.2-0.4-0.6 0.2-0.4-0.6	15.4 15.3 14.0 15.4 15.1 14.7 15.7	1.00 0.99 0.91 1.00 0.98 0.95 1.02 1.02	

Как и следовало ожидать, при загружении бетона в более позднем вограсте положительный эффект длительного растижения уменьшается и надлюдается спад его прочности на растижение. Однако, в большинстве случаев снижение прочности незначительно, о чем свидетельствуют прочно-

ствые показатели образцов, загруженных в возрасте 29, 91 и 286 сут (табл. 1).

Рассмотрим теперь, как влинет длительное растяжение на модуль полных дерормаций бетона при растяжении. По данным таба 2 длительное растяжение как постоянным, так и ступенчато-возрастающими напряжеинями привело к существенному изменению модуля полных деформаций бетоко при растижении.

Таблица 2 Влияция далгального разгижения на модуль деформации беточи, при дастижении

B ¢u¬n	Уровень наприже- растисивающей на- грузки	Модуль полимя дефор- маций в те сл. при уровие напряжения				Отношение модулл полных де- рормации образцов, подвергнутых алитольному разтижению, к мо- тулю полных деформаций образ- цов, не подвергнут у мнельно- му растижению при уровне на- пряжения			
		()	0.23	0.50	0.75	0	0.25	0.50	0.75
7	0.2 0.4 0.6 0.8 0.2-0.4 0.2 0.4-0.6 0.2 0.4-0.6	191 236 241 251 164 313 244 247	157 218 193 201 147 240 149 277	159 150 157 131 176 159	56 109 113 118 116 122 122 137	1.01 1.50 1.25 1.31 0.83 1.64 1.28 1.29	1.00 1.59 1.41 1.47 1.07 1.75 1.45	1.00 1.73 1.63 1.71 1.42 1.91 1.72 1.85	1.00 1.95 2.02 2.11 2.07 2.18 2.13 2.45
28	0 0.2 0.4 0.6 0.2-0.4 0.2-0.4-0.6	230 280 255 224 260 230	110 123 109 185 215 214	160 172 143 150 175 199	138 138 96 119 138 185	1.00 1.22 1.15 0.97 1.13 1.00	1.00 1.17 1.05 0.97 1.13 1.13	1.00 1.03 0.56 0.54 1.09 1.24	1.00 1.00 0.70 0.86 1.00 1.31
91	0 0 2 0.4 0.6 0.8 0.9 0.2 - 0.4 0.2 - 0.5 - 0.8 0.2 - 0.6 - 0.8 0.2 - 0.3 - 0.6 - 0.8	250 250 280 214 200 201 260 200 210 254	219 239 190 162 180 210 184 194 218	209 100 202 167 128 161 166 169 179 185	150 120 168 146 98 144 127 155 165	1.00 1.12 1.12 0.86 0.80 0.80 1.04 0.80 0.80 0.84 1.02	1,0.i 0,96 1,04 0,83 0,71 0,79 0,92 0,80 0,85 0,95	1.00 0.79 0.97 0.50 0.61 0.77 0.79 0.81 0.86 0.89	1.00 0.63 0.88 0.77 0.52 0.76 0.67 0.82 0.87
286	0.2 0.4 0.6 0.8 0.2-0.4 0.2 0.4-0.6 0.2-0.4-0.6	250 280 320 250 222 2 0 260 250	239 230 270 240 210 231 214 229	209 180 235 239 200 172 209	190 149 192 221 190 142 136 190	1.12 1.28 1.00 0.89 1.16 1.01	1,00 1,00 1,18 1,05 6,92 1,02 0,93 1,00	1,00 0,86 1,10 1,10 0,96 0,89 0,82 1,00	1.00 0.78 1.01 1.16 1.00 0.75 0.72 1.00

Как видно на таба. 2, при загружении образцов в возрасте 7 сут постоянными растягивающими нагрузками модуль деформаций бетона больше всего нозрот в случае тех образцов, для которых уровень напряжения в момент длительного растяжения составлял 0.2. При этом, положительный эффект длительного растяжения тем больше, чем выше уровень 5 Известия АН Армянской ССР, Механика, № 2

кратковременной растягивающей нагрузки при испытании до разрушения. Рост модуля деформации бетона наблюдается и по данным испытаний образцов, загруженных уровнями напряжений 0.4, 0.6 и 0.8, однако, положительный эффект дантельного растяжения с понышением уровня напряжения уменьшается. Согласно данным габл. 2, плияние длигельного растяжения существенно зависит также и от режима загружения образцов. При загружении образцов ступенчато-возрастающими растягивающими нагрузнами прирост медуля деформаций гораздо больше, чем при загружении постоянными растягивающими нагрузками.

Рассматривая модули деформаций образцов, загруженных в поэрасте 28 сут уровнем напряжения 0.2, нетрудно заметить, что в этом случае положительный эффект длительного растяжения намного меньше, чем в случае загружения образцов в возрасте 7 сут тем же уровнем напряжения. Загружение же образцов сразу уровнями напряжений 0.4 и 0.6 в возрасте 28 сут приводит к некоторому снижению модуля деформаций бетона, а при ступенчатом повышении растягивающей нагрузки по режимам 0.2—0.4 и 0.2—0.4—0.6 модуль деформаций бетона возрастает.

Рассмотрим теперь, как влияет длительное растяжение на модуль деформации бетона при  $\tau = 91~cyr$  (табл. 2). В атом случае независимо от уровня напряжения и режима загружения всегда наблюдается спад модуля деформаций. При  $\tau = 91~cyr$  наблюдается некоторое различие во влиянии разных режимов загружения ступенчаго-возрастающими растягивающими напряжениями. Так, например, при режиме 0.2-0.3-0.6-0.8 отрицательное влияние длительного загружения на модуль деформации несколько меньше, чем при загружении по режимам 0.2-0.5-0.8 и 0.2-0.6-0.8. Таким образом, и в этом случае этрицательное влияние длительного растяжения при ступенчатом повышении напряжения несколько меньше, чем при загружении бетона сразу постоянной растягивающей нагрузкой, величина которой равна максимальной нагрузке при ступенчатом нагружении.

Рассматривая, наконец, данные модулей деформаций образцов, загруженных на длительное растяжение в возрасте 286 сут, нетрудно заметить, что в этом случае отрицательное влияние длятельного растяжения на модуль деформации бетона оказалось не больше, а меньше, чем в случае образцов, загруженных в возрасте 91 сут. Следует заметить, что в некоторых случаях благодаря длительному растяжению модуль деформаций бетона возрос.

Поскольку длительное растяжение оказывает влияние на прочность и деформативность бетона, то это не может не отразиться и на закономерности обратимости как упруго-меновенных деформаций, так и деформаций ползучести. Приведенный анализ о влиянии длительного растяжения на прочность и деформативность бетона позволит нам познать закономерности обратимости упруго-меновенных деформаций и деформаций ползучести.

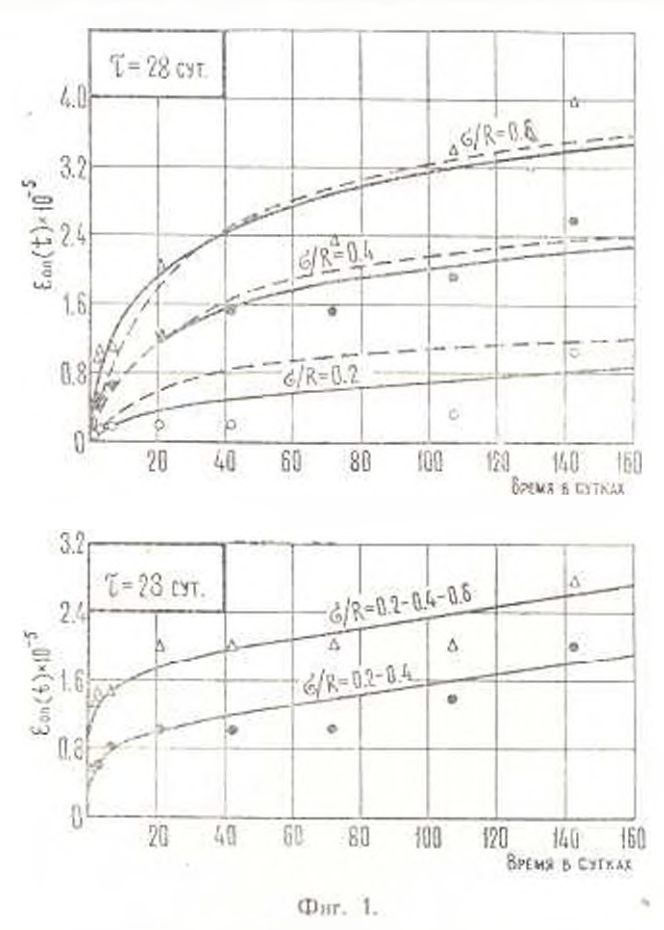
Для апализа опытных данных обратимости деформаций ползучести бетона после его разгрузки из-под длятельной растягивающей нагрузки соответствующие кривые представлены на фиг. 1—3. Одновременно в табл. 3 приводятся и другие данные, которые помогут этому анализу. Осметим, что приведенные в табл. 3 значения деформаций ползучести (-n) соответственно l=250 сут. а обратимые деформации ползучести l=120 сут.

Тиблици З Обратимые деформации и деформации ползучести бетона после его разгрузки

cym		деформации и деформации ползучести остова посло его разгрузки  Значения показателей, когда в  момент длительного загружения  постоянными нагрузками уро- вень напряжения составлял						і, когда уролені ж образцах с мо-	
12 14		0.2	0.4	0.6	0.8	0.9	0.2-0.4	0.2-0.4-0.6	0.2-0.4-0.6-0.8
7	E <sub>V</sub> . 105	0.64	1.28		2.55	_	1.47	2.83	3.69
	$\varepsilon_{n} = \varepsilon_{n}/\varepsilon_{n}$	8.82	17.70 13.56	28.40	36,02 14,10	-		-	3.47
	ε <sub>y</sub> -10 <sup>5</sup> ε <sub>y</sub> -10 <sup>5</sup>	1.34	2.69	4.03	5.37		2.54	4.31	_
	ε <sub>n</sub> ·10 <sup>5</sup>	9.36 0.74	19,45		50.55	_	1.58	2.40	-
28	71 -1 4	6.98	7.23	7.97 0.71	9,41	_	0.62	0.56	_
	ε <sub>γα</sub> /ε <sub>γ</sub> ε <sub>πο</sub> /ε <sub>γ</sub>	1.19	0.10	1.12	_		-	0.50	_
	c 102	1,24	2.48	3.72	4.95	5.57	_	_	_
	eye 105	1.04	2 44 5.56	4,09	5.80	19.65	2.61	_	_
91	z <sub>m</sub> -105	n 64 2.14	1.36	2.52	3.94	4.80	1.20	_	=
	₹1 = 2 nor ±yo	0.62	0.56	0.62	0.68	-	0.46	_	_
	*gor * n	0.24	0.24	0.27	0.26	0_24	_	_	
	sy · 105	1.18	2.36	3.54	4.78		2.61	- 3.47	4.86
286	ε <sub>no</sub> .103	1.29	2.82 1.88	5,24 2,92	9.60	-	1.66	2.66	3,76
	71 2 n/2 y	1.09	1.20	1.48	2.03 0.71		0.64	0.77	0.77
	Eyo/Ey	0.92	0.80	1.03	1.14	-	_ -	_	_

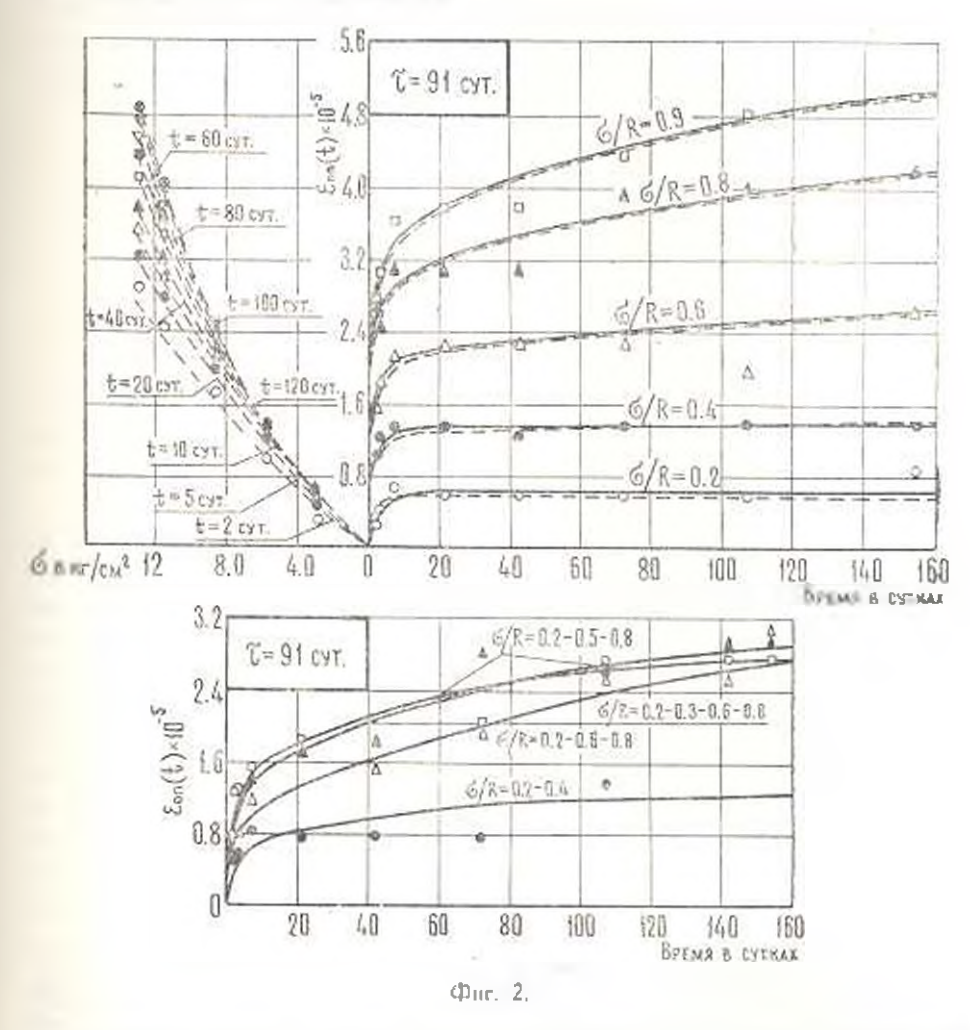
По данным образцов, загруженных на дантельное растяжение в возрасте 28 сут, при разгрузке обратимые упруго-мгновенные деформации бетона в большичестве случаев получились больше, чем соответствующие упруго-мгновенные деформации в момент загружения на дантельное растя-

жение (табл. 3). При этом иструдно заметить, что в этом случае закономерная снязь между обратимыми упруго-мгновенными деформациями и ранее действующими напряжениями не наблюдается. По данным же образцов, загруженных в возрасте 91 и 286 сут, степень обратимости упругомгновенных деформаций получилась тем больше, чем выше был уровени растягивающего напряжения в момент длительного загружения. При этом отношение обратимых упруго-мгновенных деформаций к упруго-мгновенным деформациям в зависимости от уровня предшествующего растягивающего напряжения может быть меньше, равно и больше единицы.



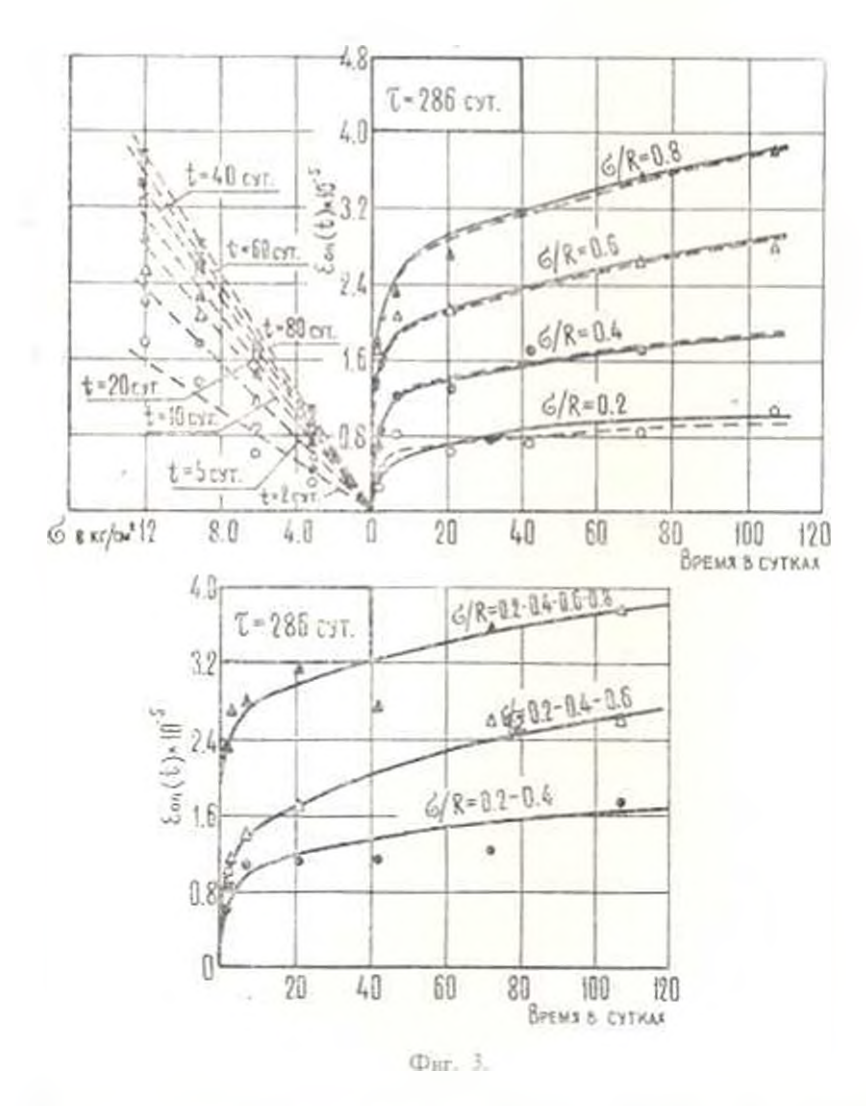
Рассматривая верхний график фиг. 1, нетрудно заметить, что обратимость деформаций ползучести образцов, загруженных постоянными напряженнями в позрасте 28 сут, тем больше, чем выше уровень напряжения в момент длительного загружения. Сказанное в полной мере относится и к тем образцам, которые были загружены в возрасте 91 и 286 сут. Из сравнения же соответствующих кривых обратимых деформации ползучести, представленных на двух графиках фиг. 1—3, можно заключить, что обратимость деформации ползучести образцов, загруженных постоянными растягивающими нагрузками. Обльше образцов, которые загружались ступенчато-возрастающими растягивающими нагрузками. Это явление

связано с тем, что, как уже было показано, длительное растяжение в заянсимости от возраста и уровня напряжения в момент длительного загружения может привести как к повышению прочности и модуля деформации ботона, так и к их спижению. При прочих равных условиях отрицательное вливние длительного растяжения в случае загружения постоянными нагрузками больше, а положительный эффект меньше, чем при загружения ступенчато-возрастающими нагрузками. Это обстоятельство и обуславливает то, что во всех случаях благодаря более высокому модулю деформация обратимые дефермации после разгрузки образцов, загружениях ступенчатой нагрузкой, получаются меньше.



По данным табл. 3 при  $\tau=28$  сут отношение обратимых деформации ползучести к деформациям ползучести практически не зависит от уровня предшествующего растигивающего напряжения. Сказанное в полной мере сохраняется и при  $\tau=91$  сут. Однако, при  $\tau=286$  сут  $\epsilon_{no}/\epsilon_n$  уже существенно зависит от уровни напряжения и чем выше последний, тем относительно меньше обратимые деформации ползучести. Из сравнения отношения

 $z_{\rm Ho}/z_{\rm H}$  образцов, загруженных в различном возрасте, можно также заключить, что чем старее бетон к моменту длительного загружения, тем относительно больше обратимые деформации ползучести бетона после его разгрузки.



Как известно, характеристикой ползучести бетона принято считать отношение деформации ползучести к спответствующим упруго-меновенным деформациям в момент длительного загружения (7, = 1-1). В таба 3 нами введено нолое понятие характеристики обратимых деформации ползучести, которая представляет собой отношение обратимых деформации ползучести к обратимым упруго-меновенным деформациям (2, = 10 - 10). По данных таба 3 следует, что характеристика обратимых деформации ползучести (-1) меньше, чем характеристика ползучести (Ф1), причем их чуястовтельная разница при т 28 сут с учеличением т уменьшается. Так, например, при уровне напряжения 0.4 и  $\tau = 28$  си $\tau = 9$ , а при том же уровне напряжения, по при  $\tau = 286$  су $\tau = 1.2$ .

По данным табл. 3, независимо от возраста к моменту длительного загружения (т), характеристика ползучести (q<sub>1</sub>) бетона при растяжении с увеличением уровия напряжения возрастает. Что касается характеристики обратимых деформации ползучести, го сказанное сохраняется только при т = 28 сут, а при т = 91 и 286 сут уже наблюдается обратная картина.

Для описания кривых обратимых деформаций ползучести бетона после разгрузки из-под различных постоянных растягивающих напряжений мы воспользовались зависимостями теории упруго-ползучего тела Н. Х. Арутювяна [1]. В результате описания семейства экспериментальных кризых обратимых деформаций ползучести для т=28, 91 и 286 сут получены следующие зависимости:

$$10^{5} \cdot \varepsilon_{no}(t, 28) = 0.42 \left[1 - 0.5 \left(e^{-0.56t} + e^{-0.0978t}\right)\right] z$$

$$10^{5} \cdot \varepsilon_{no}(t, 91) = 0.241 \left(1 - e^{-0.001846}\right) z + \left[\left(0.275 - \frac{4.14}{t}\right)z + \left(0.0235 + 0.0001846\right)z^{2}\right]$$

$$(1.4)$$

$$10^{5-2} = (t, 286) = 0.40 \left[1 - 0.5 \left(e^{-0.053t} + e^{-0.078t}\right)\right]$$
 (1.5)

Кривые обратимых деформации ползучести, построенные по формулам (1.3), (1.4) и (1.5), на фиг. 1—3 представлены пунктиром и, как видим, их расхождение с экспериментальными кривыми в большинстве случаев весьма незначительно.

Из приведенных формул следует, что при  $\tau = 28$  и 286 сут зависимость между обратимыми деформациями ползучести и предшестпующими растягивающими папряжениями имеет линеиным характер, а при  $\tau = 91$  сут — нелинейный характер. Для  $\tau = 91$  и 286 сут такие зависимости при различных і на леных частях графиков фиг. 2 и 3 представлены пунктиром и, казвидно, отклонение экспериментальных точек от кривых, построенных по этим зависимостям, незначительно.

Механиям обратимости упруго-меновенных деформаций и деформации ползучести еще раскрыт недостаточно. По существующим представлениям в м мент длительного загружения бетона сжимающей нагрузкой заполнитель бетона деформируется упруго и п мере увеличения деформаций ползучести цементного камия происходит перераспределение напряжений с цементного камия на заполнитель, в результате чего упругие деформации заполнитель стремится восстановить свою первоначальную форму, однако, этому препитствует затвердевний во времени цементный камень и и этому последний в местах контакта с заполнителем испытывает растягивающие напряжения, которые и приводят к носстановлению деформаций [7]. При этом, благодаря растягивающим напряжениям, в цементном камис бразуются и развиваются микротрещины, которые облегчают обратимые деформации упруго-деформированного заполнителя и бетона в целом.

По мнению анторов, немаловажную роль в обратимости деформаций бетона играют и усадочные деформации. Дело в том, что благодаря усадже, еще до момента загружения бетона в цементном камие в местах контакта с заполнителем образуются усадочные микротрещины, количество и раскрытие которых тем больше, чем больше возраст бетона к моменту загружения. При разгрузке длительно сжатого бетона наличие микротрещин облегчает образимость деформации упруго-деформированного заполнителя и бетона и целом. Причем под воздействием обратимых деформаций заполнителя раскрытие этих микротрещии может нозрасти и даже могут - бразоваться новые микротрещины.

В случае же загружения бетона длительной растягнаающей нагрузсов распрытие усадочных микротрещии увеличивается и образуются ночые микротрещины, которые после разгрузки смыкаются и тем самым облегчают обратимость деформаций упруго-деформиронанного заполнителя и бетона в целом.

Как уже было показано, чем старее бетон к моменту длительного рестяжения, тем отпосительно больше восстанавливаются деформации ползучети после его разгрузки. Объясияется ато тем, что чем старее бетон, тем больше как количество, так и раскрытие микротрещин. Следует также осметить, что обратимость доформации облегчается и в том случае, кота доразным причинам модуль деформаций бетона во времени спижается. В частности, спад модуля деформации может быть вызван неблагоприятными температурно-влажностными условиями, а также длительным растяжением бетона.

## Осношные выводы

- 1. Длительное загружение как постоянными, так и ступенчато-возрастающими растягивающими напряженнями в зависимости от уровия напряжения и возраста к моменту приложения нагрузки может привести как к нолышению, так и к снижению прочности и модуля деформации бетона при растяжении.
- 2. При разгрузке длительно растинутого бетона упруго-мгновенные деформации относительно больше восстанавливаются, чем деформации ползучести. Обратимость деформаций длительно растинутого бетона зависит от возраста бетона к моменту длительного загружения, уровня наприжения, режима загружения и др.
- 3. С увеличением возраста бетона процент обратимости как уп угоминовенных деформаций, так и деформаций ползучести увеличивается
- 4. Влияние уровня растятивающего напряжения в момент загружентя на обратимость деформаций ползучести тесно связано с возрастом бетопл. При т -91 сут степень обратимости деформаций ползучести не зависит от уровня напряжения, а при более старом возрасте чем больше уровень напряжения, тем меньше процент обратимости деформаций ползучести.
- 5. Обратимость деформаций ползучести зависит от режима загружения бетона на длительное растяжение. После предшествующего длительного растяжения ступенчато-позрастающей нагрузкой образимые деформа-

ции ползучести меньше, чем после предшествующего длительного растижения постоянной нагрузкой, величина которой равна конечному значению ступенчатой нагрузки.

- 6. Характеристика обратимых деформаций ползучести до существенно меньше, чем характеристика ползучести бетона С унеличением раста бетона к моменту длительного растяжения развица 9, и 7, уменьшается.
- 7. Влияние уровня предшествующего растягивающего напряжения на характеристику обратимых деформаций ползучести бетона существенно зависит от возраста к моменту длительного растяжения. При τ = 28 суг с увеличением уровня напряжения ф увеличивается, а при т ≥91 сут уменищается.

Институт механики АН Арминскей ССР

Hocrymiaa 8 VII 1976

ել և կարագոցան, թ. Ա. 405/46ևն, թ. Մ. ԱՂԱՋԱՆՅԱՆ

# նբանբացեց գովան բեցներ Հահարհբջելի դեռոբքացիաների Հեցաջնցները բենենածափորքին Հեցն

### Udhnhnid

Աշխատանքը նվիրված է երկարատև ձվված Բեասնի տոտեղա-ակնիարքային և սողքի վերականդնվան ղեֆորժացիաների էքսպերիժենտալ հնտադոտքանը կախված բետոնի շասակից և բեռնավորման մոմենտի Հարաբերական լարումներից։ Հետազոտությունները և են տվել, որ երկարատն ձղված բետոնի առաձղա-ակնթյայիային դոֆորժացիաները հումեմատարար ավելի շատ են վերականդնվում, բան սողքի դեֆորժացիաները։

Հասակի մեծացման *նու առաձգա-ակ*նքարքային և սողջի վերականդնման դեֆորմացիաները փորրանում են։

Սողջի ժերականգնման դեփորմացիաները կախված են բնառնի երկարատե թեռով բեռնավորման տեժիմից։ Աստիճանային ամող ձղող բեռով թեռնավորվելիս, սողջի վերականգնման դեփորմացիաները ավելի փոջր են, թան քաստատուն ձղող բեռով բեռնավորվելու դեպրում։ Վերականդնման սողթի դեֆորմացիաների բնութադրիը - Հ.-Ե Լապես փոջր է սողջի դեֆորմացիաների բնութադրից՝ - Հ. ից։ Հարաբերական լարումների այդսեցությունը սողջի վերականգնվող դեֆորմացիաների թնութադրի վրա էապես կախված չ թեռնավորման մոմենտում բետոնի հասակից։ - 28 օրի դեպքում հարաբերական լարումների մեծացման հետ Է՞լ-Ն փոջրանում է, իսկ երթ - Ս օրից՝ մեծանում է։

# INVESTIGATION OF REVERSIBLE STRAINS IN PROTRACTEDLY TENSILE-STRESSED CONCRETE SUBSEQUENT TO ITS UNLOADING

K. S. KARAPETIAN, R. A. KOTIKIAN, R. M. AGADJANJAN

# Summary

The paper is devoted to the investigation of reversible elastoin-stantaneous strains ( $\epsilon_{no}$ ) and creep strains ( $\epsilon_{no}$ ) in protractedly tensile-stressed concrete, depending on its age ( $\tau$ ) and stress level ( $\tau R_{ij}$ ) at the instant of protracted loading.

The results obtained show that after concrete unloading the elastoinstantaneous strains are recovered to a relatively greater degree than those of creep. The greater the age of concrete by the instant of protracted loading, the higher reversibility percentage of both s<sub>vn</sub> and s<sub>m</sub>.

The characteristics of reversible creep strains, p, are substantially below those of concrete creep. As t increases, the difference between and c decreases.

The influence of the preceding tensile stress level upon a depends significantly on . At r = 28 days, the higher the stress, the larger  $\varphi$ , and at = 91 days it decreases.

### JUHUL PATYPA

- 1. Трислопия II. А. Некоторые вопросы теории ползучести. М.—А., Гостехиядат, 1952.
- Кыролегык К. С. Вливизе длятельного сжатия на прочность и деформативность пла. на. Или АН АрмССР, сер фил.-мат. наук. 1964, т. 12. № 6.
- Карапетин К. С. О въздини дъительного загружения на прочность и деформа нино ја остона Дока. №1 АрмССР, 1970, т. 51, № 2.
- 4. Колимин Р. А. Полаучесть бетона при постоянных и ступенчато-возраствоших растягорающих напряжениях. Изо. № 1. АрмССР, Механика, 1975, т. 26. № 1.
- Карипетяя К. € Котикяя Р. А. Влияние длительного растяжения на прочинсти и деформациим в бетона. Известия АН АрмССР, Механика, 1971, т. 21, № 6.
- п. Каролетия К. С., Котикии Р. А. Ванине даительного растижения на прочность и деформативность бетона в зависимости от масштабного фактора. Со. научных грудов. Проблемы ползучести и усядки бетона., ЦПИНС Минтрансстрои СССР, М., 1974, вып., 77
- 7 Карилетвы С. Котикви Р. А., Шиладжин Р. М. Исследование обратимости деформаций после разгру жи длительно обжатого бетона. «Проблемы ползучести и угки бетона». ГППИМО Госстроя СССР, Ист механиям АН АрмССР МИСИ. Г. ван. 1974.
  - Мигропользові І К Темпика статиствисского візмисменяя. М., 1961.